

# Elementarna Geometria Różniczkowa

Opracowanie: Marek Kaluba<sup>1</sup>

2013

## Powierzchnie w $\mathbb{R}^3$

Podstawowe definicje

Przykłady powierzchni

Parametryzacja Monge'a

Powierzchnie obrotowe

Powierzchnie prostokątne

Poziome funkcje

Wektory styczne i  
normalne. I forma  
podstawowa

Pochodne  
kierunkowe.  
Izometria.

Krzywizna Gaussa I

Krzywizna Gaussa II

Theorema Egregium i  
Twierdzenie  
klasyfikacyjne

# Wykład 5

## Powierzchnie w $\mathbb{R}^3$

## Powierzchnie w $\mathbb{R}^3$

Podstawowe definicje

Przykłady powierzchni

Wektory styczne i normalne. I forma podstawowa

Pochodne kierunkowe. Izometria.

Krzywizna Gaussa I

Krzywizna Gaussa II

Theorema Egregium i Twierdzenie klasyfikacyjne

### Powierzchnie w $\mathbb{R}^3$

Podstawowe definicje

Przykłady powierzchni

Parametryzacja Monge'a

Powierzchnie obrotowe

Powierzchnie prostokątne

Poziome funkcje

Wektory styczne i  
normalne. I forma  
podstawowa

Pochodne  
kierunkowe.  
Izometria.

Krzywizna Gaussa I

Krzywizna Gaussa II

Theorema Egregium i  
Twierdzenie  
klasyfikacyjne

Powierzchnie w  $\mathbb{R}^3$ 

Podstawowe definicje

Przykłady powierzchni

Parametryzacja Monge'a

Powierzchnie obrotowe

Powierzchnie prostokątne

Poziome funkcje

Wektory styczne i  
normalne. I forma  
podstawowaPochodne  
kierunkowe.  
Izometria.

Krzywizna Gaussa I

Krzywizna Gaussa II

Theorema Egregium i  
Twierdzenie  
klasyfikacyjne

## Definicja

Niech  $U \subset \mathbb{R}^2$  będzie zbiorem otwartym. Odwzorowanie (funkcję wektorową)

$$x: U \rightarrow \mathbb{R}^3$$

nazywamy **gładkim**, jeśli wszystkie pochodne cząstkowe (dowolnego rzędu)  $x$  istnieją oraz są odwzorowaniami ciągłymi.

## Definicja

Niech  $U \subset \mathbb{R}^2$  będzie zbiorem otwartym. Odwzorowanie gładkie

$$x: U \rightarrow \mathbb{R}^3$$

nazywamy **lokalnym układem współrzędnych** jeśli jest injekcją, oraz

$$\frac{\partial x}{\partial s}(s, t) \times \frac{\partial x}{\partial t}(s, t) \neq 0$$

dla wszystkich  $(s, t) \in U$ .

Powierzchnie w  $\mathbb{R}^3$ 

Podstawowe definicje

Przykłady powierzchni

Parametryzacja Monge'a

Powierzchnie obrotowe

Powierzchnie prostokątne

Poziomice funkcji

Wektory styczne i  
normalne. I forma  
podstawowaPochodne  
kierunkowe.  
Izometria.

Krzywizna Gaussa I

Krzywizna Gaussa II

Theorema Egregium i  
Twierdzenie  
klasyfikacyjne

## Definicja

Niech  $U \subset \mathbb{R}^2$  będzie zbiorem otwartym. Odwzorowanie (funkcję wektorową)

$$x: U \rightarrow \mathbb{R}^3$$

nazywamy **gładkim**, jeśli wszystkie pochodne cząstkowe (dowolnego rzędu)  $x$  istnieją oraz są odwzorowaniami ciągłymi.

## Definicja

Niech  $U \subset \mathbb{R}^2$  będzie zbiorem otwartym. Odwzorowanie gładkie

$$x: U \rightarrow \mathbb{R}^3$$

nazywamy **lokalnym układem współrzędnych** jeśli jest injekcją, oraz

$$\frac{\partial x}{\partial s}(s, t) \times \frac{\partial x}{\partial t}(s, t) \neq 0$$

dla wszystkich  $(s, t) \in U$ .

## Definicja

- ▶ Podzbiór  $M \subset \mathbb{R}^3$  nazywamy **powierzchnią gładką**, jeśli wokół każdego punktu  $p$  istnieje lokalny układ współrzędnych  $x: U \rightarrow V \subset \mathbb{R}^3$ .
- ▶ Powierzchnię gładką  $M$  nazywamy łukowo spójną, jeśli dla dowolnych dwóch punktów  $x, y \in M$  istnieje krzywa  $\alpha: [0, 1] \rightarrow M$  taka, że  $\alpha(0) = x$  i  $\alpha(1) = y$ .

Potocznie mówimy, że przestrzeń jest powierzchnią gładką jeśli „lokalnie” (tj. w małym otoczeniu każdego punktu) wygląda jak fragment płaszczyzny.

Powierzchnie w  $\mathbb{R}^3$

Podstawowe definicje

Przykłady powierzchni

Parametryzacja Monge'a

Powierzchnie obrotowe

Powierzchnie prostokątne

Poziome funkcje

Wektory styczne i  
normalne. I forma  
podstawowa

Pochodne  
kierunkowe.  
Izometria.

Krzywizna Gaussa I

Krzywizna Gaussa II

Theorema Egregium i  
Twierdzenie  
klasyfikacyjne

## Definicja

- ▶ Podzbiór  $M \subset \mathbb{R}^3$  nazywamy **powierzchnią gładką**, jeśli wokół każdego punktu  $p$  istnieje lokalny układ współrzędnych  $x: U \rightarrow V \subset \mathbb{R}^3$ .
- ▶ Powierzchnię gładką  $M$  nazywamy łukowo spójną, jeśli dla dowolnych dwóch punktów  $x, y \in M$  istnieje krzywa  $\alpha: [0, 1] \rightarrow M$  taka, że  $\alpha(0) = x$  i  $\alpha(1) = y$ .

Potocznie mówimy, że przestrzeń jest powierzchnią gładką jeśli „lokalnie” (tj. w małym otoczeniu każdego punktu) wygląda jak fragment płaszczyzny.

Powierzchnie w  $\mathbb{R}^3$

Podstawowe definicje

Przykłady powierzchni

Parametryzacja Monge'a

Powierzchnie obrotowe

Powierzchnie prostokątne

Poziome funkcje

Wektory styczne i  
normalne. I forma  
podstawowa

Pochodne  
kierunkowe.  
Izometria.

Krzywizna Gaussa I

Krzywizna Gaussa II

Theorema Egregium i  
Twierdzenie  
klasyfikacyjne

## Definicja

- ▶ Podzbiór  $M \subset \mathbb{R}^3$  nazywamy **powierzchnią gładką**, jeśli wokół każdego punktu  $p$  istnieje lokalny układ współrzędnych  $x: U \rightarrow V \subset \mathbb{R}^3$ .
- ▶ Powierzchnię gładką  $M$  nazywamy łukowo spójną, jeśli dla dowolnych dwóch punktów  $x, y \in M$  istnieje krzywa  $\alpha: [0, 1] \rightarrow M$  taka, że  $\alpha(0) = x$  i  $\alpha(1) = y$ .

Potocznie mówimy, że przestrzeń jest powierzchnią gładką jeśli „lokalnie” (tj. w małym otoczeniu każdego punktu) wygląda jak fragment płaszczyzny.

Powierzchnie w  $\mathbb{R}^3$

Podstawowe definicje

Przykłady powierzchni

Parametryzacja Monge'a

Powierzchnie obrotowe

Powierzchnie prostokątne

Poziome funkcje

Wektory styczne i  
normalne. I forma  
podstawowa

Pochodne  
kierunkowe.  
Izometria.

Krzywizna Gaussa I

Krzywizna Gaussa II

Theorema Egregium i  
Twierdzenie  
klasyfikacyjne

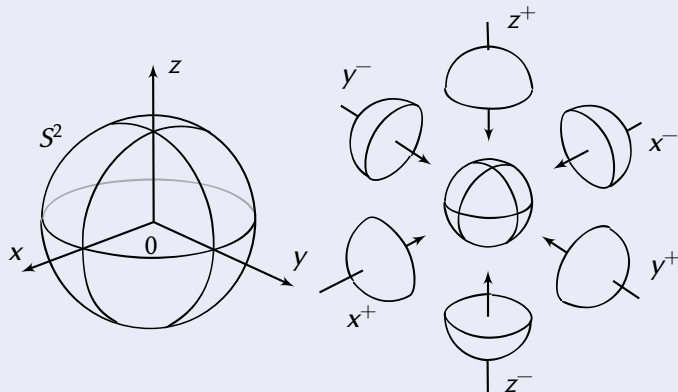


## Przykład

Jednostkowa sfera, tj. powierzchnia o równaniu  $x^2 + y^2 + z^2 = 1$  jest przykładem powierzchni regularnej.

Lokalnym układem współrzędnych jest np.

$x^\pm(u, v) = (\pm\sqrt{1 - u^2 - v^2}, u, v)$  jak na następującym rysunku



## Powierzchnie w $\mathbb{R}^3$

Podstawowe definicje

Przykłady powierzchni

Parametryzacja Monge'a

Powierzchnie obrotowe

Powierzchnie prostokątne

Poziomice funkcji

Wektory styczne i  
normalne. I forma  
podstawowa

Pochodne  
kierunkowe.  
Izometria.

Krzywizna Gaussa I

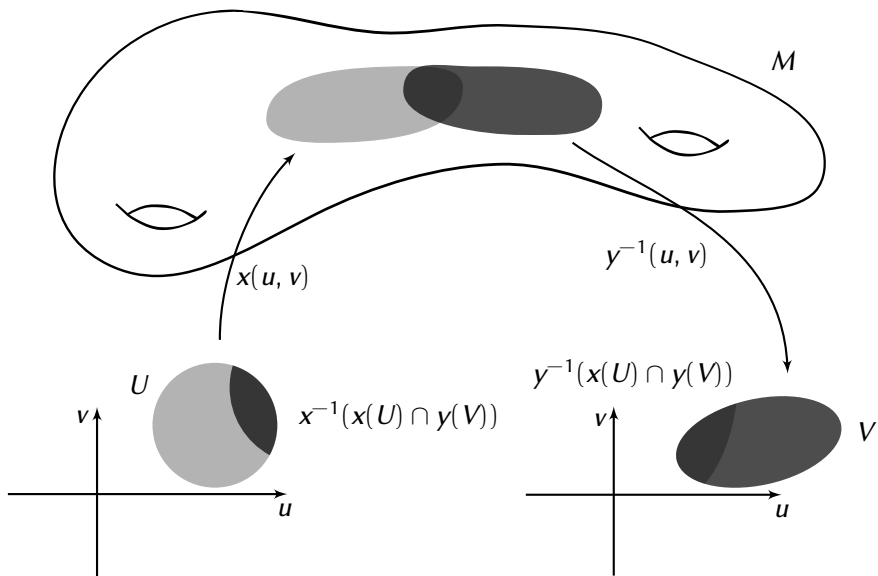
Krzywizna Gaussa II

Theorema Egregium i  
Twierdzenie  
klasyfikacyjne

## Uwaga

***UWAGA! Zakładamy, że wszystkie powierzchnie które  
będzie my rozważać dalej są gładkie i łukowo spójne.***









## Dowód:

- 1)
  - ▶  $x$  – iniekcja, więc jest bijekcją na obraz.
  - ▶ rząd pochodnej  $x$  na  $U$  jest równy 2 (z def. lokalnego układu współrzędnych)
  - ▶ z twierdzenia o funkcji uwikłanej – na  $x(U)$  istnieje  $x^{-1}$  – gładkie odwzorowanie odwrotne,
- 2) wystarczy sprawdzić dla lokalnego układu współrzędnych dla  $y = x \circ f$

## Dowód:

- 1)
  - ▶  $x$  – iniekcja, więc jest bijekcją na obraz.
  - ▶ rząd pochodnej  $x$  na  $U$  jest równy 2 (z def. lokalnego układu współrzędnych)
  - ▶ z twierdzenia o funkcji uwikłanej – na  $x(U)$  istnieje  $x^{-1}$  – gładkie odwzorowanie odwrotne,
- 2) wystarczy sprawdzić dla lokalnego układu współrzędnych dla  $y = x \circ f$



## Dowód:

- 1)
  - ▶  $x$  – iniekcja, więc jest bijekcją na obraz.
  - ▶ rząd pochodnej  $x$  na  $U$  jest równy 2 (z def. lokalnego układu współrzędnych)
  - ▶ z twierdzenia o funkcji uwikłanej – na  $x(U)$  istnieje  $x^{-1}$  – gładkie odwzorowanie odwrotne,
- 2) wystarczy sprawdzić dla lokalnego układu współrzędnych dla  $y = x \circ f$

## Dowód:

- 1)
  - ▶  $x$  – iniekcja, więc jest bijekcją na obraz.
  - ▶ rząd pochodnej  $x$  na  $U$  jest równy 2 (z def. lokalnego układu współrzędnych)
  - ▶ z twierdzenia o funkcji uwikłanej – na  $x(U)$  istnieje  $x^{-1}$  – gładkie odwzorowanie odwrotne,
- 2) wystarczy sprawdzić dla lokalnego układu współrzędnych dla  $y = x \circ f$

## Dowód:

- 1)
  - ▶  $x$  – iniekcja, więc jest bijekcją na obraz.
  - ▶ rząd pochodnej  $x$  na  $U$  jest równy 2 (z def. lokalnego układu współrzędnych)
  - ▶ z twierdzenia o funkcji uwikłanej – na  $x(U)$  istnieje  $x^{-1}$  – gładkie odwzorowanie odwrotne,
- 2) wystarczy sprawdzić dla lokalnego układu współrzędnych dla  $y = x \circ f$

# Mamy

$$\begin{aligned}\frac{\partial(\mathbf{x} \circ f)}{\partial s} \times \frac{\partial(\mathbf{x} \circ f)}{\partial t} &= \\&= \left( \frac{\partial \mathbf{x}}{\partial f_1} \frac{\partial f_1}{\partial s} + \frac{\partial \mathbf{x}}{\partial f_2} \frac{\partial f_2}{\partial s} \right) \times \left( \frac{\partial \mathbf{x}}{\partial f_1} \frac{\partial f_1}{\partial t} + \frac{\partial \mathbf{x}}{\partial f_2} \frac{\partial f_2}{\partial t} \right) = \\&= \frac{\partial f_1}{\partial s} \frac{\partial f_2}{\partial t} \left( \frac{\partial \mathbf{x}}{\partial f_1} \times \frac{\partial \mathbf{x}}{\partial f_2} \right) + \frac{\partial f_1}{\partial t} \frac{\partial f_2}{\partial s} \left( \frac{\partial \mathbf{x}}{\partial f_2} \times \frac{\partial \mathbf{x}}{\partial f_1} \right) = \\&= \left( \frac{\partial \mathbf{x}}{\partial f_1} \times \frac{\partial \mathbf{x}}{\partial f_2} \right) \left( \frac{\partial f_1}{\partial s} \frac{\partial f_2}{\partial t} - \frac{\partial f_1}{\partial t} \frac{\partial f_2}{\partial s} \right)\end{aligned}$$

►  $\left( \frac{\partial \mathbf{x}}{\partial f_1} \times \frac{\partial \mathbf{x}}{\partial f_2} \right) \neq 0$  (lokalny układ współrzędnych)

►  $\left( \frac{\partial f_1}{\partial s} \frac{\partial f_2}{\partial t} - \frac{\partial f_1}{\partial t} \frac{\partial f_2}{\partial s} \right) \neq 0$  (Jakobian funkcji  $f$ ).

Wreszcie teza  $(\Phi_{x,y} = f)$  wynika z definicji funkcji przejścia.



$$\begin{aligned} \frac{\partial(\mathbf{x} \circ f)}{\partial s} \times \frac{\partial(\mathbf{x} \circ f)}{\partial t} &= \\ &= \left( \frac{\partial \mathbf{x}}{\partial f_1} \frac{\partial f_1}{\partial s} + \frac{\partial \mathbf{x}}{\partial f_2} \frac{\partial f_2}{\partial s} \right) \times \left( \frac{\partial \mathbf{x}}{\partial f_1} \frac{\partial f_1}{\partial t} + \frac{\partial \mathbf{x}}{\partial f_2} \frac{\partial f_2}{\partial t} \right) = \\ &= \frac{\partial f_1}{\partial s} \frac{\partial f_2}{\partial t} \left( \frac{\partial \mathbf{x}}{\partial f_1} \times \frac{\partial \mathbf{x}}{\partial f_2} \right) + \frac{\partial f_1}{\partial t} \frac{\partial f_2}{\partial s} \left( \frac{\partial \mathbf{x}}{\partial f_2} \times \frac{\partial \mathbf{x}}{\partial f_1} \right) = \\ &= \left( \frac{\partial \mathbf{x}}{\partial f_1} \times \frac{\partial \mathbf{x}}{\partial f_2} \right) \left( \frac{\partial f_1}{\partial s} \frac{\partial f_2}{\partial t} - \frac{\partial f_1}{\partial t} \frac{\partial f_2}{\partial s} \right) \end{aligned}$$

►  $\left( \frac{\partial \mathbf{x}}{\partial f_1} \times \frac{\partial \mathbf{x}}{\partial f_2} \right) \neq 0$  (lokalny układ współrzędnych)

►  $\left( \frac{\partial f_1}{\partial s} \frac{\partial f_2}{\partial t} - \frac{\partial f_1}{\partial t} \frac{\partial f_2}{\partial s} \right) \neq 0$  (Jakobian funkcji  $f$ ).

Wreszcie teza  $(\Phi_{x,y} = f)$  wynika z definicji funkcji przejścia.



$$\begin{aligned} \frac{\partial(x \circ f)}{\partial s} \times \frac{\partial(x \circ f)}{\partial t} &= \\ &= \left( \frac{\partial x}{\partial f_1} \frac{\partial f_1}{\partial s} + \frac{\partial x}{\partial f_2} \frac{\partial f_2}{\partial s} \right) \times \left( \frac{\partial x}{\partial f_1} \frac{\partial f_1}{\partial t} + \frac{\partial x}{\partial f_2} \frac{\partial f_2}{\partial t} \right) = \\ &= \frac{\partial f_1}{\partial s} \frac{\partial f_2}{\partial t} \left( \frac{\partial x}{\partial f_1} \times \frac{\partial x}{\partial f_2} \right) + \frac{\partial f_1}{\partial t} \frac{\partial f_2}{\partial s} \left( \frac{\partial x}{\partial f_2} \times \frac{\partial x}{\partial f_1} \right) = \\ &= \left( \frac{\partial x}{\partial f_1} \times \frac{\partial x}{\partial f_2} \right) \left( \frac{\partial f_1}{\partial s} \frac{\partial f_2}{\partial t} - \frac{\partial f_1}{\partial t} \frac{\partial f_2}{\partial s} \right) \end{aligned}$$

$$\begin{aligned} \frac{\partial(x \circ f)}{\partial s} \times \frac{\partial(x \circ f)}{\partial t} &= \\ &= \left( \frac{\partial x}{\partial f_1} \frac{\partial f_1}{\partial s} + \frac{\partial x}{\partial f_2} \frac{\partial f_2}{\partial s} \right) \times \left( \frac{\partial x}{\partial f_1} \frac{\partial f_1}{\partial t} + \frac{\partial x}{\partial f_2} \frac{\partial f_2}{\partial t} \right) = \\ &= \frac{\partial f_1}{\partial s} \frac{\partial f_2}{\partial t} \left( \frac{\partial x}{\partial f_1} \times \frac{\partial x}{\partial f_2} \right) + \frac{\partial f_1}{\partial t} \frac{\partial f_2}{\partial s} \left( \frac{\partial x}{\partial f_2} \times \frac{\partial x}{\partial f_1} \right) = \\ &= \left( \frac{\partial x}{\partial f_1} \times \frac{\partial x}{\partial f_2} \right) \left( \frac{\partial f_1}{\partial s} \frac{\partial f_2}{\partial t} - \frac{\partial f_1}{\partial t} \frac{\partial f_2}{\partial s} \right) \end{aligned}$$

$$\begin{aligned} \frac{\partial(x \circ f)}{\partial s} \times \frac{\partial(x \circ f)}{\partial t} &= \\ &= \left( \frac{\partial x}{\partial f_1} \frac{\partial f_1}{\partial s} + \frac{\partial x}{\partial f_2} \frac{\partial f_2}{\partial s} \right) \times \left( \frac{\partial x}{\partial f_1} \frac{\partial f_1}{\partial t} + \frac{\partial x}{\partial f_2} \frac{\partial f_2}{\partial t} \right) = \\ &= \frac{\partial f_1}{\partial s} \frac{\partial f_2}{\partial t} \left( \frac{\partial x}{\partial f_1} \times \frac{\partial x}{\partial f_2} \right) + \frac{\partial f_1}{\partial t} \frac{\partial f_2}{\partial s} \left( \frac{\partial x}{\partial f_2} \times \frac{\partial x}{\partial f_1} \right) = \\ &= \left( \frac{\partial x}{\partial f_1} \times \frac{\partial x}{\partial f_2} \right) \left( \frac{\partial f_1}{\partial s} \frac{\partial f_2}{\partial t} - \frac{\partial f_1}{\partial t} \frac{\partial f_2}{\partial s} \right) \end{aligned}$$

- $\left(\frac{\partial x}{\partial f_1} \times \frac{\partial x}{\partial f_2}\right) \neq 0$  (lokalny układ współrzędnych)



$$\begin{aligned} \frac{\partial(\mathbf{x} \circ f)}{\partial s} \times \frac{\partial(\mathbf{x} \circ f)}{\partial t} &= \\ &= \left( \frac{\partial \mathbf{x}}{\partial f_1} \frac{\partial f_1}{\partial s} + \frac{\partial \mathbf{x}}{\partial f_2} \frac{\partial f_2}{\partial s} \right) \times \left( \frac{\partial \mathbf{x}}{\partial f_1} \frac{\partial f_1}{\partial t} + \frac{\partial \mathbf{x}}{\partial f_2} \frac{\partial f_2}{\partial t} \right) = \\ &= \frac{\partial f_1}{\partial s} \frac{\partial f_2}{\partial t} \left( \frac{\partial \mathbf{x}}{\partial f_1} \times \frac{\partial \mathbf{x}}{\partial f_2} \right) + \frac{\partial f_1}{\partial t} \frac{\partial f_2}{\partial s} \left( \frac{\partial \mathbf{x}}{\partial f_2} \times \frac{\partial \mathbf{x}}{\partial f_1} \right) = \\ &= \left( \frac{\partial \mathbf{x}}{\partial f_1} \times \frac{\partial \mathbf{x}}{\partial f_2} \right) \left( \frac{\partial f_1}{\partial s} \frac{\partial f_2}{\partial t} - \frac{\partial f_1}{\partial t} \frac{\partial f_2}{\partial s} \right) \end{aligned}$$

- ▶  $\left( \frac{\partial \mathbf{x}}{\partial f_1} \times \frac{\partial \mathbf{x}}{\partial f_2} \right) \neq 0$  (lokalny układ współrzędnych)
- ▶  $\left( \frac{\partial f_1}{\partial s} \frac{\partial f_2}{\partial t} - \frac{\partial f_1}{\partial t} \frac{\partial f_2}{\partial s} \right) \neq 0$  (Jakobian funkcji  $f$ ).

Wreszcie teza ( $\Phi_{x,y} = f$ ) wynika z definicji funkcji przejścia.



$$\begin{aligned}
 \frac{\partial(\mathbf{x} \circ f)}{\partial s} \times \frac{\partial(\mathbf{x} \circ f)}{\partial t} &= \\
 &= \left( \frac{\partial \mathbf{x}}{\partial f_1} \frac{\partial f_1}{\partial s} + \frac{\partial \mathbf{x}}{\partial f_2} \frac{\partial f_2}{\partial s} \right) \times \left( \frac{\partial \mathbf{x}}{\partial f_1} \frac{\partial f_1}{\partial t} + \frac{\partial \mathbf{x}}{\partial f_2} \frac{\partial f_2}{\partial t} \right) = \\
 &= \frac{\partial f_1}{\partial s} \frac{\partial f_2}{\partial t} \left( \frac{\partial \mathbf{x}}{\partial f_1} \times \frac{\partial \mathbf{x}}{\partial f_2} \right) + \frac{\partial f_1}{\partial t} \frac{\partial f_2}{\partial s} \left( \frac{\partial \mathbf{x}}{\partial f_2} \times \frac{\partial \mathbf{x}}{\partial f_1} \right) = \\
 &= \left( \frac{\partial \mathbf{x}}{\partial f_1} \times \frac{\partial \mathbf{x}}{\partial f_2} \right) \left( \frac{\partial f_1}{\partial s} \frac{\partial f_2}{\partial t} - \frac{\partial f_1}{\partial t} \frac{\partial f_2}{\partial s} \right)
 \end{aligned}$$

►  $\left( \frac{\partial \mathbf{x}}{\partial f_1} \times \frac{\partial \mathbf{x}}{\partial f_2} \right) \neq 0$  (lokalny układ współrzędnych)

►  $\left( \frac{\partial f_1}{\partial s} \frac{\partial f_2}{\partial t} - \frac{\partial f_1}{\partial t} \frac{\partial f_2}{\partial s} \right) \neq 0$  (Jakobian funkcji  $f$ ).

Wreszcie teza  $(\Phi_{\mathbf{x},y} = f)$  wynika z definicji funkcji przejścia.



# Gładkość funkcji na powierzchni

Elementarna  
Geometria  
Różniczkowa

Opracowanie:  
Marek Kaluba

Powierzchnie w  $\mathbb{R}^3$

Podstawowe definicje

Przykłady powierzchni

Parametryzacja Monge'a

Powierzchnie obrotowe

Powierzchnie prostokątne

Poziome funkcje

Wektory styczne i  
normalne. I forma  
podstawowa

Pochodne  
kierunkowe.  
Izometria.

Krzywizna Gaussa I

Krzywizna Gaussa II

Theorema Egregium i  
Twierdzenie  
klasyfikacyjne

## Definicja

Niech  $M \subset \mathbb{R}^3$  będzie powierzchnią gładką i niech  $f: M \rightarrow \mathbb{R}$  będzie funkcją. Funkcję  $f$  nazywamy gładką jeśli dla każdego punktu  $p \in M$  i dla każdego lokalnego układu współrzędnych  $x: U \rightarrow M$  takiego, że  $p \in x(U)$  funkcja

$$f \circ x: U \xrightarrow{x} M \xrightarrow{f} \mathbb{R}$$

jest gładka jako funkcja z  $\mathbb{R}^2$  do  $\mathbb{R}$ .



W praktyce są dwie metody na definiowanie funkcji określonej na powierzchni.

- ▶ Jeśli  $F: \mathbb{R}^3 \rightarrow \mathbb{R}$  jest gładka, wtedy jej obcięcie  $F|_M: M \rightarrow \mathbb{R}$  będzie również gładkie.
- ▶ Załóżmy że  $x: U \rightarrow M \subset \mathbb{R}^3$  jest lokalnym układem współrzędnych. Jeśli  $f: U \rightarrow \mathbb{R}$  jest funkcją gładką, to funkcję na powierzchni  $M$  możemy określić jako

$$F = f \circ x^{-1}: x^{-1}(U) \rightarrow U \rightarrow \mathbb{R},$$

gdzie  $x^{-1}(U) \subset M$ . Jest to funkcja gładka jako złożenie dwóch funkcji gładkich.

Powierzchnie w  $\mathbb{R}^3$ 

Podstawowe definicje

Przykłady powierzchni

Parametryzacja Monge'a

Powierzchnie obrotowe

Powierzchnie prostokątne

Poziomice funkcji

Wektory styczne i  
normalne. I forma  
podstawowaPochodne  
kierunkowe.  
Izometria.

Krzywizna Gaussa I

Krzywizna Gaussa II

Theorema Egregium i  
Twierdzenie  
klasyfikacyjne

W praktyce są dwie metody na definiowanie funkcji określonej na powierzchni.

- ▶ Jeśli  $F: \mathbb{R}^3 \rightarrow \mathbb{R}$  jest gładka, wtedy jej obcięcie  $F|_M: M \rightarrow \mathbb{R}$  będzie również gładkie.
- ▶ Załóżmy że  $x: U \rightarrow M \subset \mathbb{R}^3$  jest lokalnym układem współrzędnych. Jeśli  $f: U \rightarrow \mathbb{R}$  jest funkcją gładką, to funkcję na powierzchni  $M$  możemy określić jako

$$F = f \circ x^{-1}: x^{-1}(U) \rightarrow U \rightarrow \mathbb{R},$$

gdzie  $x^{-1}(U) \subset M$ . Jest to funkcja gładka jako złożenie dwóch funkcji gładkich.

Powierzchnie w  $\mathbb{R}^3$ 

Podstawowe definicje

Przykłady powierzchni

Parametryzacja Monge'a

Powierzchnie obrotowe

Powierzchnie prostokątne

Poziomice funkcji

Wektory styczne i  
normalne. I forma  
podstawowaPochodne  
kierunkowe.  
Izometria.

Krzywizna Gaussa I

Krzywizna Gaussa II

Theorema Egregium i  
Twierdzenie  
klasyfikacyjne

## Przykład

- Funkcja  $f: S^2 \rightarrow \mathbb{R}$  zadana wzorem

$$f(x, y, z) = \frac{xyz}{x^2 + y^2 + z^2}$$

jest funkcją gładką.

- Niech  $M$  będzie zadana jako powierzchnia paraboloidy,

$$x(s, t) = (s, t, s^2 + t^2).$$

Rozważmy funkcję  $f: \mathbb{R}^2 \rightarrow \mathbb{R}$  zadaną wzorem

$$(s, t) \mapsto \sin(s + t).$$

Wtedy  $f \circ x^{-1}(a, b, c) = \sin(a + b)$  i stąd  $f \circ x^{-1}: M \rightarrow \mathbb{R}$  jest funkcją gładką na powierzchni paraboloidy.

Powierzchnie w  $\mathbb{R}^3$ 

Podstawowe definicje

Przykłady powierzchni

Parametryzacja Monge'a

Powierzchnie obrotowe

Powierzchnie prostokątne

Poziomice funkcji

Wektory styczne i  
normalne. I forma  
podstawowaPochodne  
kierunkowe.  
Izometria.

Krzywizna Gaussa I

Krzywizna Gaussa II

Theorema Egregium i  
Twierdzenie  
klasyfikacyjne

## Przykład

- Funkcja  $f: S^2 \rightarrow \mathbb{R}$  zadana wzorem

$$f(x, y, z) = \frac{xyz}{x^2 + y^2 + z^2}$$

jest funkcją gładką.

- Niech  $M$  będzie zadana jako powierzchnia paraboloidy,

$$x(s, t) = (s, t, s^2 + t^2).$$

Rozważmy funkcję  $f: \mathbb{R}^2 \rightarrow \mathbb{R}$  zadaną wzorem

$$(s, t) \mapsto \sin(s + t).$$

Wtedy  $f \circ x^{-1}(a, b, c) = \sin(a + b)$  i stąd  $f \circ x^{-1}: M \rightarrow \mathbb{R}$  jest funkcją gładką na powierzchni paraboloidy.

Powierzchnie w  $\mathbb{R}^3$ 

Podstawowe definicje

Przykłady powierzchni

Parametryzacja Monge'a

Powierzchnie obrotowe

Powierzchnie prostokątne

Poziomice funkcji

Wektory styczne i  
normalne. I forma  
podstawowaPochodne  
kierunkowe.  
Izometria.

Krzywizna Gaussa I

Krzywizna Gaussa II

Theorema Egregium i  
Twierdzenie  
klasyfikacyjne



## Przykład

- Funkcja  $f: S^2 \rightarrow \mathbb{R}$  zadana wzorem

$$f(x, y, z) = \frac{xyz}{x^2 + y^2 + z^2}$$

jest funkcją gładką.

- Niech  $M$  będzie zadana jako powierzchnia paraboloidy,

$$x(s, t) = (s, t, s^2 + t^2).$$

Rozważmy funkcję  $f: \mathbb{R}^2 \rightarrow \mathbb{R}$  zadaną wzorem

$$(s, t) \mapsto \sin(s + t).$$

Wtedy  $f \circ x^{-1}(a, b, c) = \sin(a + b)$  i stąd  $f \circ x^{-1}: M \rightarrow \mathbb{R}$  jest funkcją gładką na powierzchni paraboloidy.

Powierzchnie w  $\mathbb{R}^3$ 

Podstawowe definicje

Przykłady powierzchni

Parametryzacja Monge'a

Powierzchnie obrotowe

Powierzchnie prostokątne

Poziomice funkcji

Wektory styczne i  
normalne. I forma  
podstawowaPochodne  
kierunkowe.  
Izometria.

Krzywizna Gaussa I

Krzywizna Gaussa II

Theorema Egregium i  
Twierdzenie  
klasyfikacyjne

## Przykład

- Funkcja  $f: S^2 \rightarrow \mathbb{R}$  zadana wzorem

$$f(x, y, z) = \frac{xyz}{x^2 + y^2 + z^2}$$

jest funkcją gładką.

- Niech  $M$  będzie zadana jako powierzchnia paraboloidy,

$$x(s, t) = (s, t, s^2 + t^2).$$

Rozważmy funkcję  $f: \mathbb{R}^2 \rightarrow \mathbb{R}$  zadaną wzorem

$$(s, t) \mapsto \sin(s + t).$$

Wtedy  $f \circ x^{-1}(a, b, c) = \sin(a + b)$  i stąd  $f \circ x^{-1}: M \rightarrow \mathbb{R}$  jest funkcją gładką na powierzchni paraboloidy.

Powierzchnie w  $\mathbb{R}^3$ 

Podstawowe definicje

Przykłady powierzchni

Parametryzacja Monge'a

Powierzchnie obrotowe

Powierzchnie prostokątne

Poziomice funkcji

Wektory styczne i  
normalne. I forma  
podstawowaPochodne  
kierunkowe.  
Izometria.

Krzywizna Gaussa I

Krzywizna Gaussa II

Theorema Egregium i  
Twierdzenie  
klasyfikacyjne

# Gładkość odwzorowania między powierzchniami

Elementarna  
Geometria  
Różniczkowa

Opracowanie:  
Marek Kaluba

Powierzchnie w  $\mathbb{R}^3$

Podstawowe definicje

Przykłady powierzchni

Parametryzacja Monge'a

Powierzchnie obrotowe

Powierzchnie prostokątne

Poziome funkcje

Wektory styczne i  
normalne. I forma  
podstawowa

Pochodne  
kierunkowe.  
Izometria.

Krzywizna Gaussa I

Krzywizna Gaussa II

Theorema Egregium i  
Twierdzenie  
klasyfikacyjne

## Definicja

Niech  $M, N \subset \mathbb{R}^3$  będą powierzchniami gładkimi i niech  $f: M \rightarrow N$  będzie odwzorowaniem. Mówimy, że  $f$  jest **odwzorowaniem gładkim** jeśli jest gładkie jako odwzorowanie  $M \rightarrow N \hookrightarrow \mathbb{R}^3$ . Mówimy, że  $f$  jest **dyfeomorfizmem powierzchni** jeśli  $f$  jest gładką bijekcją, którego odwzorowanie odwrotne jest również gładkie.

## Lemat

Niech  $M, N \subset \mathbb{R}^3$  będą powierzchniami gładkimi i niech

$$f: M \rightarrow N$$

będzie odwzorowaniem ciągłym.  $f$  jest odwzorowaniem gładkim (a więc gładkim jako odwzorowanie  $f: M \rightarrow \mathbb{R}^3$ ) wtedy i tylko wtedy gdy dla każdego punktu  $p \in M$  istnieje wokół niego lokalny układ współrzędnych  $x: U \rightarrow M$  oraz istnieje lokalny układ współrzędnych  $y: V \rightarrow N$  wokół  $f(p) \in N$  takie, że złożenie

$$y^{-1} \circ f \circ x: U \rightarrow V$$

jest gładkie jako odwzorowanie  $\mathbb{R}^2 \rightarrow \mathbb{R}^2$  (tam, gdzie to złożenie ma sens).

Powierzchnie w  $\mathbb{R}^3$ 

Podstawowe definicje

Przykłady powierzchni

Parametryzacja Monge'a

Powierzchnie obrotowe

Powierzchnie prostokątne

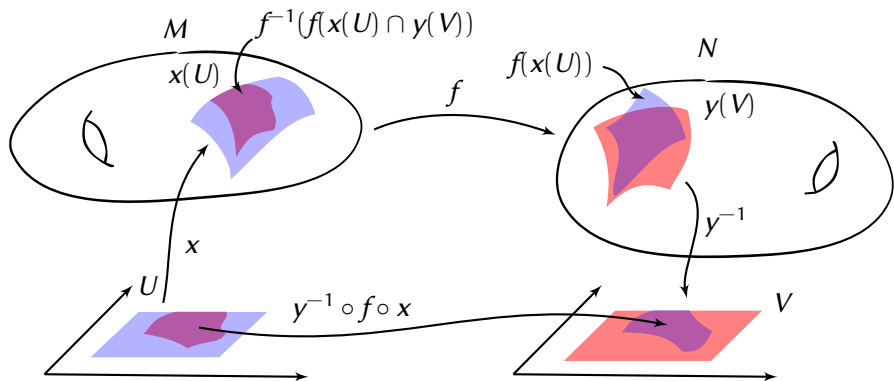
Poziomice funkcji

Wektory styczne i  
normalne. I forma  
podstawowaPochodne  
kierunkowe.  
Izometria.

Krzywizna Gaussa I

Krzywizna Gaussa II

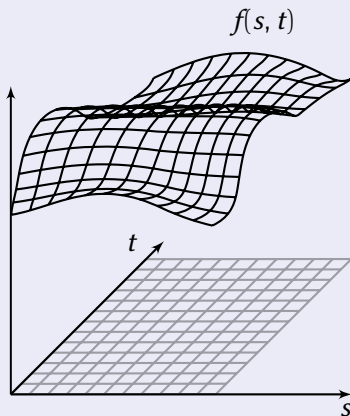
Theorema Egregium i  
Twierdzenie  
klasyfikacyjne



## Definicja

Niech  $f: U \rightarrow \mathbb{R}$  będzie funkcją określoną na zbiorze otwartym  $U \subset \mathbb{R}^2$ . Powierzchnię  $M \subset \mathbb{R}^3$  nazywamy **powierzchnią Monge'a** jeśli jej parametryzacja jest wykresem funkcji  $f$ :

$$x(s, t) = (s, t, f(s, t)).$$



## Uwaga

*Parametryzacja Monge'a spełnia naszą definicję powierzchni (Definicja 5.3), ponieważ*

$$\begin{aligned}\frac{\partial \mathbf{x}}{\partial s}(s, t) \times \frac{\partial \mathbf{x}}{\partial t}(s, t) &= \det \begin{bmatrix} i & j & k \\ 1 & 0 & \frac{\partial f}{\partial s}(s, t) \\ 0 & 1 & \frac{\partial f}{\partial t}(s, t) \end{bmatrix} = \\ &= \left( -\frac{\partial f}{\partial s}(s, t), -\frac{\partial f}{\partial t}(s, t), 1 \right) \neq 0.\end{aligned}$$

Powierzchnie w  $\mathbb{R}^3$ 

Podstawowe definicje

Przykłady powierzchni

Parametryzacja Monge'a

Powierzchnie obrotowe

Powierzchnie prostokątne

Poziomice funkcji

Wektory styczne i  
normalne. I forma  
podstawowaPochodne  
kierunkowe.  
Izometria.

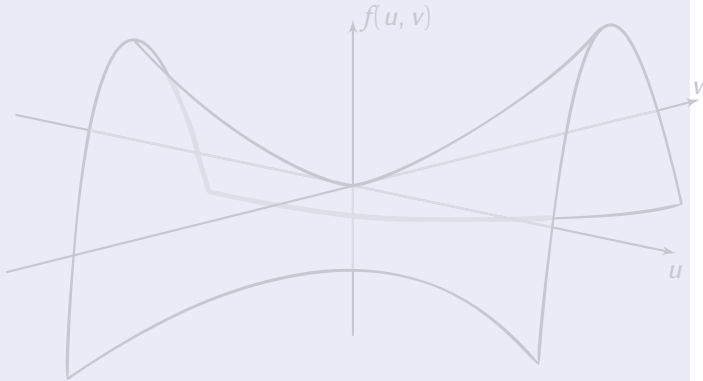
Krzywizna Gaussa I

Krzywizna Gaussa II

Theorema Egregium i  
Twierdzenie  
klasyfikacyjne

## Przykład

- ▶ Paraboloida ( $x(u, v) = (u, v, u^2 + v^2)$ )
- ▶ Powierzchnia siodłowa ( $x(u, v) = (u, v, uv)$ )



Powierzchnie w  $\mathbb{R}^3$

Podstawowe definicje

Przykłady powierzchni

Parametryzacja Monge'a

Powierzchnie obrotowe

Powierzchnie prostokątne

Poziome funkcje

Wektory styczne i  
normalne. I forma  
podstawowa

Pochodne  
kierunkowe.  
Izometria.

Krzywizna Gaussa I

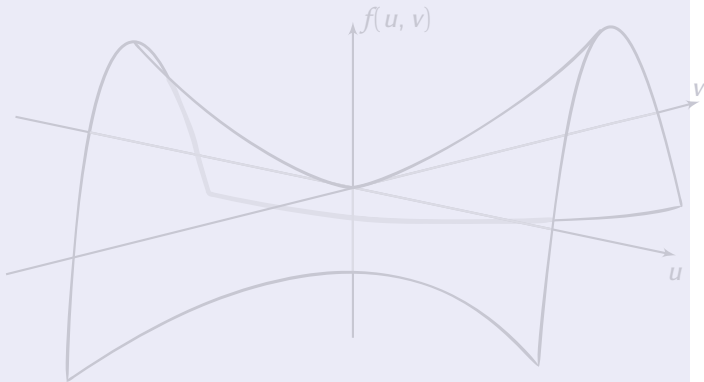
Krzywizna Gaussa II

Theorema Egregium i  
Twierdzenie  
klasyfikacyjne



## Przykład

- ▶ Paraboloida ( $x(u, v) = (u, v, u^2 + v^2)$ )
- ▶ Powierzchnia siodłowa ( $x(u, v) = (u, v, uv)$ )



### Powierzchnie w $\mathbb{R}^3$

Podstawowe definicje

Przykłady powierzchni

Parametryzacja Monge'a

Powierzchnie obrotowe

Powierzchnie prostokątne

Poziome funkcje

Wektory styczne i  
normalne. I forma  
podstawowa

Pochodne  
kierunkowe.  
Izometria.

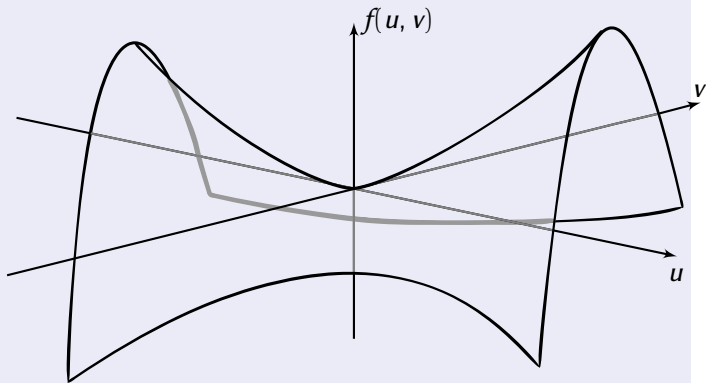
Krzywizna Gaussa I

Krzywizna Gaussa II

Theorema Egregium i  
Twierdzenie  
klasyfikacyjne

## Przykład

- ▶ Paraboloida ( $x(u, v) = (u, v, u^2 + v^2)$ )
- ▶ Powierzchnia siodłowa ( $x(u, v) = (u, v, uv)$ )



Powierzchnie w  $\mathbb{R}^3$

Podstawowe definicje

Przykłady powierzchni

Parametryzacja Monge'a

Powierzchnie obrotowe

Powierzchnie prostokątne

Poziome funkcje

Wektory styczne i  
normalne. I forma  
podstawowa

Pochodne  
kierunkowe.  
Izometria.

Krzywizna Gaussa I

Krzywizna Gaussa II

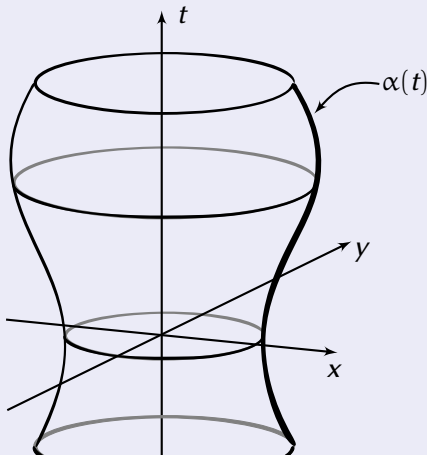
Theorema Egregium i  
Twierdzenie  
klasyfikacyjne

# Definicja

**Powierzchnia obrotowa** powstaje poprzez obrócenie krzywej  $\alpha(t)$  wokół pewnej ustalonej prostej  $l$ . Postać ogólna to

$$x(t, \phi) = \alpha(t) \cdot \text{Rot}_l(\phi),$$

gdzie  $\text{Rot}_l(\phi)$  to macierz  $3 \times 3$  obrotu o kąt  $\phi$  wokół prostej  $l$ .



Najczęściej używane macierze obrotu to obroty wokół osi współrzędnych  $x, y, z$ :

$$Rot_x(\phi) = \begin{bmatrix} 1 & 0 & 0 \\ 0 & \cos \phi & \sin \phi \\ 0 & -\sin \phi & \cos \phi \end{bmatrix}$$

$$Rot_y(\phi) = \begin{bmatrix} \cos \phi & 0 & \sin \phi \\ 0 & 1 & 0 \\ -\sin \phi & 0 & \cos \phi \end{bmatrix}$$

$$Rot_z(\phi) = \begin{bmatrix} \cos \phi & \sin \phi & 0 \\ -\sin \phi & \cos \phi & 0 \\ 0 & 0 & 1 \end{bmatrix}$$

W przypadku obrotu  $\alpha(t) = (\alpha_1(t), \alpha_2(t), \alpha_3(t))$  wokół osi  $OX$  otrzymamy

$$x(t, \phi) = (\alpha_1(t), \alpha_2(t) \cos \phi - \alpha_3(t) \sin \phi, \alpha_2(t) \sin \phi + \alpha_3(t) \cos \phi)$$

Powierzchnie w  $\mathbb{R}^3$ 

Podstawowe definicje

Przykłady powierzchni

Parametryzacja Monge'a

Powierzchnie obrotowe

Powierzchnie prostokątne

Poziomice funkcji

Wektory styczne i  
normalne. I forma  
podstawowaPochodne  
kierunkowe.  
Izometria.

Krzywizna Gaussa I

Krzywizna Gaussa II

Theorema Egregium i  
Twierdzenie  
klasyfikacyjne

Najczęściej używane macierze obrotu to obroty wokół osi współrzędnych  $x, y, z$ :

$$Rot_x(\phi) = \begin{bmatrix} 1 & 0 & 0 \\ 0 & \cos \phi & \sin \phi \\ 0 & -\sin \phi & \cos \phi \end{bmatrix}$$

$$Rot_y(\phi) = \begin{bmatrix} \cos \phi & 0 & \sin \phi \\ 0 & 1 & 0 \\ -\sin \phi & 0 & \cos \phi \end{bmatrix}$$

$$Rot_z(\phi) = \begin{bmatrix} \cos \phi & \sin \phi & 0 \\ -\sin \phi & \cos \phi & 0 \\ 0 & 0 & 1 \end{bmatrix}$$

W przypadku obrotu  $\alpha(t) = (\alpha_1(t), \alpha_2(t), \alpha_3(t))$  wokół osi  $OX$  otrzymamy

$$x(t, \phi) = (\alpha_1(t), \alpha_2(t) \cos \phi - \alpha_3(t) \sin \phi, \alpha_2(t) \sin \phi + \alpha_3(t) \cos \phi)$$

[Powierzchnie w  \$\mathbb{R}^3\$](#) [Podstawowe definicje](#)[Przykłady powierzchni](#)[Parametryzacja Monge'a](#)[Powierzchnie obrotowe](#)[Powierzchnie prostokątne](#)[Poziomice funkcji](#)[Wektory styczne i normalne. I forma podstawowa](#)[Pochodne kierunkowe. Izometria.](#)[Krzywizna Gaussa I](#)[Krzywizna Gaussa II](#)[Theorema Egregium i Twierdzenie klasyfikacyjne](#)

## Uwaga

*Aby powierzchnia w ten sposób uzyskana była gładka musimy dodatkowo wymagać, aby*

- ▶ *krzywa była bez samoprzecięć, oraz*
- ▶ *oś obrotu nie przecinała naszej krzywej w żadnym punkcie.*

## Zadanie

Opisać co się “psuje” w definicji kiedy zachodzi jedna bądź druga okoliczność.

Powierzchnie w  $\mathbb{R}^3$

Podstawowe definicje

Przykłady powierzchni

Parametryzacja Monge'a

**Powierzchnie obrotowe**

Powierzchnie prostokątne

Poziome funkcje

Wektory styczne i  
normalne. I forma  
podstawowa

Pochodne  
kierunkowe.  
Izometria.

Krzywizna Gaussa I

Krzywizna Gaussa II

Theorema Egregium i  
Twierdzenie  
klasyfikacyjne

## Uwaga

*Aby powierzchnia w ten sposób uzyskana była gładka musimy dodatkowo wymagać, aby*

- ▶ *krzywa była bez samoprzecięć, oraz*
- ▶ *oś obrotu nie przecinała naszej krzywej w żadnym punkcie.*

## Zadanie

Opisać co się “psuje” w definicji kiedy zachodzi jedna bądź druga okoliczność.

Powierzchnie w  $\mathbb{R}^3$

Podstawowe definicje

Przykłady powierzchni

Parametryzacja Monge'a

Powierzchnie obrotowe

Powierzchnie prostokątne

Poziome funkcje

Wektory styczne i  
normalne. I forma  
podstawowa

Pochodne  
kierunkowe.  
Izometria.

Krzywizna Gaussa I

Krzywizna Gaussa II

Theorema Egregium i  
Twierdzenie  
klasyfikacyjne

## Uwaga

*Aby powierzchnia w ten sposób uzyskana była gładka musimy dodatkowo wymagać, aby*

- ▶ *krzywa była bez samoprzecięć, oraz*
- ▶ *oś obrotu nie przecinała naszej krzywej w żadnym punkcie.*

## Zadanie

Opisać co się “psuje” w definicji kiedy zachodzi jedna bądź druga okoliczność.

Powierzchnie w  $\mathbb{R}^3$

Podstawowe definicje

Przykłady powierzchni

Parametryzacja Monge'a

Powierzchnie obrotowe

Powierzchnie prostokątne

Poziome funkcje

Wektory styczne i  
normalne. I forma  
podstawowa

Pochodne  
kierunkowe.  
Izometria.

Krzywizna Gaussa I

Krzywizna Gaussa II

Theorema Egregium i  
Twierdzenie  
klasyfikacyjne



## Uwaga

*Aby powierzchnia w ten sposób uzyskana była gładka musimy dodatkowo wymagać, aby*

- ▶ *krzywa była bez samoprzecięć, oraz*
- ▶ *oś obrotu nie przecinała naszej krzywej w żadnym punkcie.*

## Zadanie

Opisać co się “psuje” w definicji kiedy zachodzi jedna bądź druga okoliczność.

Powierzchnie w  $\mathbb{R}^3$

Podstawowe definicje

Przykłady powierzchni

Parametryzacja Monge'a

Powierzchnie obrotowe

Powierzchnie prostokątne

Poziome funkcje

Wektory styczne i  
normalne. I forma  
podstawowa

Pochodne  
kierunkowe.  
Izometria.

Krzywizna Gaussa I

Krzywizna Gaussa II

Theorema Egregium i  
Twierdzenie  
klasyfikacyjne



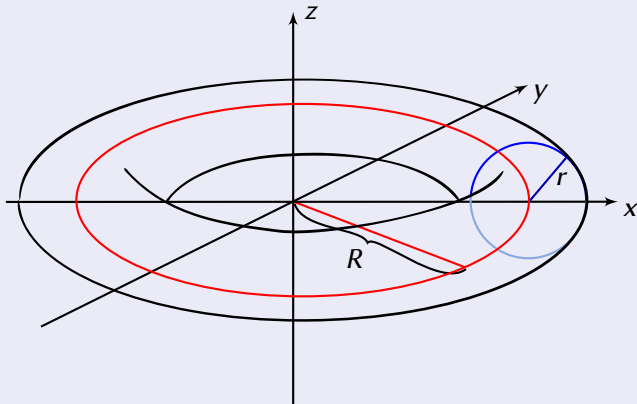




## Przykład

- ▶ Torus – obrót okręgu  $\alpha(t) = (R + r \cos t, 0, r \sin t)$  wokół osi  $z$ :

$$x(t, \phi) = ((R + r \cos t) \cos \phi, (R + r \cos t) \sin \phi, r \sin t).$$

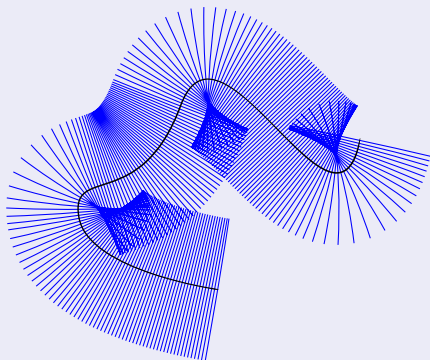


## Definicja

**Powierzchnią prostokreślną** nazywamy powierzchnię o parametryzacji

$$x(s, t) = \alpha(s) + t\beta(s),$$

gdzie  $\alpha$  i  $\beta$  są krzywymi w przestrzeni  $\mathbb{R}^3$ .  $\alpha$  nazywa się potocznie kierownicą,  $\beta$  - ruletą.



## Uwaga

*Zauważmy, że dla ustalonego  $s_0$  (czyli linia parametru dla zmiennej  $t$ ) parametryzacja powyżej redukuje się do równania parametrycznego prostej. Powierzchnia prostokreślna to więc powierzchnia która “składa się” z prostych.*

- ▶ Walec, Stożek
- ▶ Powierzchnia śrubowa
- ▶ Powierzchnia siodłowa
- ▶ Katenoida(!).

Powierzchnie w  $\mathbb{R}^3$

Podstawowe definicje

Przykłady powierzchni

Parametryzacja Monge'a

Powierzchnie obrotowe

Powierzchnie prostokreślne

Poziome funkcje

Wektory styczne i  
normalne. I forma  
podstawowa

Pochodne  
kierunkowe.  
Izometria.

Krzywizna Gaussa I

Krzywizna Gaussa II

Theorema Egregium i  
Twierdzenie  
klasyfikacyjne

## Uwaga

*Zauważmy, że dla ustalonego  $s_0$  (czyli linia parametru dla zmiennej  $t$ ) parametryzacja powyżej redukuje się do równania parametrycznego prostej. Powierzchnia prostokreślna to więc powierzchnia która “składa się” z prostych.*

- ▶ Walec, Stożek
- ▶ Powierzchnia śrubowa
- ▶ Powierzchnia siodłowa
- ▶ Katenoida(!).

Powierzchnie w  $\mathbb{R}^3$

Podstawowe definicje

Przykłady powierzchni

Parametryzacja Monge'a

Powierzchnie obrotowe

Powierzchnie prostokreślne

Poziome funkcje

Wektory styczne i  
normalne. I forma  
podstawowa

Pochodne  
kierunkowe.  
Izometria.

Krzywizna Gaussa I

Krzywizna Gaussa II

Theorema Egregium i  
Twierdzenie  
klasyfikacyjne



## Uwaga

*Zauważmy, że dla ustalonego  $s_0$  (czyli linia parametru dla zmiennej  $t$ ) parametryzacja powyżej redukuje się do równania parametrycznego prostej. Powierzchnia prostokreślna to więc powierzchnia która “składa się” z prostych.*

- ▶ Walec, Stożek
- ▶ Powierzchnia śrubowa
- ▶ Powierzchnia siodłowa
- ▶ Katenoida(!).

Powierzchnie w  $\mathbb{R}^3$

Podstawowe definicje

Przykłady powierzchni

Parametryzacja Monge'a

Powierzchnie obrotowe

Powierzchnie prostokreślne

Poziome funkcje

Wektory styczne i  
normalne. I forma  
podstawowa

Pochodne  
kierunkowe.  
Izometria.

Krzywizna Gaussa I

Krzywizna Gaussa II

Theorema Egregium i  
Twierdzenie  
klasyfikacyjne

## Uwaga

*Zauważmy, że dla ustalonego  $s_0$  (czyli linia parametru dla zmiennej  $t$ ) parametryzacja powyżej redukuje się do równania parametrycznego prostej. Powierzchnia prostokreślna to więc powierzchnia która “składa się” z prostych.*

- ▶ Walec, Stożek
- ▶ Powierzchnia śrubowa
- ▶ Powierzchnia siodłowa
- ▶ Katenoida(!).

Powierzchnie w  $\mathbb{R}^3$

Podstawowe definicje

Przykłady powierzchni

Parametryzacja Monge'a

Powierzchnie obrotowe

Powierzchnie prostokreślne

Poziome funkcje

Wektory styczne i  
normalne. I forma  
podstawowa

Pochodne  
kierunkowe.  
Izometria.

Krzywizna Gaussa I

Krzywizna Gaussa II

Theorema Egregium i  
Twierdzenie  
klasyfikacyjne

## Uwaga

*Zauważmy, że dla ustalonego  $s_0$  (czyli linia parametru dla zmiennej  $t$ ) parametryzacja powyżej redukuje się do równania parametrycznego prostej. Powierzchnia prostokreślna to więc powierzchnia która “składa się” z prostych.*

- ▶ Walec, Stożek
- ▶ Powierzchnia śrubowa
- ▶ Powierzchnia siodłowa
- ▶ Katenoida(!).

Powierzchnie w  $\mathbb{R}^3$

Podstawowe definicje

Przykłady powierzchni

Parametryzacja Monge'a

Powierzchnie obrotowe

Powierzchnie prostokreślne

Poziomice funkcji

Wektory styczne i  
normalne. I forma  
podstawowa

Pochodne  
kierunkowe.  
Izometria.

Krzywizna Gaussa I

Krzywizna Gaussa II

Theorema Egregium i  
Twierdzenie  
klasyfikacyjne

## Definicja

Niech  $V \subset \mathbb{R}^3$  będzie zbiorem otwartym, oraz niech

$$F: V \rightarrow \mathbb{R}$$

będzie gładką funkcją.

- ▶ Punkt  $p \in V$  nazywamy **punktem krytycznym** funkcji  $F$  jeśli

$$\left( \frac{\partial F}{\partial x_1}(p), \frac{\partial F}{\partial x_2}(p), \frac{\partial F}{\partial x_3}(p) \right) = 0.$$

- ▶ Liczbę  $a \in \mathbb{R}$  nazywamy **wartością krytyczną** odwzorowania  $F$  jeśli wewnątrz zbioru  $F^{-1}(a)$  leży przynajmniej jeden punkt krytyczny.

Powierzchnie w  $\mathbb{R}^3$

Podstawowe definicje

Przykłady powierzchni

Parametryzacja Monge'a

Powierzchnie obrotowe

Powierzchnie prostokątne

Poziome funkcje

Wektory styczne i  
normalne. I forma  
podstawowa

Pochodne  
kierunkowe.  
Izometria.

Krzywizna Gaussa I

Krzywizna Gaussa II

Theorema Egregium i  
Twierdzenie  
klasyfikacyjne

## Definicja

Niech  $V \subset \mathbb{R}^3$  będzie zbiorem otwartym, oraz niech

$$F: V \rightarrow \mathbb{R}$$

będzie gładką funkcją.

- ▶ Punkt  $p \in V$  nazywamy **punktem krytycznym** funkcji  $F$  jeśli

$$\left( \frac{\partial F}{\partial x_1}(p), \frac{\partial F}{\partial x_2}(p), \frac{\partial F}{\partial x_3}(p) \right) = 0.$$

- ▶ Liczbę  $a \in \mathbb{R}$  nazywamy **wartością krytyczną** odwzorowania  $F$  jeśli wewnątrz zbioru  $F^{-1}(a)$  leży przynajmniej jeden punkt krytyczny.

Powierzchnie w  $\mathbb{R}^3$

Podstawowe definicje

Przykłady powierzchni

Parametryzacja Monge'a

Powierzchnie obrotowe

Powierzchnie prostokątne

Poziome funkcje

Wektory styczne i  
normalne. I forma  
podstawowa

Pochodne  
kierunkowe.  
Izometria.

Krzywizna Gaussa I

Krzywizna Gaussa II

Theorema Egregium i  
Twierdzenie  
klasyfikacyjne

## Definicja

Niech  $V \subset \mathbb{R}^3$  będzie zbiorem otwartym, oraz niech

$$F: V \rightarrow \mathbb{R}$$

będzie gładką funkcją.

- ▶ Punkt  $p \in V$  nazywamy **punktem krytycznym** funkcji  $F$  jeśli

$$\left( \frac{\partial F}{\partial x_1}(p), \frac{\partial F}{\partial x_2}(p), \frac{\partial F}{\partial x_3}(p) \right) = 0.$$

- ▶ Liczbę  $a \in \mathbb{R}$  nazywamy **wartością krytyczną** odwzorowania  $F$  jeśli wewnątrz zbioru  $F^{-1}(a)$  leży przynajmniej jeden punkt krytyczny.

Powierzchnie w  $\mathbb{R}^3$

Podstawowe definicje

Przykłady powierzchni

Parametryzacja Monge'a

Powierzchnie obrotowe

Powierzchnie prostokątne

Poziome funkcje

Wektory styczne i  
normalne. I forma  
podstawowa

Pochodne  
kierunkowe.  
Izometria.

Krzywizna Gaussa I

Krzywizna Gaussa II

Theorema Egregium i  
Twierdzenie  
klasyfikacyjne

## Definicja

- ▶ Punkt  $p \in V$  nazywamy **punktem regularnym** odwzorowania  $F$  jeśli dla pewnego  $i = 1, 2, 3$

$$\frac{\partial F}{\partial x_i}(p) \neq 0.$$

- ▶ Liczbę  $a \in \mathbb{R}$  nazywamy **wartością regularną** odwzorowania  $F$  jeśli zbiór  $F^{-1}(a)$  składa się tylko z punktów regularnych.

Powierzchnie w  $\mathbb{R}^3$

Podstawowe definicje

Przykłady powierzchni

Parametryzacja Monge'a

Powierzchnie obrotowe

Powierzchnie prostokątne

Poziome funkcje

Wektory styczne i  
normalne. I forma  
podstawowa

Pochodne  
kierunkowe.  
Izometria.

Krzywizna Gaussa I

Krzywizna Gaussa II

Theorema Egregium i  
Twierdzenie  
klasyfikacyjne

## Definicja

- ▶ Punkt  $p \in V$  nazywamy **punktem regularnym** odwzorowania  $F$  jeśli dla pewnego  $i = 1, 2, 3$

$$\frac{\partial F}{\partial x_i}(p) \neq 0.$$

- ▶ Liczbę  $a \in \mathbb{R}$  nazywamy **wartością regularną** odwzorowania  $F$  jeśli zbiór  $F^{-1}(a)$  składa się tylko z punktów regularnych.

Powierzchnie w  $\mathbb{R}^3$

Podstawowe definicje

Przykłady powierzchni

Parametryzacja Monge'a

Powierzchnie obrotowe

Powierzchnie prostokątne

Poziome funkcje

Wektory styczne i  
normalne. I forma  
podstawowa

Pochodne  
kierunkowe.  
Izometria.

Krzywizna Gaussa I

Krzywizna Gaussa II

Theorema Egregium i  
Twierdzenie  
klasyfikacyjne





## Twierdzenie

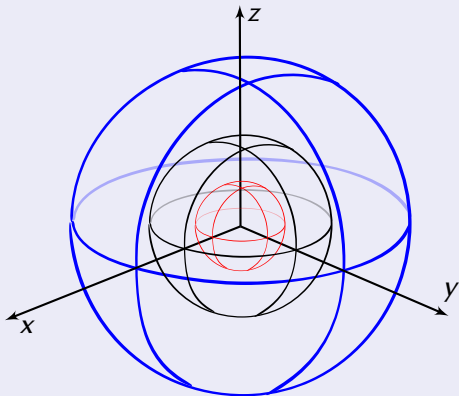
*Niech  $V \subset \mathbb{R}^3$  będzie zbiorem otwartym, zaś  $F: V \rightarrow \mathbb{R}$  funkcją gładką. Jeśli  $a \in F(V) \subset \mathbb{R}$  jest wartością regularną, wtedy  $F^{-1}(a)$  jest powierzchnią gładką (o ile jest to zbiór niepusty).*

### Dowód:

Dowód jest dosyć techniczny i wynika z twierdzenia o funkcji uwikłanej. Pomijamy.  $\square$



- ▶ elipsoida (w szczególności sfera o promieniu  $R$  jako przeciwobraz  $f^{-1}(R)$ , gdzie  $f(x, y, z) = x^2 + y^2 + z^2$ ).



- ▶ paraboloida ( $F(x, y, z) = x^2 + y^2 - z$ )
- ▶ hiperboloida (jedno i dwu-powłokowa:  
 $f(x) = \frac{x^2}{a^2} + \frac{y^2}{b^2} - \frac{z^2}{c^2}$ ).

## Powierzchnie w $\mathbb{R}^3$

Podstawowe definicje

Przykłady powierzchni

Parametryzacja Monge'a

Powierzchnie obrotowe

Powierzchnie prostokątne

Poziome funkcje

Wektory styczne i  
normalne. I forma  
podstawowa

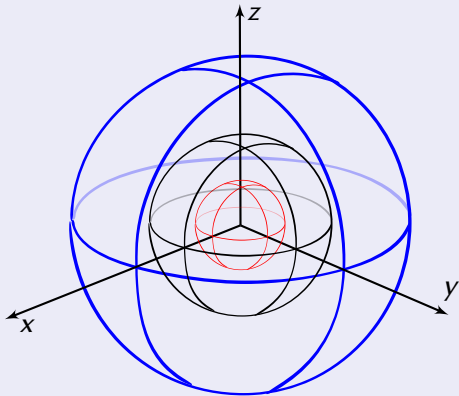
Pochodne  
kierunkowe.  
Izometria.

Krzywizna Gaussa I

Krzywizna Gaussa II

Theorema Egregium i  
Twierdzenie  
klasyfikacyjne

- ▶ elipsoida (w szczególności sfera o promieniu  $R$  jako przeciwobraz  $f^{-1}(R)$ , gdzie  $f(x, y, z) = x^2 + y^2 + z^2$ ).



- ▶ paraboloida ( $F(x, y, z) = x^2 + y^2 - z$ )
- ▶ hiperboloida (jedno i dwu-powłokowa:  
$$f(x) = \frac{x^2}{a^2} + \frac{y^2}{b^2} - \frac{z^2}{c^2}.$$

## Powierzchnie w $\mathbb{R}^3$

Podstawowe definicje

Przykłady powierzchni

Parametryzacja Monge'a

Powierzchnie obrotowe

Powierzchnie prostokątne

Poziome funkcje

Wektory styczne i  
normalne. I forma  
podstawowa

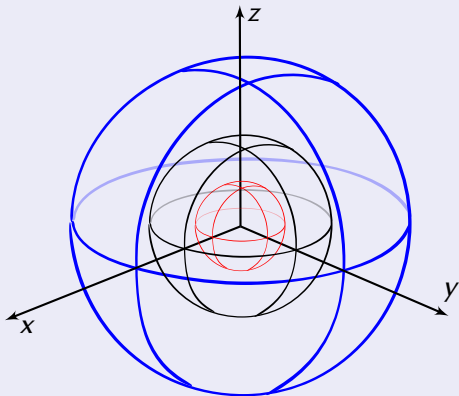
Pochodne  
kierunkowe.  
Izometria.

Krzywizna Gaussa I

Krzywizna Gaussa II

Theorema Egregium i  
Twierdzenie  
klasyfikacyjne

- ▶ elipsoida (w szczególności sfera o promieniu  $R$  jako przeciwobraz  $f^{-1}(R)$ , gdzie  $f(x, y, z) = x^2 + y^2 + z^2$ ).



- ▶ paraboloida ( $F(x, y, z) = x^2 + y^2 - z$ )
- ▶ hiperboloida (jedno i dwu-powłokowa:  
 $f(x) = \frac{x^2}{a^2} + \frac{y^2}{b^2} - \frac{z^2}{c^2}$ ).

## Powierzchnie w $\mathbb{R}^3$

Podstawowe definicje

Przykłady powierzchni

Parametryzacja Monge'a

Powierzchnie obrotowe

Powierzchnie prostokątne

Poziome funkcje

Wektory styczne i  
normalne. I forma  
podstawowa

Pochodne  
kierunkowe.  
Izometria.

Krzywizna Gaussa I

Krzywizna Gaussa II

Theorema Egregium i  
Twierdzenie  
klasyfikacyjne

## Wykład 6

# Wektory styczne i normalne. I forma podstawowa

## Powierzchnie w $\mathbb{R}^3$

### Wektory styczne i normalne. I forma podstawowa

Przestrzeń styczna

Wektor normalny

Powtórka z algebry liniowej I

I forma podstawowa

### Pochodne kierunkowe. Izometria.

### Krzywizna Gaussa I

### Krzywizna Gaussa II

### Theorema Egregium i Twierdzenie klasyfikacyjne

#### Powierzchnie w $\mathbb{R}^3$

#### Wektory styczne i normalne. I forma podstawowa

Przestrzeń styczna

Wektor normalny

Powtórka z algebry liniowej I

I forma podstawowa

#### Pochodne kierunkowe. Izometria.

#### Krzywizna Gaussa I

#### Krzywizna Gaussa II

#### Theorema Egregium i Twierdzenie klasyfikacyjne



## Uwaga

*Na każdej powierzchni mamy naturalnie dane dwie rodziny krzywych. Dla każdego ustalonego  $s_0 \in \mathbb{R}$  możemy rozpatrywać krzywą*

$$x(s_0, \cdot): \mathbb{R} \rightarrow \mathbb{R}^3.$$

*Podobnie dla dowolnego  $t_0$  mamy krzywą*

$$x(\cdot, t_0): \mathbb{R} \rightarrow \mathbb{R}^3.$$

*Krzywe te leżą na naszej powierzchni, a wektory styczne do tych krzywych będą grały bardzo ważną rolę w dalszych rozważaniach.*

Powierzchnie w  $\mathbb{R}^3$

Wektory styczne i normalne. I forma podstawowa

Przestrzeń styczna

Wektor normalny

Powtórka z algebry liniowej I

I forma podstawowa

Pochodne kierunkowe. Izometria.

Krzywizna Gaussa I

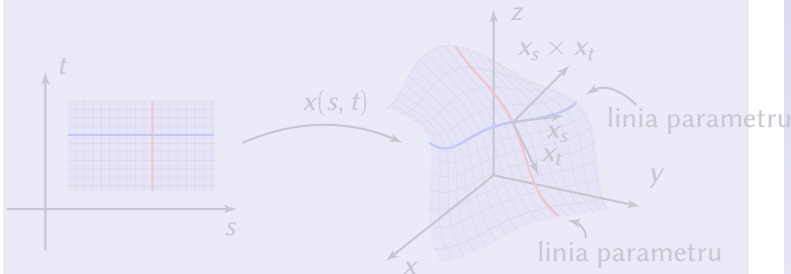
Krzywizna Gaussa II

Theorema Egregium i Twierdzenie klasyfikacyjne

## Definicja

Powyższe krzywe nazywamy **liniami parametru**. Jeśli oznaczmy punkt  $p = x(s_0, t_0)$  wtedy wektory do nich styczne w punkcie  $p$  oznaczamy przez

$$x_s(p) \stackrel{\text{def.}}{=} \frac{\partial x}{\partial s}(s, t_0) \Big|_{s=s_0}, \quad x_t(p) \stackrel{\text{def.}}{=} \frac{\partial x}{\partial t}(s_0, t) \Big|_{t=t_0}.$$



Powierzchnie w  $\mathbb{R}^3$

Wektory styczne i  
normalne. I forma  
podstawowa

Przestrzeń styczna

Wektor normalny

Powtórka z algebry liniowej I

I forma podstawowa

Pochodne  
kierunkowe.  
Izometria.

Krzywizna Gaussa I

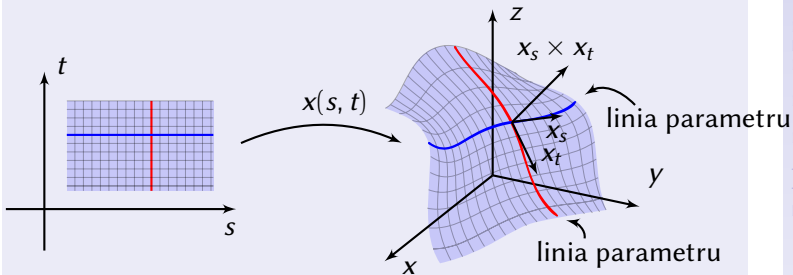
Krzywizna Gaussa II

Theorema Egregium i  
Twierdzenie  
klasyfikacyjne

## Definicja

Powyższe krzywe nazywamy **liniami parametru**. Jeśli oznaczmy punkt  $p = x(s_0, t_0)$  wtedy wektory do nich styczne w punkcie  $p$  oznaczamy przez

$$x_s(p) \stackrel{\text{def.}}{=} \frac{\partial x}{\partial s}(s, t_0) \Big|_{s=s_0}, \quad x_t(p) \stackrel{\text{def.}}{=} \frac{\partial x}{\partial t}(s_0, t) \Big|_{t=t_0}.$$



Powierzchnie w  $\mathbb{R}^3$

Wektory styczne i  
normalne. I forma  
podstawowa

Przestrzeń styczna

Wektor normalny

Powtórka z algebry liniowej I

I forma podstawowa

Pochodne  
kierunkowe.  
Izometria.

Krzywizna Gaussa I

Krzywizna Gaussa II

Theorema Egregium i  
Twierdzenie  
klasyfikacyjne



## Definicja

Niech  $\alpha_v: (-\varepsilon, \varepsilon) \rightarrow M \subset \mathbb{R}^3$  będzie krzywą gładką. Załóżmy, że  $\alpha_v(0) = p$ , oraz  $\alpha'_v(0) = v$ . Ustalmy punkt  $p \in M$  i rozważmy wszystkie tego typu krzywe  $\alpha_v$ . Wektory do nich styczne w punkcie  $p$  utworzą przestrzeń którą nazywamy **przestrzenią styczną** i oznaczamy  $T_p M$ .

## Uwaga

*Przestrzeń styczna jest faktycznie przestrzenią liniową, tj.*

- ▶ *Jeśli  $v \in T_p M$ , wtedy również  $av \in T_p M$  dla dowolnego  $a \in \mathbb{R}$ . Wynika to z reparametryzacji*

$$\alpha_{av}(t) = \alpha_v(at).$$

- ▶ *Addytywność (jeśli  $v, w \in T_p M$ , wówczas  $av + bw \in T_p M$ ) wynika z dowodu następnego lematu.*

## Definicja

Niech  $\alpha_v: (-\varepsilon, \varepsilon) \rightarrow M \subset \mathbb{R}^3$  będzie krzywą gładką. Załóżmy, że  $\alpha_v(0) = p$ , oraz  $\alpha'_v(0) = v$ . Ustalmy punkt  $p \in M$  i rozważmy wszystkie tego typu krzywe  $\alpha_v$ . Wektory do nich styczne w punkcie  $p$  utworzą przestrzeń którą nazywamy **przestrzenią styczną** i oznaczamy  $T_p M$ .

## Uwaga

*Przestrzeń styczna jest faktycznie przestrzenią liniową, tj.*

- ▶ *Jeśli  $v \in T_p M$ , wtedy również  $av \in T_p M$  dla dowolnego  $a \in \mathbb{R}$ . Wynika to z reparametryzacji*

$$\alpha_{av}(t) = \alpha_v(at).$$

- ▶ *Addytywność (jeśli  $v, w \in T_p M$ , wówczas  $av + bw \in T_p M$ ) wynika z dowodu następnego lematu.*

## Definicja

Niech  $\alpha_v: (-\varepsilon, \varepsilon) \rightarrow M \subset \mathbb{R}^3$  będzie krzywą gładką. Załóżmy, że  $\alpha_v(0) = p$ , oraz  $\alpha'_v(0) = v$ . Ustalmy punkt  $p \in M$  i rozważmy wszystkie tego typu krzywe  $\alpha_v$ . Wektory do nich styczne w punkcie  $p$  utworzą przestrzeń którą nazywamy **przestrzenią styczną** i oznaczamy  $T_p M$ .

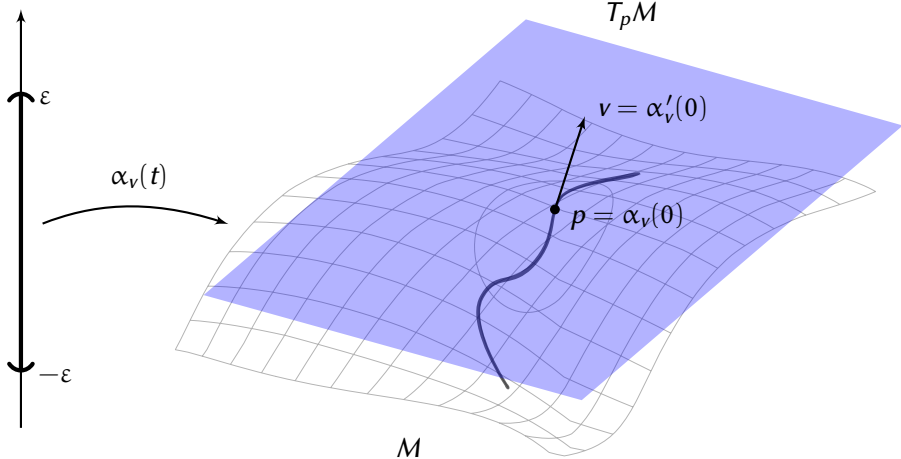
## Uwaga

*Przestrzeń styczna jest faktycznie przestrzenią liniową, tj.*

- ▶ *Jeśli  $v \in T_p M$ , wtedy również  $av \in T_p M$  dla dowolnego  $a \in \mathbb{R}$ . Wynika to z reparametryzacji*

$$\alpha_{av}(t) = \alpha_v(at).$$

- ▶ *Addytywność (jeśli  $v, w \in T_p M$ , wówczas  $av + bw \in T_p M$ ) wynika z dowodu następnego lematu.*











Rozważmy złożenie

pociąga równość pochodnych:

### Przestrzeń styczna

### Wektor normalny

## Powtórka z algebry liniowej I

I forma podstawowa











## Dowód:

Wystarczy udowodnić pierwszą część lematu.

Niech  $\langle x_s(p), x_t(p) \rangle_{\mathbb{R}}$  oznacza podprzestrzeń liniową w  $\mathbb{R}^3$  rozpiętą przez wektory  $x_s$  i  $x_t$ . Pokażemy, że każdy wektor z przestrzeni stycznej  $T_p M$  można przedstawić jako kombinację liniową wektorów stycznych do linii parametru.

Niech  $v \in T_p M$ . Z definicji przestrzeni stycznej istnieje krzywa  $\alpha_v: (-\varepsilon, \varepsilon) \rightarrow M \subset \mathbb{R}^3$  taka, że  $\alpha_v(0) = p$ ,  $\alpha'_v(0) = v \in T_p M$ .

Rozważmy złożenie

$$\beta \stackrel{\text{def.}}{=} x^{-1} \circ \alpha_v: (-\varepsilon, \varepsilon) \rightarrow U \subset \mathbb{R}^2$$

i niech  $\beta_1, \beta_2: (-\varepsilon, \varepsilon) \rightarrow \mathbb{R}$  będą funkcjami współrzędnych  $\beta$ . Wtedy równość funkcji

$$\alpha_v(t) = \underbrace{x \circ x^{-1}}_{\text{id}_{x(U)}} \circ \alpha_v(t) = x(\beta_1(t), \beta_2(t)),$$

pociąga równość pochodnych:



$$\begin{aligned}v &= \alpha'_v(t)|_{t=0} = x(\beta_1(t), \beta_2(t))'|_{t=0} = \\&= \frac{\partial x}{\partial \beta_1}(s_0, t_0)\beta'_1(t)|_{t=0} + \frac{\partial x}{\partial \beta_2}(s_0, t_0)\beta'_2(t)|_{t=0} = \\&= \beta'_1(0)x_s(s_0) + \beta'_2(0)x_t(t_0),\end{aligned}$$

co daje szukany rozkład  $v$  w bazie  $\{x_s, x_t\}$ .

Teraz przypuśćmy, że  $v = ax_s + bx_t$  dla pewnych  $a, b \in \mathbb{R}$ . Bez straty ogólności możemy założyć, że lokalny układ współrzędnych został w taki sposób wybrany, że  $x(0, 0) = p$  (dlaczego?). Zdefiniujmy krzywą  $\alpha: (-\varepsilon, \varepsilon) \rightarrow x(U)$  przez  $\alpha(t) = x(at, bt)$ . Proste przeliczenie pokazuje, że  $\alpha(0) = p$  i  $\alpha'(0) = ax_s + bx_t = v$ , czyli  $v$  należy do  $T_pM$ .  $\square$

$$\begin{aligned} v &= \alpha'_v(t)|_{t=0} = x(\beta_1(t), \beta_2(t))'|_{t=0} = \\ &= \frac{\partial x}{\partial \beta_1}(s_0, t_0) \beta'_1(t)|_{t=0} + \frac{\partial x}{\partial \beta_2}(s_0, t_0) \beta'_2(t)|_{t=0} = \\ &= \beta'_1(0) x_s(s_0) + \beta'_2(0) x_t(t_0), \end{aligned}$$

co daje szukany rozkład  $v$  w bazie  $\{x_s, x_t\}$ .

Teraz przypuśćmy, że  $v = ax_s + bx_t$  dla pewnych  $a, b \in \mathbb{R}$ . Bez straty ogólności możemy założyć, że lokalny układ współrzędnych został w taki sposób wybrany, że  $x(0, 0) = p$  (dlaczego?). Zdefiniujmy krzywą  $\alpha: (-\varepsilon, \varepsilon) \rightarrow x(U)$  przez  $\alpha(t) = x(at, bt)$ . Proste przeliczenie pokazuje, że  $\alpha(0) = p$  i  $\alpha'(0) = ax_s + bx_t = v$ , czyli  $v$  należy do  $T_p M$ .  $\square$

$$\begin{aligned}v &= \alpha'_v(t)|_{t=0} = x(\beta_1(t), \beta_2(t))'|_{t=0} = \\&= \frac{\partial x}{\partial \beta_1}(s_0, t_0)\beta'_1(t)|_{t=0} + \frac{\partial x}{\partial \beta_2}(s_0, t_0)\beta'_2(t)|_{t=0} = \\&= \beta'_1(0)x_s(s_0) + \beta'_2(0)x_t(t_0),\end{aligned}$$

co daje szukany rozkład  $v$  w bazie  $\{x_s, x_t\}$ .

Teraz przypuśćmy, że  $v = ax_s + bx_t$  dla pewnych  $a, b \in \mathbb{R}$ . Bez straty ogólności możemy założyć, że lokalny układ współrzędnych został w taki sposób wybrany, że  $x(0, 0) = p$  (dlaczego?). Zdefiniujmy krzywą  $\alpha: (-\varepsilon, \varepsilon) \rightarrow x(U)$  przez  $\alpha(t) = x(at, bt)$ . Proste przeliczenie pokazuje, że  $\alpha(0) = p$  i  $\alpha'(0) = ax_s + bx_t = v$ , czyli  $v$  należy do  $T_pM$ .  $\square$

$$\begin{aligned} v = \alpha'_v(t)|_{t=0} &= x(\beta_1(t), \beta_2(t))'|_{t=0} = \\ &= \frac{\partial x}{\partial \beta_1}(s_0, t_0) \beta'_1(t)|_{t=0} + \frac{\partial x}{\partial \beta_2}(s_0, t_0) \beta'_2(t)|_{t=0} = \\ &= \beta'_1(0) x_s(s_0) + \beta'_2(0) x_t(t_0), \end{aligned}$$

co daje szukany rozkład  $v$  w bazie  $\{x_s, x_t\}$ .

Teraz przypuśćmy, że  $v = ax_s + bx_t$  dla pewnych  $a, b \in \mathbb{R}$ . Bez straty ogólności możemy założyć, że lokalny układ współrzędnych został w taki sposób wybrany, że  $x(0, 0) = p$  (dlaczego?). Zdefiniujemy krzywą  $\alpha: (-\varepsilon, \varepsilon) \rightarrow x(U)$  przez  $\alpha(t) = x(at, bt)$ . Proste przeliczenie pokazuje, że  $\alpha(0) = p$  i  $\alpha'(0) = ax_s + bx_t = v$ , czyli  $v$  należy do  $T_p M$ .  $\square$

$$\begin{aligned} v &= \alpha'_v(t)|_{t=0} = x(\beta_1(t), \beta_2(t))'|_{t=0} = \\ &= \frac{\partial x}{\partial \beta_1}(s_0, t_0) \beta'_1(t)|_{t=0} + \frac{\partial x}{\partial \beta_2}(s_0, t_0) \beta'_2(t)|_{t=0} = \\ &= \beta'_1(0)x_s(s_0) + \beta'_2(0)x_t(t_0), \end{aligned}$$

co daje szukany rozkład  $v$  w bazie  $\{x_s, x_t\}$ .

Teraz przypuśćmy, że  $v = ax_s + bx_t$  dla pewnych  $a, b \in \mathbb{R}$ . Bez straty ogólności możemy założyć, że lokalny układ współrzędnych został w taki sposób wybrany, że  $x(0, 0) = p$  (dlaczego?). Zdefiniujemy krzywą  $\alpha: (-\varepsilon, \varepsilon) \rightarrow x(U)$  przez  $\alpha(t) = x(at, bt)$ . Proste przeliczenie pokazuje, że  $\alpha(0) = p$  i  $\alpha'(0) = ax_s + bx_t = v$ , czyli  $v$  należy do  $T_pM$ .  $\square$

Powierzchnie w  $\mathbb{R}^3$ Wektory styczne i  
normalne. I forma  
podstawowa

Przestrzeń styczna

Wektor normalny

Powtórka z algebry liniowej I

I forma podstawowa

Pochodne  
kierunkowe.  
Izometria.

Krzywizna Gaussa I

Krzywizna Gaussa II

Theorema Egregium i  
Twierdzenie  
klasyfikacyjne

$$\begin{aligned} v = \alpha'_v(t)|_{t=0} &= x(\beta_1(t), \beta_2(t))'|_{t=0} = \\ &= \frac{\partial x}{\partial \beta_1}(s_0, t_0) \beta'_1(t)|_{t=0} + \frac{\partial x}{\partial \beta_2}(s_0, t_0) \beta'_2(t)|_{t=0} = \\ &= \beta'_1(0) x_s(s_0) + \beta'_2(0) x_t(t_0), \end{aligned}$$

co daje szukany rozkład  $v$  w bazie  $\{x_s, x_t\}$ .

Teraz przypuśćmy, że  $v = ax_s + bx_t$  dla pewnych  $a, b \in \mathbb{R}$ . Bez straty ogólności możemy założyć, że lokalny układ współrzędnych został w taki sposób wybrany, że  $x(0, 0) = p$  (dlaczego?). Zdefiniujemy krzywą  $\alpha: (-\varepsilon, \varepsilon) \rightarrow x(U)$  przez  $\alpha(t) = x(at, bt)$ . Proste przeliczenie pokazuje, że  $\alpha(0) = p$  i  $\alpha'(0) = ax_s + bx_t = v$ , czyli  $v$  należy do  $T_p M$ .  $\square$



## Uwaga

*Zauważmy, że przestrzeń styczna nie ma ustalonej w kanoniczny sposób bazy. Wektory  $x_s$  i  $x_t$  ją rozpinające zależą od wybranego lokalnego układu współrzędnych. Natomiast niezależna od tego wyboru jest cała przestrzeń styczna, a więc i jej ortogonalne dopełnienie, które nazywać będziemy kierunkiem normalnym.*





# Powtórka z algebry liniowej I

Elementarna  
Geometria  
Różniczkowa

Opracowanie:  
Marek Kaluba

## Definicja

Niech  $V$  będzie przestrzenią liniową nad ciałem  $\mathbb{R}$ . **Forma dwuliniowa** na  $V$  to odwzorowanie

$$F: V \times V \rightarrow \mathbb{R},$$

które jest liniowe na każdej ze zmiennych, tj. spełnione są następujące równości

- ▶  $F(av + bw, z) = aF(v, z) + bF(w, z)$
- ▶  $F(v, aw + bz) = aF(v, w) + bF(v, z)$

dla wszystkich wektorów  $v, w, z \in V$  oraz wszystkich liczb rzeczywistych  $a, b \in \mathbb{R}$ .

Powierzchnie w  $\mathbb{R}^3$

Wektory styczne i normalne. I forma podstawowa

Przestrzeń styczna

Wektor normalny

Powtórka z algebry liniowej I

I forma podstawowa

Pochodne kierunkowe. Izometria.

Krzywizna Gaussa I

Krzywizna Gaussa II

Theorema Egregium i Twierdzenie klasyfikacyjne

# Powtórka z algebry liniowej I

Elementarna  
Geometria  
Różniczkowa

Opracowanie:  
Marek Kaluba

## Definicja

Niech  $V$  będzie przestrzenią liniową nad ciałem  $\mathbb{R}$ . **Forma dwuliniowa** na  $V$  to odwzorowanie

$$F: V \times V \rightarrow \mathbb{R},$$

które jest liniowe na każdej ze zmiennych, tj. spełnione są następujące równości

- ▶  $F(av + bw, z) = aB(v, z) + bB(w, z)$
- ▶  $F(v, aw + bz) = aB(v, w) + bB(v, z)$

dla wszystkich wektorów  $v, w, z \in V$  oraz wszystkich liczb rzeczywistych  $a, b \in \mathbb{R}$ .

Powierzchnie w  $\mathbb{R}^3$

Wektory styczne i normalne. I forma podstawowa

Przestrzeń styczna

Wektor normalny

Powtórka z algebry liniowej I

I forma podstawowa

Pochodne kierunkowe. Izometria.

Krzywizna Gaussa I

Krzywizna Gaussa II

Theorema Egregium i Twierdzenie klasyfikacyjne

## Definicja

Formę dwuliniową  $B$  nazywamy **symetryczną** jeśli

$$B(v, w) = B(w, v)$$

dla wszystkich  $v, w \in V$ .



## Przykład

Standardowy iloczyn skalarny  $\langle x, y \rangle = \sum x_i^2$  jest oczywiście formą dwuliniową. W standardowej bazie przestrzeni  $\mathbb{R}^n$  jego macierzą jest  $A = \text{Id}$ .



# I forma podstawowa

## Definicja

Niech  $M \subset \mathbb{R}^3$  będzie gładką powierzchnią i niech  $p \in M$  będzie punktem na niej. Dla powierzchni  $M$  definiujemy **pierwszą formę podstawową w punkcie  $p$**  jako formę dwuliniową

$$\begin{aligned} I_p: T_p M \times T_p M &\longrightarrow \mathbb{R} \\ (v, w) &\longmapsto \langle v, w \rangle, \end{aligned}$$

gdzie  $\langle \cdot, \cdot \rangle$  jest standardowym iloczynem skalarnym w  $\mathbb{R}^3$ . Oznaczamy ją symbolem  $I_p$ .

## Definicja

**Pierwsza forma podstawowa** powierzchni  $M$  to zależna w sposób ciągły od punktu  $p$  rodzina wszystkich form dwuliniowych

$$\mathcal{I}_M \stackrel{\text{def.}}{=} \{I_p\}_{p \in M}.$$

Od teraz wektory styczne do linii parametru będziemy nazywać  $x_1$  i  $x_2$  zamiast  $x_s$  i  $x_t$ . Niech  $x(s_0, t_0) = p$ .

## Definicja

**Pierwsza forma podstawowa** powierzchni  $M$  to zależna w sposób ciągły od punktu  $p$  rodzina wszystkich form dwuliniowych

$$\mathcal{I}_M \stackrel{\text{def.}}{=} \{I_p\}_{p \in M}.$$

Od teraz wektory styczne do linii parametru będziemy nazywać  $x_1$  i  $x_2$  zamiast  $x_s$  i  $x_t$ . Niech  $x(s_0, t_0) = p$ .



## Uwaga

*W każdym punkcie powierzchni macierz formy podstawowej to macierz wymiaru  $2 \times 2$ . Przy tak przyjętych oznaczeniach niech*

$$g_{ij}(s_0, t_0) \stackrel{\text{def.}}{=} \langle x_i(s_0), x_j(t_0) \rangle, \quad i, j = 1, 2.$$

*Wtedy macierz formy podstawowej w bazie  $\{x_1, x_2\}$ , w punkcie  $p$  ma postać*

$$I_p = \begin{bmatrix} g_{11}(s_0, t_0) & g_{12}(s_0, t_0) \\ g_{21}(s_0, t_0) & g_{22}(s_0, t_0) \end{bmatrix}$$

W przyszłości będziemy utożsamiać formę z jej macierzą w standardowej bazie przestrzeni stycznej.

Powierzchnie w  $\mathbb{R}^3$ Wektory styczne i  
normalne. I forma  
podstawowa

Przestrzeń styczna

Wektor normalny

Powtórka z algebry liniowej I

I forma podstawowa

Pochodne  
kierunkowe.  
Izometria.

Krzywizna Gaussa I

Krzywizna Gaussa II

Theorema Egregium i  
Twierdzenie  
klasyfikacyjne



## Przykład

Niech  $x: U \rightarrow \mathbb{R}^3$  będzie powierzchnią siodłową w parametryzacji Mongea.

$$x(s, t) = (s, t, st).$$

Wtedy

$$x_1(s, t) = (1, 0, t)$$

$$x_2(s, t) = (0, 1, s).$$

Biorąc odpowiednie iloczyny skalarne tych wektorów otrzymujemy następującą postać macierzy pierwszej formy podstawowej:

$$I_p = I_{x(s,t)} = \begin{bmatrix} 1+t^2 & st \\ st & 1+s^2 \end{bmatrix}$$

## Przykład

Niech  $x: U \rightarrow \mathbb{R}^3$  będzie powierzchnią siodłową w parametryzacji Mongea.

$$x(s, t) = (s, t, st).$$

Wtedy

$$x_1(s, t) = (1, 0, t)$$

$$x_2(s, t) = (0, 1, s).$$

Biorąc odpowiednie iloczyny skalarne tych wektorów otrzymujemy następującą postać macierzy pierwszej formy podstawowej:

$$I_p = I_{x(s,t)} = \begin{bmatrix} 1+t^2 & st \\ st & 1+s^2 \end{bmatrix}$$



## Przykład

Niech  $x: U \rightarrow \mathbb{R}^3$  będzie powierzchnią siodłową w parametryzacji Mongea.

$$x(s, t) = (s, t, st).$$

Wtedy

$$x_1(s, t) = (1, 0, t)$$

$$x_2(s, t) = (0, 1, s).$$

Biorąc odpowiednie iloczyny skalarne tych wektorów otrzymujemy następującą postać macierzy pierwszej formy podstawowej:

$$I_p = I_{x(s,t)} = \begin{bmatrix} 1+t^2 & st \\ st & 1+s^2 \end{bmatrix}$$

## Przykład

Niech  $x: U \rightarrow \mathbb{R}^3$  będzie powierzchnią siodłową w parametryzacji Mongea.

$$x(s, t) = (s, t, st).$$

Wtedy

$$x_1(s, t) = (1, 0, t) \qquad x_2(s, t) = (0, 1, s).$$

Biorąc odpowiednie iloczyny skalarne tych wektorów otrzymujemy następującą postać macierzy pierwszej formy podstawowej:

$$I_p = I_{x(s,t)} = \begin{bmatrix} 1 + t^2 & st \\ st & 1 + s^2 \end{bmatrix}$$

## Definicja

Elementy macierzy  $I_p$  nazywamy **współczynnikami metrycznymi** lokalnego układu współrzędnych  $x: U \rightarrow M$

## Uwaga

- ▶ Ponieważ  $\langle x_i, x_j \rangle = \langle x_j, x_i \rangle$ , więc  $I_p$  jest formą symetryczną ( $g_{12} = g_{21}$ ).
- ▶ Gauss (a za nim część podręczników) używał oznaczeń  $E, F$  i  $G$  na (odpowiednio)  $g_{11}, g_{12}$  i  $g_{22}$ .

Powierzchnie w  $\mathbb{R}^3$

Wektory styczne i normalne. I forma podstawowa

Przestrzeń styczna

Wektor normalny

Powtórka z algebry liniowej I

I forma podstawowa

Pochodne kierunkowe. Izometria.

Krzywizna Gaussa I

Krzywizna Gaussa II

Theorema Egregium i Twierdzenie klasyfikacyjne

## Definicja

Elementy macierzy  $I_p$  nazywamy **współczynnikami metrycznymi** lokalnego układu współrzędnych  $x: U \rightarrow M$

## Uwaga

- ▶ Ponieważ  $\langle x_i, x_j \rangle = \langle x_j, x_i \rangle$ , więc  $I_p$  jest formą symetryczną ( $g_{12} = g_{21}$ ).
- ▶ Gauss (a za nim część podręczników) używał oznaczeń  $E, F$  i  $G$  na (odpowienio)  $g_{11}, g_{12}$  i  $g_{22}$ .

Powierzchnie w  $\mathbb{R}^3$

Wektory styczne i normalne. I forma podstawowa

Przestrzeń styczna

Wektor normalny

Powtórka z algebry liniowej I

I forma podstawowa

Pochodne kierunkowe. Izometria.

Krzywizna Gaussa I

Krzywizna Gaussa II

Theorema Egregium i Twierdzenie klasyfikacyjne

## Definicja

Elementy macierzy  $I_p$  nazywamy **współczynnikami metrycznymi** lokalnego układu współrzędnych  $x: U \rightarrow M$

## Uwaga

- ▶ Ponieważ  $\langle x_i, x_j \rangle = \langle x_j, x_i \rangle$ , więc  $I_p$  jest formą symetryczną ( $g_{12} = g_{21}$ ).
- ▶ Gauss (a za nim część podręczników) używał oznaczeń  $E, F$  i  $G$  na (odpowienio)  $g_{11}, g_{12}$  i  $g_{22}$ .

Powierzchnie w  $\mathbb{R}^3$

Wektory styczne i normalne. I forma podstawowa

Przestrzeń styczna

Wektor normalny

Powtórka z algebry liniowej I

I forma podstawowa

Pochodne kierunkowe. Izometria.

Krzywizna Gaussa I

Krzywizna Gaussa II

Theorema Egregium i Twierdzenie klasyfikacyjne

## Definicja

Elementy macierzy  $I_p$  nazywamy **współczynnikami metrycznymi** lokalnego układu współrzędnych  $x: U \rightarrow M$

## Uwaga

- ▶ Ponieważ  $\langle x_i, x_j \rangle = \langle x_j, x_i \rangle$ , więc  $I_p$  jest formą symetryczną ( $g_{12} = g_{21}$ ).
- ▶ Gauss (a za nim część podręczników) używał oznaczeń  $E, F$  i  $G$  na (odpowienio)  $g_{11}, g_{12}$  i  $g_{22}$ .

Powierzchnie w  $\mathbb{R}^3$

Wektory styczne i normalne. I forma podstawowa

Przestrzeń styczna

Wektor normalny

Powtórka z algebry liniowej I

I forma podstawowa

Pochodne kierunkowe. Izometria.

Krzywizna Gaussa I

Krzywizna Gaussa II

Theorema Egregium i Twierdzenie klasyfikacyjne

## Lemat

Niech  $M \subset \mathbb{R}^3$  będzie gładką powierzchnią i niech  $x: U \rightarrow M$  będzie lokalnym układem współrzędnych. Wtedy

$$N = \frac{x_1 \times x_2}{\sqrt{\det(g_{ij})}}.$$

## Dowód:

Niech  $\varphi$  będzie kątem między  $x_1$  i  $x_2$ . Wtedy

$$\begin{aligned}\det(g_{ij}) &= g_{11}g_{22} - g_{12}^2 = \langle x_1, x_1 \rangle \langle x_2, x_2 \rangle - \langle x_1, x_2 \rangle^2 = \\ &= \|x_1\|^2 \|x_2\|^2 - \|x_1\|^2 \|x_2\|^2 \cos^2 \varphi = \\ &= \|x_1\|^2 \|x_2\|^2 (1 - \cos^2 \varphi) = \\ &= \|x_1\|^2 \|x_2\|^2 \sin^2 \varphi = \|x_1 \times x_2\|^2,\end{aligned}$$

i lemat wynika z definicji  $N$ .



## Lemat

Niech  $M \subset \mathbb{R}^3$  będzie gładką powierzchnią i niech  $x: U \rightarrow M$  będzie lokalnym układem współrzędnych. Wtedy

$$N = \frac{x_1 \times x_2}{\sqrt{\det(g_{ij})}}.$$

## Dowód:

Niech  $\varphi$  będzie kątem między  $x_1$  i  $x_2$ . Wtedy

$$\begin{aligned}\det(g_{ij}) &= g_{11}g_{22} - g_{12}^2 = \langle x_1, x_1 \rangle \langle x_2, x_2 \rangle - \langle x_1, x_2 \rangle^2 = \\ &= \|x_1\|^2 \|x_2\|^2 - \|x_1\|^2 \|x_2\|^2 \cos^2 \varphi = \\ &= \|x_1\|^2 \|x_2\|^2 (1 - \cos^2 \varphi) = \\ &= \|x_1\|^2 \|x_2\|^2 \sin^2 \varphi = \|x_1 \times x_2\|^2,\end{aligned}$$

i lemat wynika z definicji  $N$ .





## Lemat

Niech  $M \subset \mathbb{R}^3$  będzie gładką powierzchnią i niech  $x: U \rightarrow M$  będzie lokalnym układem współrzędnych. Wtedy

$$N = \frac{x_1 \times x_2}{\sqrt{\det(g_{ij})}}.$$

## Dowód:

Niech  $\varphi$  będzie kątem między  $x_1$  i  $x_2$ . Wtedy

$$\begin{aligned}\det(g_{ij}) &= g_{11}g_{22} - g_{12}^2 = \langle x_1, x_1 \rangle \langle x_2, x_2 \rangle - \langle x_1, x_2 \rangle^2 = \\ &= \|x_1\|^2 \|x_2\|^2 - \|x_1\|^2 \|x_2\|^2 \cos^2 \varphi = \\ &= \|x_1\|^2 \|x_2\|^2 (1 - \cos^2 \varphi) = \\ &= \|x_1\|^2 \|x_2\|^2 \sin^2 \varphi = \|x_1 \times x_2\|^2,\end{aligned}$$

i lemat wynika z definicji  $N$ .



## Lemat

Niech  $M \subset \mathbb{R}^3$  będzie gładką powierzchnią i niech  $x: U \rightarrow M$  będzie lokalnym układem współrzędnych. Wtedy

$$N = \frac{x_1 \times x_2}{\sqrt{\det(g_{ij})}}.$$

## Dowód:

Niech  $\varphi$  będzie kątem między  $x_1$  i  $x_2$ . Wtedy

$$\begin{aligned}\det(g_{ij}) &= g_{11}g_{22} - g_{12}^2 = \langle x_1, x_1 \rangle \langle x_2, x_2 \rangle - \langle x_1, x_2 \rangle^2 = \\ &= \|x_1\|^2 \|x_2\|^2 - \|x_1\|^2 \|x_2\|^2 \cos^2 \varphi = \\ &= \|x_1\|^2 \|x_2\|^2 (1 - \cos^2 \varphi) = \\ &= \|x_1\|^2 \|x_2\|^2 \sin^2 \varphi = \|x_1 \times x_2\|^2,\end{aligned}$$

i lemat wynika z definicji  $N$ .



## Lemat

Niech  $M \subset \mathbb{R}^3$  będzie gładką powierzchnią i niech  $x: U \rightarrow M$  będzie lokalnym układem współrzędnych. Wtedy

$$N = \frac{x_1 \times x_2}{\sqrt{\det(g_{ij})}}.$$

## Dowód:

Niech  $\varphi$  będzie kątem między  $x_1$  i  $x_2$ . Wtedy

$$\begin{aligned}\det(g_{ij}) &= g_{11}g_{22} - g_{12}^2 = \langle x_1, x_1 \rangle \langle x_2, x_2 \rangle - \langle x_1, x_2 \rangle^2 = \\ &= \|x_1\|^2 \|x_2\|^2 - \|x_1\|^2 \|x_2\|^2 \cos^2 \varphi = \\ &= \|x_1\|^2 \|x_2\|^2 (1 - \cos^2 \varphi) = \\ &= \|x_1\|^2 \|x_2\|^2 \sin^2 \varphi = \|x_1 \times x_2\|^2,\end{aligned}$$

i lemat wynika z definicji  $N$ .



## Lemat

Niech  $M \subset \mathbb{R}^3$  będzie gładką powierzchnią i niech  $x: U \rightarrow M$ ,  $y: V \rightarrow M$  będą lokalnymi układami współrzędnych. Załóżmy, że  $x(U) \cap y(V) \neq \emptyset$ . Niech  $(g_{ij})$ , [odpowiednio  $(\overline{g}_{ij})$ ] oznacza macierz współczynników metrycznych dla  $x$  [odpowiednio  $y$ ]. Jeśli przez  $J_\Phi$  oznaczymy Jakobian (macierz pochodnych) funkcji zmiany układu współrzędnych  $\Phi_{x,y}$  wtedy  $(\overline{g}_{ij})$  wyrażają się następującymi wzorami

$$(\overline{g}_{ij} \circ \Phi_{x,y}) = (J_\Phi^{-1})^T (g_{ij}) J_\Phi^{-1}$$

## Dowód:

Pomijamy. □

Powierzchnie w  $\mathbb{R}^3$ Wektory styczne i  
normalne. I forma  
podstawowa

Przestrzeń styczna

Wektor normalny

Powtórka z algebry liniowej I

I forma podstawowa

Pochodne  
kierunkowe.  
Izometria.

Krzywizna Gaussa I

Krzywizna Gaussa II

Theorema Egregium i  
Twierdzenie  
klasyfikacyjne











Jako przykład zastosowania pierwszej formy podstawowej mamy następujący lemat.

### Lemat

Niech  $M \subset \mathbb{R}^3$  będzie powierzchnią gładką i niech  $x: U \rightarrow M$  będzie lokalnym układem współrzędnych. Rozważmy krzywą gładką  $\alpha(t) = (\alpha_1(t), \alpha_2(t)) \subset U$ . Wtedy długość krzywej  $\bar{\alpha} \stackrel{\text{def.}}{=} x \circ \alpha: \mathbb{R} \rightarrow M$  na powierzchni jest równa

$$L(\bar{\alpha}) = \int_a^b \sqrt{I_{\alpha(t)}(\alpha'_1(t), \alpha'_2(t))} dt,$$

co można bezpośrednio zapisać:

$$\int_a^b \sqrt{(\alpha'_1)^2 g_{11}(\alpha(t)) + 2\alpha'_1 \alpha'_2 g_{12}(\alpha(t)) + (\alpha'_2)^2 g_{22}(\alpha(t))} dt.$$

### Dowód:

Ćwiczenie. Zauważyć, że  $(x \circ \alpha)(t)$  jest zwykłą krzywą w  $\mathbb{R}^3$ . Wektor prędkości jest równy  $x_1 \alpha'_1 + x_2 \alpha'_2$ . Znaleźć jego długość.

Jako przykład zastosowania pierwszej formy podstawowej mamy następujący lemat.

## Lemat

Niech  $M \subset \mathbb{R}^3$  będzie powierzchnią gładką i niech  $x: U \rightarrow M$  będzie lokalnym układem współrzędnych. Rozważmy krzywą gładką  $\alpha(t) = (\alpha_1(t), \alpha_2(t)) \subset U$ . Wtedy długość krzywej  $\bar{\alpha} \stackrel{\text{def.}}{=} x \circ \alpha: \mathbb{R} \rightarrow M$  na powierzchni jest równa

$$L(\bar{\alpha}) = \int_a^b \sqrt{I_{\alpha(t)}(\alpha'_1(t), \alpha'_2(t))} dt,$$

co można bezpośrednio zapisać:

$$\int_a^b \sqrt{(\alpha'_1)^2 g_{11}(\alpha(t)) + 2\alpha'_1 \alpha'_2 g_{12}(\alpha(t)) + (\alpha'_2)^2 g_{22}(\alpha(t))} dt.$$

## Dowód:

Ćwiczenie. Zauważyć, że  $(x \circ \alpha)(t)$  jest zwykłą krzywą w  $\mathbb{R}^3$ . Wektor prędkości jest równy  $x_1 \alpha'_1 + x_2 \alpha'_2$ . Znaleźć jego długość.

Jako przykład zastosowania pierwszej formy podstawowej mamy następujący lemat.

## Lemat

Niech  $M \subset \mathbb{R}^3$  będzie powierzchnią gładką i niech  $x: U \rightarrow M$  będzie lokalnym układem współrzędnych. Rozważmy krzywą gładką  $\alpha(t) = (\alpha_1(t), \alpha_2(t)) \subset U$ . Wtedy długość krzywej  $\bar{\alpha} \stackrel{\text{def.}}{=} x \circ \alpha: \mathbb{R} \rightarrow M$  na powierzchni jest równa

$$L(\bar{\alpha}) = \int_a^b \sqrt{I_{\alpha(t)}(\alpha'_1(t), \alpha'_2(t))} dt,$$

co można bezpośrednio zapisać:

$$\int_a^b \sqrt{(\alpha'_1)^2 g_{11}(\alpha(t)) + 2\alpha'_1 \alpha'_2 g_{12}(\alpha(t)) + (\alpha'_2)^2 g_{22}(\alpha(t))} dt.$$

## Dowód:

Ćwiczenie. Zauważyć, że  $(x \circ \alpha)(t)$  jest zwykłą krzywą w  $\mathbb{R}^3$ . Wektor prędkości jest równy  $x_1 \alpha'_1 + x_2 \alpha'_2$ . Znaleźć jego długość.

Jako przykład zastosowania pierwszej formy podstawowej mamy następujący lemat.

## Lemat

Niech  $M \subset \mathbb{R}^3$  będzie powierzchnią gładką i niech  $x: U \rightarrow M$  będzie lokalnym układem współrzędnych. Rozważmy krzywą gładką  $\alpha(t) = (\alpha_1(t), \alpha_2(t)) \subset U$ . Wtedy długość krzywej  $\bar{\alpha} \stackrel{\text{def.}}{=} x \circ \alpha: \mathbb{R} \rightarrow M$  na powierzchni jest równa

$$L(\bar{\alpha}) = \int_a^b \sqrt{I_{\alpha(t)}(\alpha'_1(t), \alpha'_2(t))} dt,$$

co można bezpośrednio zapisać:

$$\int_a^b \sqrt{(\alpha'_1)^2 g_{11}(\alpha(t)) + 2\alpha'_1 \alpha'_2 g_{12}(\alpha(t)) + (\alpha'_2)^2 g_{22}(\alpha(t))} dt.$$

## Dowód:

Ćwiczenie. Zauważyć, że  $(x \circ \alpha)(t)$  jest zwykłą krzywą w  $\mathbb{R}^3$ . Wektor prędkości jest równy  $x_1 \alpha'_1 + x_2 \alpha'_2$ . Znaleźć jego długość.

Jako przykład zastosowania pierwszej formy podstawowej mamy następujący lemat.

## Lemat

Niech  $M \subset \mathbb{R}^3$  będzie powierzchnią gładką i niech  $x: U \rightarrow M$  będzie lokalnym układem współrzędnych. Rozważmy krzywą gładką  $\alpha(t) = (\alpha_1(t), \alpha_2(t)) \subset U$ . Wtedy długość krzywej  $\bar{\alpha} \stackrel{\text{def.}}{=} x \circ \alpha: \mathbb{R} \rightarrow M$  na powierzchni jest równa

$$L(\bar{\alpha}) = \int_a^b \sqrt{I_{\alpha(t)}(\alpha'_1(t), \alpha'_2(t))} dt,$$

co można bezpośrednio zapisać:

$$\int_a^b \sqrt{(\alpha'_1)^2 g_{11}(\alpha(t)) + 2\alpha'_1 \alpha'_2 g_{12}(\alpha(t)) + (\alpha'_2)^2 g_{22}(\alpha(t))} dt.$$

## Dowód:

Ćwiczenie. Zauważyć, że  $(x \circ \alpha)(t)$  jest zwykłą krzywą w  $\mathbb{R}^3$ . Wektor prędkości jest równy  $x_1 \alpha'_1 + x_2 \alpha'_2$ . Znaleźć jego długość.

# Wykład 7

## Pochodne kierunkowe. Izometria.

Powierzchnie w  $\mathbb{R}^3$

Wektory styczne i normalne. I forma podstawowa

Pochodne kierunkowe. Izometria.

Pochodne kierunkowe

Izometria

Krzywizna Gaussa I

Krzywizna Gaussa II

Theorema Egregium i Twierdzenie klasyfikacyjne

Powierzchnie w  $\mathbb{R}^3$

Wektory styczne i  
normalne. I forma  
podstawowa

Pochodne  
kierunkowe.  
Izometria.

Pochodne kierunkowe

Izometria

Krzywizna Gaussa I

Krzywizna Gaussa II

Theorema Egregium i  
Twierdzenie  
klasyfikacyjne

Niech  $M \subset \mathbb{R}^3$  będzie powierzchnią gładką i niech  $p \in M$  będzie punktem na niej. Załóżmy, że mamy daną funkcję gładką  $f: M \rightarrow \mathbb{R}$  oraz wektor  $v \in T_p M$  z przestrzeni stycznej.

Z definicji przestrzeni stycznej istnieje krzywa  $\alpha: (-\varepsilon, \varepsilon) \rightarrow M$  taka że  $\alpha(0) = p$  oraz  $\alpha'(0) = v$ . Oczywiście złożenie  $f \circ \alpha: \mathbb{R} \rightarrow \mathbb{R}$  jest funkcją gładką, możemy więc rozważać jej pochodną.

## Definicja

Przy oznaczeniach jak powyżej definiujemy **pochodną kierunkową** funkcji  $f$  w **kierunku wektora**  $v$  jako

$$\nabla_v f \stackrel{\text{def.}}{=} (f \circ \alpha)'(0).$$

Powierzchnie w  $\mathbb{R}^3$ Wektory styczne i  
normalne. I forma  
podstawowaPochodne  
kierunkowe.  
Izometria.

Pochodne kierunkowe

Izometria

Krzywizna Gaussa I

Krzywizna Gaussa II

Theorema Egregium i  
Twierdzenie  
klasyfikacyjne



Niech  $M \subset \mathbb{R}^3$  będzie powierzchnią gładką i niech  $p \in M$  będzie punktem na niej. Załóżmy, że mamy daną funkcję gładką  $f: M \rightarrow \mathbb{R}$  oraz wektor  $v \in T_p M$  z przestrzeni stycznej. Z definicji przestrzeni stycznej istnieje krzywa  $\alpha: (-\varepsilon, \varepsilon) \rightarrow M$  taka że  $\alpha(0) = p$  oraz  $\alpha'(0) = v$ . Oczywiście złożenie  $f \circ \alpha: \mathbb{R} \rightarrow \mathbb{R}$  jest funkcją gładką, możemy więc rozważać jej pochodną.

## Definicja

Przy oznaczeniach jak powyżej definiujemy **pochodną kierunkową** funkcji  $f$  w **kierunku wektora**  $v$  jako

$$\nabla_v f \stackrel{\text{def.}}{=} (f \circ \alpha)'(0).$$

Powierzchnie w  $\mathbb{R}^3$ Wektory styczne i  
normalne. I forma  
podstawowaPochodne  
kierunkowe.  
Izometria.

Pochodne kierunkowe

Izometria

Krzywizna Gaussa I

Krzywizna Gaussa II

Theorema Egregium i  
Twierdzenie  
klasyfikacyjne

Niech  $M \subset \mathbb{R}^3$  będzie powierzchnią gładką i niech  $p \in M$  będzie punktem na niej. Załóżmy, że mamy daną funkcję gładką  $f: M \rightarrow \mathbb{R}$  oraz wektor  $v \in T_p M$  z przestrzeni stycznej. Z definicji przestrzeni stycznej istnieje krzywa  $\alpha: (-\varepsilon, \varepsilon) \rightarrow M$  taka że  $\alpha(0) = p$  oraz  $\alpha'(0) = v$ . Oczywiście złożenie  $f \circ \alpha: \mathbb{R} \rightarrow \mathbb{R}$  jest funkcją gładką, możemy więc rozważać jej pochodną.

## Definicja

Przy oznaczeniach jak powyżej definiujemy **pochodną kierunkową** funkcji  $f$  w **kierunku wektora**  $v$  jako

$$\nabla_v f \stackrel{\text{def.}}{=} (f \circ \alpha)'(0).$$

Powierzchnie w  $\mathbb{R}^3$ Wektory styczne i  
normalne. I forma  
podstawowaPochodne  
kierunkowe.  
Izometria.

Pochodne kierunkowe

Izometria

Krzywizna Gaussa I

Krzywizna Gaussa II

Theorema Egregium i  
Twierdzenie  
klasyfikacyjne

Niech  $M \subset \mathbb{R}^3$  będzie powierzchnią gładką i niech  $p \in M$  będzie punktem na niej. Załóżmy, że mamy daną funkcję gładką  $f: M \rightarrow \mathbb{R}$  oraz wektor  $v \in T_p M$  z przestrzeni stycznej. Z definicji przestrzeni stycznej istnieje krzywa  $\alpha: (-\varepsilon, \varepsilon) \rightarrow M$  taka że  $\alpha(0) = p$  oraz  $\alpha'(0) = v$ . Oczywiście złożenie  $f \circ \alpha: \mathbb{R} \rightarrow \mathbb{R}$  jest funkcją gładką, możemy więc rozważać jej pochodną.

## Definicja

Przy oznaczeniach jak powyżej definiujemy **pochodną kierunkową** funkcji  $f$  w kierunku wektora  $v$  jako

$$\nabla_v f \stackrel{\text{def.}}{=} (f \circ \alpha)'(0).$$

Powierzchnie w  $\mathbb{R}^3$ Wektory styczne i  
normalne. I forma  
podstawowaPochodne  
kierunkowe.  
Izometria.

Pochodne kierunkowe

Izometria

Krzywizna Gaussa I

Krzywizna Gaussa II

Theorema Egregium i  
Twierdzenie  
klasyfikacyjne









Zatem również

$$(x^{-1} \circ \alpha)'(0) = (x^{-1} \circ \beta)'(0).$$

## Mamy wtedy





Zatem również

$$(x^{-1} \circ \alpha)'(0) = (x^{-1} \circ \beta)'(0).$$

Mamy wtedy

$$\begin{aligned}(f \circ \alpha)'(0) &= [(f \circ x) \circ (x^{-1} \circ \alpha)]'(0) = \\ &= J(f \circ x) \underbrace{(x^{-1} \circ \alpha(0))}_{=p=(x^{-1} \circ \beta)(0)} \underbrace{(x^{-1} \circ \alpha)'(0)}_{=v=(x^{-1} \circ \beta)'(0)} = \\ &= J(f \circ x)(x^{-1} \circ \beta(0))(x^{-1} \circ \beta)'(0) = (f \circ \beta)'(0).\end{aligned}$$

Zatem również

$$(x^{-1} \circ \alpha)'(0) = (x^{-1} \circ \beta)'(0).$$

Mamy wtedy

$$\begin{aligned}(f \circ \alpha)'(0) &= [(f \circ x) \circ (x^{-1} \circ \alpha)]'(0) = \\ &= J(f \circ x) \underbrace{(x^{-1} \circ \alpha(0))}_{=p=(x^{-1} \circ \beta)(0)} \underbrace{(x^{-1} \circ \alpha)'(0)}_{=v=(x^{-1} \circ \beta)'(0)} = \\ &= J(f \circ x)(x^{-1} \circ \beta(0))(x^{-1} \circ \beta)'(0) = (f \circ \beta)'(0),\end{aligned}$$

gdzie  $J$  oznacza jacobian odwzorowania (macierz pochodnych cząstkowych). □

## Lemat

Niech  $M \subset \mathbb{R}^3$  będzie powierzchnią gładką i niech  $f, g: M \rightarrow \mathbb{R}$  będą funkcjami gładkimi. Dla wszystkich: punktów  $p \in M$ , wektorów  $v, w \in T_p M$  z przestrzeni stycznej w punkcie  $p$ , oraz liczb rzeczywistych  $a, b \in \mathbb{R}$  zachodzi

- ▶  $\nabla_{av+bw}f = a\nabla_vf + b\nabla_wf$
- ▶  $\nabla_v(af + bg) = a\nabla_vf + b\nabla_v(g)$
- ▶  $\nabla_v(fg) = g\nabla_vf + f\nabla_vg$

## Uwaga

Dwie pierwsze własności mówią, że  $\nabla$  jest operatorem liniowym ze względu na argument (funkcję) i kierunek (wektor).

Powierzchnie w  $\mathbb{R}^3$ 

Wektory styczne i normalne. I forma podstawowa

Pochodne kierunkowe. Izometria.

Pochodne kierunkowe

Izometria

Krzywizna Gaussa I

Krzywizna Gaussa II

Theorema Egregium i Twierdzenie klasyfikacyjne

## Lemat

Niech  $M \subset \mathbb{R}^3$  będzie powierzchnią gładką i niech  $f, g: M \rightarrow \mathbb{R}$  będą funkcjami gładkimi. Dla wszystkich: punktów  $p \in M$ , wektorów  $v, w \in T_p M$  z przestrzeni stycznej w punkcie  $p$ , oraz liczb rzeczywistych  $a, b \in \mathbb{R}$  zachodzi

- ▶  $\nabla_{av+bw}f = a\nabla_vf + b\nabla_wf$
- ▶  $\nabla_v(af + bg) = a\nabla_vf + b\nabla_v(g)$
- ▶  $\nabla_v(fg) = g\nabla_vf + f\nabla_vg$

## Uwaga

Dwie pierwsze własności mówią, że  $\nabla$  jest operatorem liniowym ze względu na argument (funkcję) i kierunek (wektor).

Powierzchnie w  $\mathbb{R}^3$ 

Wektory styczne i normalne. I forma podstawowa

Pochodne kierunkowe. Izometria.

Pochodne kierunkowe

Izometria

Krzywizna Gaussa I

Krzywizna Gaussa II

Theorema Egregium i Twierdzenie klasyfikacyjne

## Lemat

Niech  $M \subset \mathbb{R}^3$  będzie powierzchnią gładką i niech  $f, g: M \rightarrow \mathbb{R}$  będą funkcjami gładkimi. Dla wszystkich: punktów  $p \in M$ , wektorów  $v, w \in T_p M$  z przestrzeni stycznej w punkcie  $p$ , oraz liczb rzeczywistych  $a, b \in \mathbb{R}$  zachodzi

- ▶  $\nabla_{av+bw}f = a\nabla_vf + b\nabla_wf$
- ▶  $\nabla_v(af + bg) = a\nabla_vf + b\nabla_v(g)$
- ▶  $\nabla_v(fg) = g\nabla_vf + f\nabla_vg$

## Uwaga

Dwie pierwsze własności mówią, że  $\nabla$  jest operatorem liniowym ze względu na argument (funkcję) i kierunek (wektor).

Powierzchnie w  $\mathbb{R}^3$ 

Wektory styczne i normalne. I forma podstawowa

Pochodne kierunkowe. Izometria.

Pochodne kierunkowe

Izometria

Krzywizna Gaussa I

Krzywizna Gaussa II

Theorema Egregium i Twierdzenie klasyfikacyjne

## Lemat

Niech  $M \subset \mathbb{R}^3$  będzie powierzchnią gładką i niech  $f, g: M \rightarrow \mathbb{R}$  będą funkcjami gładkimi. Dla wszystkich: punktów  $p \in M$ , wektorów  $v, w \in T_p M$  z przestrzeni stycznej w punkcie  $p$ , oraz liczb rzeczywistych  $a, b \in \mathbb{R}$  zachodzi

- ▶  $\nabla_{av+bw}f = a\nabla_vf + b\nabla_wf$
- ▶  $\nabla_v(af + bg) = a\nabla_vf + b\nabla_v(g)$
- ▶  $\nabla_v(fg) = g\nabla_vf + f\nabla_vg$

## Uwaga

Dwie pierwsze własności mówią, że  $\nabla$  jest operatorem liniowym ze względu na argument (funkcję) i kierunek (wektor).

Powierzchnie w  $\mathbb{R}^3$ 

Wektory styczne i normalne. I forma podstawowa

Pochodne kierunkowe. Izometria.

Pochodne kierunkowe

Izometria

Krzywizna Gaussa I

Krzywizna Gaussa II

Theorema Egregium i Twierdzenie klasyfikacyjne

## Lemat

Niech  $M \subset \mathbb{R}^3$  będzie powierzchnią gładką i niech  $f, g: M \rightarrow \mathbb{R}$  będą funkcjami gładkimi. Dla wszystkich: punktów  $p \in M$ , wektorów  $v, w \in T_p M$  z przestrzeni stycznej w punkcie  $p$ , oraz liczb rzeczywistych  $a, b \in \mathbb{R}$  zachodzi

- ▶  $\nabla_{av+bw}f = a\nabla_vf + b\nabla_wf$
- ▶  $\nabla_v(af + bg) = a\nabla_vf + b\nabla_v(g)$
- ▶  $\nabla_v(fg) = g\nabla_vf + f\nabla_vg$

## Uwaga

Dwie pierwsze własności mówią, że  $\nabla$  jest operatorem liniowym ze względu na argument (funkcję) i kierunek (wektor).

Powierzchnie w  $\mathbb{R}^3$ 

Wektory styczne i normalne. I forma podstawowa

Pochodne kierunkowe. Izometria.

Pochodne kierunkowe

Izometria

Krzywizna Gaussa I

Krzywizna Gaussa II

Theorema Egregium i Twierdzenie klasyfikacyjne



## Dowód:

Własność drugą i trzecią pozostawiamy jako (proste) ćwiczenia. Wystarczy w nich skorzystać z podstawowych własności różniczkowania funkcji.

Udowodnimy teraz pierwszą własność.

Niech  $v = (v_1, v_2)$  oraz  $w = (w_1, w_2)$ . Bez straty ogólności możemy założyć, że  $x(0, 0) = p$ . Zdefiniujmy

$$\alpha_v(t) \stackrel{\text{def.}}{=} x(av_1t, av_2t) \qquad \alpha_w(t) \stackrel{\text{def.}}{=} x(bw_1t, bw_2t),$$

oraz niech

$$\beta(t) \stackrel{\text{def.}}{=} x((av_1 + bw_1)t, (av_2 + bw_2)t)$$

Wówczas pochodna  $\beta$  w  $t = 0$  jest równa

$$\beta'(t) \Big|_{t=0} = \underbrace{a(v_1x_1 + v_2x_2)}_{=\alpha'_v(0)} + \underbrace{b(w_1x_1 + w_2x_2)}_{=\alpha'_w(0)} = v + w.$$

## Dowód:

Własność drugą i trzecią pozostawiamy jako (proste) ćwiczenia. Wystarczy w nich skorzystać z podstawowych własności różniczkowania funkcji.

Udowodnimy teraz pierwszą własność.

Niech  $v = (v_1, v_2)$  oraz  $w = (w_1, w_2)$ . Bez straty ogólności możemy założyć, że  $x(0, 0) = p$ . Zdefiniujmy

$$\alpha_v(t) \stackrel{\text{def.}}{=} x(av_1t, av_2t) \qquad \alpha_w(t) \stackrel{\text{def.}}{=} x(bw_1t, bw_2t),$$

oraz niech

$$\beta(t) \stackrel{\text{def.}}{=} x((av_1 + bw_1)t, (av_2 + bw_2)t)$$

Wówczas pochodna  $\beta$  w  $t = 0$  jest równa

$$\beta'(t) \Big|_{t=0} = \underbrace{a(v_1x_1 + v_2x_2)}_{=\alpha'_v(0)} + \underbrace{b(w_1x_1 + w_2x_2)}_{=\alpha'_w(0)} = v + w.$$

## Dowód:

Własność drugą i trzecią pozostawiamy jako (proste) ćwiczenia. Wystarczy w nich skorzystać z podstawowych własności różniczkowania funkcji.

Udowodnimy teraz pierwszą własność.

Niech  $v = (v_1, v_2)$  oraz  $w = (w_1, w_2)$ . Bez straty ogólności możemy założyć, że  $x(0, 0) = p$ . Zdefiniujmy

$$\alpha_v(t) \stackrel{\text{def.}}{=} x(av_1t, av_2t) \qquad \alpha_w(t) \stackrel{\text{def.}}{=} x(bw_1t, bw_2t),$$

oraz niech

$$\beta(t) \stackrel{\text{def.}}{=} x((av_1 + bw_1)t, (av_2 + bw_2)t)$$

Wówczas pochodna  $\beta$  w  $t = 0$  jest równa

$$\beta'(t) \Big|_{t=0} = \underbrace{a(v_1x_1 + v_2x_2)}_{=\alpha'_v(0)} + \underbrace{b(w_1x_1 + w_2x_2)}_{=\alpha'_w(0)} = v + w.$$

## Dowód:

Własność drugą i trzecią pozostawiamy jako (proste) ćwiczenia. Wystarczy w nich skorzystać z podstawowych własności różniczkowania funkcji.

Udowodnimy teraz pierwszą własność.

Niech  $v = (v_1, v_2)$  oraz  $w = (w_1, w_2)$ . Bez straty ogólności możemy założyć, że  $x(0, 0) = p$ . Zdefiniujmy

$$\alpha_v(t) \stackrel{\text{def.}}{=} x(av_1t, av_2t) \qquad \alpha_w(t) \stackrel{\text{def.}}{=} x(bw_1t, bw_2t),$$

oraz niech

$$\beta(t) \stackrel{\text{def.}}{=} x((av_1 + bw_1)t, (av_2 + bw_2)t)$$

Wówczas pochodna  $\beta$  w  $t = 0$  jest równa

$$\beta'(t) \Big|_{t=0} = \underbrace{a(v_1x_1 + v_2x_2)}_{=\alpha'_v(0)} + \underbrace{b(w_1x_1 + w_2x_2)}_{=\alpha'_w(0)} = v + w.$$

## Dowód:

Własność drugą i trzecią pozostawiamy jako (proste) ćwiczenia. Wystarczy w nich skorzystać z podstawowych własności różniczkowania funkcji.

Udowodnimy teraz pierwszą własność.

Niech  $v = (v_1, v_2)$  oraz  $w = (w_1, w_2)$ . Bez straty ogólności możemy założyć, że  $x(0, 0) = p$ . Zdefiniujmy

$$\alpha_v(t) \stackrel{\text{def.}}{=} x(av_1t, av_2t) \qquad \alpha_w(t) \stackrel{\text{def.}}{=} x(bw_1t, bw_2t),$$

oraz niech

$$\beta(t) \stackrel{\text{def.}}{=} x((av_1 + bw_1)t, (av_2 + bw_2)t)$$

Wówczas pochodna  $\beta$  w  $t = 0$  jest równa

$$\beta'(t) \Big|_{t=0} = \underbrace{a(v_1x_1 + v_2x_2)}_{=\alpha'_v(0)} + \underbrace{b(w_1x_1 + w_2x_2)}_{=\alpha'_w(0)} = v + w.$$

Wtedy

$$\begin{aligned}\nabla_{av+bw}f &= (f \circ \beta)'(0) = \frac{\partial f(\beta(t))}{\partial \beta(t)} \beta'(t) \Big|_{t=0} = \\ &= a \frac{\partial f(\beta(0))}{\partial \beta(0)} (v_1 x_1 + v_2 x_2) + b \frac{\partial f(\beta(0))}{\partial \beta(0)} (w_1 x_1 + w_2 x_2) = \\ &= a \frac{\partial f(\alpha_v(0))}{\partial \alpha_v(0)} \alpha'_v(0) + b \frac{\partial f(\alpha_w(0))}{\partial \alpha_w(0)} \alpha'_w(0) = \\ &= a (f \circ \alpha_v)'(t) \Big|_{t=0} + b (f \circ \alpha_w)'(t) \Big|_{t=0} = a \nabla_v f + b \nabla_w f.\end{aligned}$$



Powierzchnie w  $\mathbb{R}^3$

Wektory styczne i  
normalne. I forma  
podstawowa

Pochodne  
kierunkowe.  
Izometria.

Pochodne kierunkowe

Izometria

Krzywizna Gaussa I

Krzywizna Gaussa II

Theorema Egregium i  
Twierdzenie  
klasyfikacyjne

Wtedy

$$\begin{aligned}\nabla_{av+bw}f &= (f \circ \beta)'(0) = \left. \frac{\partial f(\beta(t))}{\partial \beta(t)} \beta'(t) \right|_{t=0} = \\ &= a \frac{\partial f(\beta(0))}{\partial \beta(0)} (v_1 x_1 + v_2 x_2) + b \frac{\partial f(\beta(0))}{\partial \beta(0)} (w_1 x_1 + w_2 x_2) = \\ &= a \frac{\partial f(\alpha_v(0))}{\partial \alpha_v(0)} \alpha'_v(0) + b \frac{\partial f(\alpha_w(0))}{\partial \alpha_w(0)} \alpha'_w(0) = \\ &= a (f \circ \alpha_v)'(t) \Big|_{t=0} + b (f \circ \alpha_w)'(t) \Big|_{t=0} = a \nabla_v f + b \nabla_w f.\end{aligned}$$



Powierzchnie w  $\mathbb{R}^3$

Wektory styczne i  
normalne. I forma  
podstawowa

Pochodne  
kierunkowe.  
Izometria.

Pochodne kierunkowe

Izometria

Krzywizna Gaussa I

Krzywizna Gaussa II

Theorema Egregium i  
Twierdzenie  
klasyfikacyjne

Wtedy

$$\begin{aligned}\nabla_{av+bw}f &= (f \circ \beta)'(0) = \left. \frac{\partial f(\beta(t))}{\partial \beta(t)} \beta'(t) \right|_{t=0} = \\ &= a \frac{\partial f(\beta(0))}{\partial \beta(0)} (v_1 x_1 + v_2 x_2) + b \frac{\partial f(\beta(0))}{\partial \beta(0)} (w_1 x_1 + w_2 x_2) = \\ &= a \frac{\partial f(\alpha_v(0))}{\partial \alpha_v(0)} \alpha'_v(0) + b \frac{\partial f(\alpha_w(0))}{\partial \alpha_w(0)} \alpha'_w(0) = \\ &= a (f \circ \alpha_v)'(t) \Big|_{t=0} + b (f \circ \alpha_w)'(t) \Big|_{t=0} = a \nabla_v f + b \nabla_w f.\end{aligned}$$



Powierzchnie w  $\mathbb{R}^3$

Wektory styczne i  
normalne. I forma  
podstawowa

Pochodne  
kierunkowe.  
Izometria.

Pochodne kierunkowe

Izometria

Krzywizna Gaussa I

Krzywizna Gaussa II

Theorema Egregium i  
Twierdzenie  
klasyfikacyjne





## Definicja

Niech  $M \subset \mathbb{R}^3$  będzie powierzchnią gładką i niech  $f: M \rightarrow \mathbb{R}^3$  będzie odwzorowaniem gładkim (tj. polem wektorowym).

**Pochodną**  $f$  w punkcie  $p \in M$  definiujemy jako

$$Df_p: T_p M \rightarrow \mathbb{R}^3$$
$$v \mapsto \nabla_v f = (\nabla_v f_1, \nabla_v f_2, \nabla_v f_3).$$

## Lemat

Niech  $M, N \subset \mathbb{R}^3$  będą powierzchniami gładkimi,  $p \in M$  punktem, oraz niech  $f: M \rightarrow N$  będzie odwzorowaniem gładkim. Wtedy dla każdego  $v \in T_p M$  mamy  $Df_p(v) \in T_{f(p)} N$  oraz

$$Df_p: T_p M \rightarrow T_{f(p)} N$$

jest odwzorowaniem liniowym.

### Dowód:

Liniowość wynika natychmiast z liniowości pochodnej kierunkowej, (Lemat 7.3, punkt drugi) więc musimy tylko pokazać, że  $Df_p(v) \in T_{f(p)} N$ .

Powierzchnie w  $\mathbb{R}^3$ 

Wektory styczne i normalne. I forma podstawowa

Pochodne kierunkowe. Izometria.

Pochodne kierunkowe

Izometria

Krzywizna Gaussa I

Krzywizna Gaussa II

Theorema Egregium i Twierdzenie klasyfikacyjne

## Lemat

Niech  $M, N \subset \mathbb{R}^3$  będą powierzchniami gładkimi,  $p \in M$  punktem, oraz niech  $f: M \rightarrow N$  będzie odwzorowaniem gładkim. Wtedy dla każdego  $v \in T_p M$  mamy  $Df_p(v) \in T_{f(p)} N$  oraz

$$Df_p: T_p M \rightarrow T_{f(p)} N$$

jest odwzorowaniem liniowym.

## Dowód:

Liniowość wynika natychmiast z liniowości pochodnej kierunkowej, (Lemat 7.3, punkt drugi) więc musimy tylko pokazać, że  $Df_p(v) \in T_{f(p)} N$ .

Powierzchnie w  $\mathbb{R}^3$

Wektory styczne i normalne. I forma podstawowa

Pochodne kierunkowe. Izometria.

Pochodne kierunkowe

Izometria

Krzywizna Gaussa I

Krzywizna Gaussa II

Theorema Egregium i Twierdzenie klasyfikacyjne



Niech  $v \in T_p M$ . Wtedy istnieje taka krzywa  $\alpha: (-\varepsilon, \varepsilon) \rightarrow M$ ,  
że  $\alpha(0) = p$  oraz  $\alpha'(0) = v$ . Mamy wtedy

$$Df_p(v) = \nabla_v f = (f \circ \alpha)'(0).$$

Zauważmy, że krzywa

$$f \circ \alpha: (-\varepsilon, \varepsilon) \rightarrow N$$

jest krzywą na powierzchni  $N$ , oraz  $(f \circ \alpha)(0) = f(p)$ . Zatem z  
definicji przestrzeni stycznej otrzymujemy  
 $(f \circ \alpha)'(0) \in T_{f(p)} N$ , czyli  $Df_p(v) \in T_{f(p)} N$ . □

Powierzchnie w  $\mathbb{R}^3$ Wektory styczne i  
normalne. I forma  
podstawowaPochodne  
kierunkowe.  
Izometria.

Pochodne kierunkowe

Izometria

Krzywizna Gaussa I

Krzywizna Gaussa II

Theorema Egregium i  
Twierdzenie  
klasyfikacyjne

Niech  $v \in T_p M$ . Wtedy istnieje taka krzywa  $\alpha: (-\varepsilon, \varepsilon) \rightarrow M$ ,  
że  $\alpha(0) = p$  oraz  $\alpha'(0) = v$ . Mamy wtedy

$$Df_p(v) = \nabla_v f = (f \circ \alpha)'(0).$$

Zauważmy, że krzywa

$$f \circ \alpha: (-\varepsilon, \varepsilon) \rightarrow N$$

jest krzywą na powierzchni  $N$ , oraz  $(f \circ \alpha)(0) = f(p)$ . Zatem z  
definicji przestrzeni stycznej otrzymujemy  
 $(f \circ \alpha)'(0) \in T_{f(p)} N$ , czyli  $Df_p(v) \in T_{f(p)} N$ . □

Powierzchnie w  $\mathbb{R}^3$ Wektory styczne i  
normalne. I forma  
podstawowaPochodne  
kierunkowe.  
Izometria.

Pochodne kierunkowe

Izometria

Krzywizna Gaussa I

Krzywizna Gaussa II

Theorema Egregium i  
Twierdzenie  
klasyfikacyjne

Niech  $v \in T_p M$ . Wtedy istnieje taka krzywa  $\alpha: (-\varepsilon, \varepsilon) \rightarrow M$ ,  
że  $\alpha(0) = p$  oraz  $\alpha'(0) = v$ . Mamy wtedy

$$Df_p(v) = \nabla_v f = (f \circ \alpha)'(0).$$

Zauważmy, że krzywa

$$f \circ \alpha: (-\varepsilon, \varepsilon) \rightarrow N$$

jest krzywą na powierzchni  $N$ , oraz  $(f \circ \alpha)(0) = f(p)$ . Zatem z  
definicji przestrzeni stycznej otrzymujemy  
 $(f \circ \alpha)'(0) \in T_{f(p)} N$ , czyli  $Df_p(v) \in T_{f(p)} N$ . □

Powierzchnie w  $\mathbb{R}^3$ Wektory styczne i  
normalne. I forma  
podstawowaPochodne  
kierunkowe.  
Izometria.

Pochodne kierunkowe

Izometria

Krzywizna Gaussa I

Krzywizna Gaussa II

Theorema Egregium i  
Twierdzenie  
klasyfikacyjne



## Przykład

Rozważmy odwzorowanie  $f: \mathbb{R}^2 \rightarrow S^1 \times \mathbb{R}$  zadane wzorem

$$f(s, t) = (\cos s, \sin s, t).$$

(Jest to odwzorowanie które owija walec arkuszem papieru.)

Dla  $p = (0, 0) \in \mathbb{R}^2$  mamy  $f(p) = (1, 0, 0)$ . Zauważmy, że

$$T_{f(p)}(S^1 \times \mathbb{R}) = \{(1, y, z) : y, z \in \mathbb{R}\}.$$

Wybierzmy  $v = (a, b) \in T_p \mathbb{R}^2$  i niech  $\alpha: (-\varepsilon, \varepsilon) \rightarrow \mathbb{R}^2$  będzie zadana przez  $\alpha(t) = (at, bt)$ . Wtedy oczywiście

$$\alpha(0) = p, \quad \alpha'(0) = v, \quad \text{oraz} \quad f \circ \alpha(t) = (\cos at, \sin at, bt).$$

$$\begin{aligned} Df_p(v) &= \nabla_v f = (f \circ \alpha)' \big|_{t=0} = \\ &= (-a \sin at, a \cos at, b) \big|_{t=0} = (0, a, b). \end{aligned}$$

## Przykład

Rozważmy odwzorowanie  $f: \mathbb{R}^2 \rightarrow S^1 \times \mathbb{R}$  zadane wzorem

$$f(s, t) = (\cos s, \sin s, t).$$

(Jest to odwzorowanie które owija walec arkuszem papieru.)

Dla  $p = (0, 0) \in \mathbb{R}^2$  mamy  $f(p) = (1, 0, 0)$ . Zauważmy, że

$$T_{f(p)}(S^1 \times \mathbb{R}) = \{(1, y, z) : y, z \in \mathbb{R}\}.$$

Wybierzmy  $v = (a, b) \in T_p \mathbb{R}^2$  i niech  $\alpha: (-\varepsilon, \varepsilon) \rightarrow \mathbb{R}^2$  będzie zadana przez  $\alpha(t) = (at, bt)$ . Wtedy oczywiście

$$\alpha(0) = p, \quad \alpha'(0) = v, \quad \text{oraz} \quad f \circ \alpha(t) = (\cos at, \sin at, bt).$$

$$\begin{aligned} Df_p(v) &= \nabla_v f = (f \circ \alpha)'|_{t=0} = \\ &= (-a \sin at, a \cos at, b)|_{t=0} = (0, a, b). \end{aligned}$$

## Przykład

Rozważmy odwzorowanie  $f: \mathbb{R}^2 \rightarrow S^1 \times \mathbb{R}$  zadane wzorem

$$f(s, t) = (\cos s, \sin s, t).$$

(Jest to odwzorowanie które owija walec arkuszem papieru.)

Dla  $p = (0, 0) \in \mathbb{R}^2$  mamy  $f(p) = (1, 0, 0)$ . Zauważmy, że

$$T_{f(p)}(S^1 \times \mathbb{R}) = \{(1, y, z) : y, z \in \mathbb{R}\}.$$

Wybierzmy  $v = (a, b) \in T_p \mathbb{R}^2$  i niech  $\alpha: (-\varepsilon, \varepsilon) \rightarrow \mathbb{R}^2$  będzie zadana przez  $\alpha(t) = (at, bt)$ . Wtedy oczywiście

$$\alpha(0) = p, \quad \alpha'(0) = v, \quad \text{oraz} \quad f \circ \alpha(t) = (\cos at, \sin at, bt).$$

$$\begin{aligned} Df_p(v) &= \nabla_v f = (f \circ \alpha)'|_{t=0} = \\ &= (-a \sin at, a \cos at, b)|_{t=0} = (0, a, b). \end{aligned}$$

## Przykład

Rozważmy odwzorowanie  $f: \mathbb{R}^2 \rightarrow S^1 \times \mathbb{R}$  zadane wzorem

$$f(s, t) = (\cos s, \sin s, t).$$

(Jest to odwzorowanie które owija walec arkuszem papieru.)

Dla  $p = (0, 0) \in \mathbb{R}^2$  mamy  $f(p) = (1, 0, 0)$ . Zauważmy, że

$$T_{f(p)}(S^1 \times \mathbb{R}) = \{(1, y, z) : y, z \in \mathbb{R}\}.$$

Wybierzmy  $v = (a, b) \in T_p \mathbb{R}^2$  i niech  $\alpha: (-\varepsilon, \varepsilon) \rightarrow \mathbb{R}^2$  będzie zadana przez  $\alpha(t) = (at, bt)$ . Wtedy oczywiście

$$\alpha(0) = p, \quad \alpha'(0) = v, \quad \text{oraz} \quad f \circ \alpha(t) = (\cos at, \sin at, bt).$$

$$\begin{aligned} Df_p(v) &= \nabla_v f = (f \circ \alpha)'|_{t=0} = \\ &= (-a \sin at, a \cos at, b)|_{t=0} = (0, a, b). \end{aligned}$$

## Definicja

Niech  $M, N \subset \mathbb{R}^3$  będą gładkimi powierzchniami i niech  $f: M \rightarrow N$  będzie odwzorowaniem gładkim.

- ▶ Mówimy, że  $f$  jest **izometrią** jeśli  $f$  jest *dyfeomorfizmem*, oraz pierwsza forma podstawowa jest niezmiennicza ze względu na  $f$ , i.e.

$$I_p(v, w) = I_{f(p)}(Df_p(v), Df_p(w)),$$

dla wszystkich  $p \in M$  i wszystkich  $v, w \in T_p(M)$ .

- ▶ Funkcję  $f$  nazywamy **lokalną izometrią**, jeśli dla każdego punktu  $p \in M$  istnieje jego otoczenie otwarte  $U \subset M$  takie, że  $f(U) \subset N$  jest zbiorem otwartym (w  $N$ ), oraz  $f|_U: U \rightarrow f(U)$  jest izometrią.

Powierzchnie w  $\mathbb{R}^3$ Wektory styczne i  
normalne. I forma  
podstawowaPochodne  
kierunkowe.  
Izometria.

Pochodne kierunkowe

Izometria

Krzywizna Gaussa I

Krzywizna Gaussa II

Theorema Egregium i  
Twierdzenie  
klasyfikacyjne

## Definicja

Niech  $M, N \subset \mathbb{R}^3$  będą gładkimi powierzchniami i niech  $f: M \rightarrow N$  będzie odwzorowaniem gładkim.

- ▶ Mówimy, że  $f$  jest **izometrią** jeśli  $f$  jest *dyfeomorfizmem*, oraz pierwsza forma podstawowa jest niezmiennicza ze względu na  $f$ , i.e.

$$I_p(v, w) = I_{f(p)}(Df_p(v), Df_p(w)),$$

dla wszystkich  $p \in M$  i wszystkich  $v, w \in T_p(M)$ .

- ▶ Funkcję  $f$  nazywamy **lokalną izometrią**, jeśli dla każdego punktu  $p \in M$  istnieje jego otoczenie otwarte  $U \subset M$  takie, że  $f(U) \subset N$  jest zbiorem otwartym (w  $N$ ), oraz  $f|_U: U \rightarrow f(U)$  jest izometrią.

Powierzchnie w  $\mathbb{R}^3$ 

Wektory styczne i normalne. I forma podstawowa

Pochodne kierunkowe. Izometria.

Pochodne kierunkowe

Izometria

Krzywizna Gaussa I

Krzywizna Gaussa II

Theorema Egregium i Twierdzenie klasyfikacyjne

## Definicja

Niech  $M, N \subset \mathbb{R}^3$  będą gładkimi powierzchniami i niech  $f: M \rightarrow N$  będzie odwzorowaniem gładkim.

- ▶ Mówimy, że  $f$  jest **izometrią** jeśli  $f$  jest *dyfeomorfizmem*, oraz pierwsza forma podstawowa jest niezmiennicza ze względu na  $f$ , i.e.

$$I_p(v, w) = I_{f(p)}(Df_p(v), Df_p(w)),$$

dla wszystkich  $p \in M$  i wszystkich  $v, w \in T_p(M)$ .

- ▶ Funkcję  $f$  nazywamy **lokalną izometrią**, jeśli dla każdego punktu  $p \in M$  istnieje jego otoczenie otwarte  $U \subset M$  takie, że  $f(U) \subset N$  jest zbiorem otwartym (w  $N$ ), oraz  $f|_U: U \rightarrow f(U)$  jest izometrią.

Powierzchnie w  $\mathbb{R}^3$ Wektory styczne i  
normalne. I forma  
podstawowaPochodne  
kierunkowe.  
Izometria.

Pochodne kierunkowe

Izometria

Krzywizna Gaussa I

Krzywizna Gaussa II

Theorema Egregium i  
Twierdzenie  
klasyfikacyjne

## Uwaga

*Warto zauważyć, że izometria od lokalnej izometrii różni się tylko i wyłącznie tym, że lokalna izometria nie musi być dyfeomorfizmem całych przestrzeni. Jest to niewielka, lecz jak zobaczymy ważna różnica.*

















## Dowód:

Udowodnimy tylko, że lokalna izometria zachowuje współczynniki metryczne. Resztę implikacji pozostawiamy jako (opcjonalne) zadania.

Niech  $x: U \rightarrow M$  będzie lokalnym układem współrzędnych wokół  $p \in M$ .

(2)  $\Rightarrow$  (3): Pokażemy, że pochodna złożenia  $f \circ x$  ma rangę 2, więc z twierdzenia o funkcji uwikłanej wynika, że  $f \circ x$  na pewnym otoczeniu  $V \subset U$  jest dyfeomorfizmem na swój obraz.

Niech  $\{e_1, e_2\}$  będzie standardową bazą w  $\mathbb{R}^2$ .

Niech  $q \in x(U)$  oraz niech  $\bar{q} = x^{-1}(q)$ .

Zdefiniujmy teraz krzywe

$$\alpha_{q,i}(t) = x(\bar{q} + te_i), \quad i = 1, 2,$$

działające z  $(-\varepsilon, \varepsilon) \rightarrow x(U)$  dla odpowiednio małego  $\varepsilon$ .





## Dowód:

Udowodnimy tylko, że lokalna izometria zachowuje współczynniki metryczne. Resztę implikacji pozostawiamy jako (opcjonalne) zadania.

Niech  $x: U \rightarrow M$  będzie lokalnym układem współrzędnych wokół  $p \in M$ .

(2)  $\Rightarrow$  (3): Pokażemy, że pochodna złożenia  $f \circ x$  ma rangę 2, więc z twierdzenia o funkcji uwikłanej wynika, że  $f \circ x$  na pewnym otoczeniu  $V \subset U$  jest dyfeomorfizmem na swój obraz.

Niech  $\{e_1, e_2\}$  będzie standardową bazą w  $\mathbb{R}^2$ . Niech  $q \in x(U)$  oraz niech  $\bar{q} = x^{-1}(q)$ .

Zdefiniujmy teraz krzywe

$$\alpha_{q,i}(t) = x(\bar{q} + te_i), \quad i = 1, 2,$$

działające z  $(-\varepsilon, \varepsilon) \rightarrow x(U)$  dla odpowiednio małego  $\varepsilon$ .

## Dowód:

Udowodnimy tylko, że lokalna izometria zachowuje współczynniki metryczne. Resztę implikacji pozostawiamy jako (opcjonalne) zadania.

Niech  $x: U \rightarrow M$  będzie lokalnym układem współrzędnych wokół  $p \in M$ .

(2)  $\Rightarrow$  (3): Pokażemy, że pochodna złożenia  $f \circ x$  ma rangę 2, więc z twierdzenia o funkcji uwikłanej wynika, że  $f \circ x$  na pewnym otoczeniu  $V \subset U$  jest dyfeomorfizmem na swój obraz. Niech  $\{e_1, e_2\}$  będzie standardową bazą w  $\mathbb{R}^2$ . Niech  $q \in x(U)$  oraz niech  $\bar{q} = x^{-1}(q)$ . Zdefiniujmy teraz krzywe

$$\alpha_{q,i}(t) = x(\bar{q} + te_i), \quad i = 1, 2,$$

działające z  $(-\varepsilon, \varepsilon) \rightarrow x(U)$  dla odpowiednio małego  $\varepsilon$ .

Z definicji  $\alpha_{q,i}$  wiemy, że:

$$\alpha_{q,i}(0) = q, \quad \alpha'_{q,i}(0) = x_i,$$

natomiast z reguły łańcuchowej wynika, że

$$f \circ \alpha_{q,i}(0) = f(q), \quad (f \circ \alpha_{q,i})'(0) = (f \circ x)_i,$$

gdzie wartości pochodnych  $x_i$  oraz  $(f \circ x)_i$  są wzięte dla  $\bar{q} \subset U$ .

Ponownie z definicji uzyskujemy

$$(f \circ x)_i = (f \circ \alpha_{q,i})'(0) = \nabla_{x_i} f = Df_q(x_i),$$

więc korzystając z założenia mamy

$$\langle (f \circ x)_i, (f \circ x)_j \rangle = \langle Df_q(x_i), Df_q(x_j) \rangle = \langle x_i, x_j \rangle$$

dla wszystkich  $i, j = 1, 2$ .

Z definicji  $\alpha_{q,i}$  wiemy, że:

$$\alpha_{q,i}(0) = q, \quad \alpha'_{q,i}(0) = x_i,$$

natomiast z reguły łańcuchowej wynika, że

$$f \circ \alpha_{q,i}(0) = f(q), \quad (f \circ \alpha_{q,i})'(0) = (f \circ x)_i,$$

gdzie wartości pochodnych  $x_i$  oraz  $(f \circ x)_i$  są wzięte dla  $\bar{q} \subset U$ .  
Ponownie z definicji uzyskujemy

$$(f \circ x)_i = (f \circ \alpha_{q,i})'(0) = \nabla_{x_i} f = Df_q(x_i),$$

więc korzystając z założenia mamy

$$\langle (f \circ x)_i, (f \circ x)_j \rangle = \langle Df_q(x_i), Df_q(x_j) \rangle = \langle x_i, x_j \rangle$$

dla wszystkich  $i, j = 1, 2$ .

Z definicji  $\alpha_{q,i}$  wiemy, że:

$$\alpha_{q,i}(0) = q, \quad \alpha'_{q,i}(0) = x_i,$$

natomiast z reguły łańcuchowej wynika, że

$$f \circ \alpha_{q,i}(0) = f(q), \quad (f \circ \alpha_{q,i})'(0) = (f \circ x)_i,$$

gdzie wartości pochodnych  $x_i$  oraz  $(f \circ x)_i$  są wzięte dla  $\bar{q} \subset U$ .  
Ponownie z definicji uzyskujemy

$$(f \circ x)_i = (f \circ \alpha_{q,i})'(0) = \nabla_{x_i} f = Df_q(x_i),$$

więc korzystając z założenia mamy

$$\langle (f \circ x)_i, (f \circ x)_j \rangle = \langle Df_q(x_i), Df_q(x_j) \rangle = \langle x_i, x_j \rangle$$

dla wszystkich  $i, j = 1, 2$ .









$$\langle (f \circ x)_i, (f \circ x)_i \rangle = \langle Df_q(x_i), Df_q(x_j) \rangle = \langle x_i, x_j \rangle$$

- ▶ Zatem  $\|(f \circ x)_i\| = \|x_i\|$  i kąt między  $(f \circ x)_1$  i  $(f \circ x)_2$  jest taki sam jak między  $x_1$  i  $x_2$ .
- ▶ Stąd  $(f \circ x)_1$  i  $(f \circ x)_2$  są liniowo niezależne (na odp. małym  $V \subset U$ ).
- ▶ Zatem  $f \circ x: V \rightarrow N$  jest lokalnym układem współrzędnych (tw. o funkcji uwikłanej),
- ▶ Współczynniki metryczne  $f \circ x$  są takie same jak samego  $x$  (powyższa równość).



Powierzchnie w  $\mathbb{R}^3$

Wektory styczne i normalne. I forma podstawowa

Pochodne kierunkowe. Izometria.

Pochodne kierunkowe  
Izometria

Krzywizna Gaussa I

Krzywizna Gaussa II

Theorema Egregium i Twierdzenie klasyfikacyjne

## Przykład

Pokażemy teraz, że funkcja  $f: \mathbb{R}^2 \rightarrow S^1 \times \mathbb{R}$  określona przez

$$f(s, t) = (\cos s, \sin s, t)$$

jest lokalną izometrią (ale oczywiście nie jest izometrią).

Niech  $p = (p_1, p_2) \in \mathbb{R}^2$  oraz niech  $U = (p_1 - \pi, p_1 + \pi) \times \mathbb{R}$ .  
Wtedy inkluzja  $x: U \rightarrow \mathbb{R}^2$  jest lokalnym układem  
współrzędnych w  $\mathbb{R}^2$ , oraz  $f \circ x: U \rightarrow S^1 \times \mathbb{R}$  jest injekcją. Co  
więcej mamy

$$(f \circ x)_1 = (-\sin s, \cos s, 0) \quad \text{oraz} \quad (f \circ x)_2 = (0, 0, 1),$$

więc

$$(f \circ x)_1 \times (f \circ x)_2 = (\cos s, \sin s, 0) \neq (0, 0, 0)$$

czyli  $f \circ x$  jest lokalnym układem współrzędnych.

## Przykład

Pokażemy teraz, że funkcja  $f: \mathbb{R}^2 \rightarrow S^1 \times \mathbb{R}$  określona przez

$$f(s, t) = (\cos s, \sin s, t)$$

jest lokalną izometrią (ale oczywiście nie jest izometrią).

Niech  $p = (p_1, p_2) \in \mathbb{R}^2$  oraz niech  $U = (p_1 - \pi, p_1 + \pi) \times \mathbb{R}$ .

Wtedy inkluzja  $x: U \rightarrow \mathbb{R}^2$  jest lokalnym układem współrzędnych w  $\mathbb{R}^2$ , oraz  $f \circ x: U \rightarrow S^1 \times \mathbb{R}$  jest injekcją. Co więcej mamy

$$(f \circ x)_1 = (-\sin s, \cos s, 0) \quad \text{oraz} \quad (f \circ x)_2 = (0, 0, 1),$$

więc

$$(f \circ x)_1 \times (f \circ x)_2 = (\cos s, \sin s, 0) \neq (0, 0, 0)$$

czyli  $f \circ x$  jest lokalnym układem współrzędnych.

## Przykład

Pokażemy teraz, że funkcja  $f: \mathbb{R}^2 \rightarrow S^1 \times \mathbb{R}$  określona przez

$$f(s, t) = (\cos s, \sin s, t)$$

jest lokalną izometrią (ale oczywiście nie jest izometrią).

Niech  $p = (p_1, p_2) \in \mathbb{R}^2$  oraz niech  $U = (p_1 - \pi, p_1 + \pi) \times \mathbb{R}$ . Wtedy inkluzja  $x: U \rightarrow \mathbb{R}^2$  jest lokalnym układem współrzędnych w  $\mathbb{R}^2$ , oraz  $f \circ x: U \rightarrow S^1 \times \mathbb{R}$  jest injekcją. Co więcej mamy

$$(f \circ x)_1 = (-\sin s, \cos s, 0) \quad \text{oraz} \quad (f \circ x)_2 = (0, 0, 1),$$

więc

$$(f \circ x)_1 \times (f \circ x)_2 = (\cos s, \sin s, 0) \neq (0, 0, 0)$$

czyli  $f \circ x$  jest lokalnym układem współrzędnych.









Powierzchnie w  $\mathbb{R}^3$

Wektory styczne i  
normalne. I forma  
podstawowa

Pochodne  
kierunkowe.  
Izometria.

Krzywizna Gaussa I

Odwzorowanie Gaussa

Krzywizna Gaussa – Idea

Pole powierzchni

Powtórka z algebry liniowej II

Krzywizna Gaussa II

Theorema Egregium i  
Twierdzenie  
klasyfikacyjne

# Wykład 8

## Krzywizna Gaussa I

Powierzchnie w  $\mathbb{R}^3$

Wektory styczne i normalne. I forma podstawowa

Pochodne kierunkowe. Izometria.

Krzywizna Gaussa I

Odwzorowanie Gaussa

Krzywizna Gaussa – Idea

Pole powierzchni

Powtórka z algebry liniowej II

Krzywizna Gaussa II

Theorema Egregium i Twierdzenie klasyfikacyjne

Powierzchnie w  $\mathbb{R}^3$

Wektory styczne i  
normalne. I forma  
podstawowa

Pochodne  
kierunkowe.  
Izometria.

Krzywizna Gaussa I

Odwzorowanie Gaussa

Krzywizna Gaussa – Idea

Pole powierzchni

Powtórka z algebry liniowej II

Krzywizna Gaussa II

Theorema Egregium i  
Twierdzenie  
klasyfikacyjne

Tak jak został zdefiniowany wektor normalny (jako  $\frac{x_1 \times x_2}{\|x_1 \times x_2\|}$ , definicja 6.4), jest on raczej funkcją z  $\mathbb{R}^2 \rightarrow \mathbb{R}^3$  (lub  $\mathbb{R}^2 \rightarrow S^2$ ).

Jednak dla celów dalszego wykładu chcielibyśmy, aby był funkcją gładką określoną *na powierzchni*. Stąd następująca definicja:

### Definicja

Niech  $M \subset \mathbb{R}^3$  będzie powierzchnią gładką, oraz niech  $x: U \rightarrow M$  będzie lokalnym układem współrzędnych.

**Odwzorowaniem Gaussa** nazywamy odwzorowanie

$\hat{n}: x(U) \rightarrow S^2$  zadane wzorem

$$\hat{n}(p) \stackrel{\text{def.}}{=} n \circ x^{-1}(p),$$

gdzie  $n = \frac{x_1 \times x_2}{\|x_1 \times x_2\|}$ .

Powierzchnie w  $\mathbb{R}^3$ Wektory styczne i  
normalne. I forma  
podstawowaPochodne  
kierunkowe.  
Izometria.

Krzywizna Gaussa I

Odwzorowanie Gaussa

Krzywizna Gaussa – Idea

Pole powierzchni

Powtórka z algebry liniowej II

Krzywizna Gaussa II

Theorema Egregium i  
Twierdzenie  
klasyfikacyjne

Tak jak został zdefiniowany wektor normalny (jako  $\frac{x_1 \times x_2}{\|x_1 \times x_2\|}$ , definicja 6.4), jest on raczej funkcją z  $\mathbb{R}^2 \rightarrow \mathbb{R}^3$  (lub  $\mathbb{R}^2 \rightarrow S^2$ ). Jednak dla celów dalszego wykładu chcielibyśmy, aby był funkcją gładką określoną *na powierzchni*. Stąd następująca definicja:

### Definicja

Niech  $M \subset \mathbb{R}^3$  będzie powierzchnią gładką, oraz niech  $x: U \rightarrow M$  będzie lokalnym układem współrzędnych.

**Odwzorowaniem Gaussa** nazywamy odwzorowanie

$\hat{n}: x(U) \rightarrow S^2$  zadane wzorem

$$\hat{n}(p) \stackrel{\text{def.}}{=} n \circ x^{-1}(p),$$

gdzie  $n = \frac{x_1 \times x_2}{\|x_1 \times x_2\|}$ .

Powierzchnie w  $\mathbb{R}^3$ Wektory styczne i  
normalne. I forma  
podstawowaPochodne  
kierunkowe.  
Izometria.

Krzywizna Gaussa I

Odwzorowanie Gaussa

Krzywizna Gaussa – Idea

Pole powierzchni

Powtórka z algebry liniowej II

Krzywizna Gaussa II

Theorema Egregium i  
Twierdzenie  
klasyfikacyjne

Tak jak został zdefiniowany wektor normalny (jako  $\frac{x_1 \times x_2}{\|x_1 \times x_2\|}$ , definicja 6.4), jest on raczej funkcją z  $\mathbb{R}^2 \rightarrow \mathbb{R}^3$  (lub  $\mathbb{R}^2 \rightarrow S^2$ ). Jednak dla celów dalszego wykładu chcielibyśmy, aby był funkcją gładką określoną *na powierzchni*. Stąd następująca definicja:

## Definicja

Niech  $M \subset \mathbb{R}^3$  będzie powierzchnią gładką, oraz niech  $x: U \rightarrow M$  będzie lokalnym układem współrzędnych.

**Odwzorowaniem Gaussa** nazywamy odwzorowanie  $\hat{n}: x(U) \rightarrow S^2$  zadane wzorem

$$\hat{n}(p) \stackrel{\text{def.}}{=} n \circ x^{-1}(p),$$

gdzie  $n = \frac{x_1 \times x_2}{\|x_1 \times x_2\|}$ .

## Uwaga

- ▶ Dla różnych lokalnych układów współrzędnych dobrze określony jest tylko kierunek normalny, (a więc  $\pm n$ , znak zależy od wyboru kolejności zmiennych  $u$  i  $v$ ).  
Przyjmujemy że wybieramy kierunek “zewnątrzny” (o ile ma to sens).
- ▶ Odwzorowanie Gaussa zależy od tego w jaki sposób powierzchnia  $M$  jest umieszczona w  $\mathbb{R}^3$  (od lokalnego układu współrzędnych).

Powierzchnie w  $\mathbb{R}^3$

Wektory styczne i normalne. I forma podstawowa

Pochodne kierunkowe. Izometria.

Krzywizna Gaussa I

Odwzorowanie Gaussa

Krzywizna Gaussa – Idea

Pole powierzchni

Powtórka z algebry liniowej II

Krzywizna Gaussa II

Theorema Egregium i Twierdzenie klasyfikacyjne

## Uwaga

- ▶ Dla różnych lokalnych układów współrzędnych dobrze określony jest tylko kierunek normalny, (a więc  $\pm n$ , znak zależy od wyboru kolejności zmiennych  $u$  i  $v$ ).  
Przyjmujemy że wybieramy kierunek “zewnątrzny” (o ile ma to sens).
- ▶ Odwzorowanie Gaussa zależy od tego w jaki sposób powierzchnia  $M$  jest umieszczona w  $\mathbb{R}^3$  (od lokalnego układu współrzędnych).

Powierzchnie w  $\mathbb{R}^3$

Wektory styczne i normalne. I forma podstawowa

Pochodne kierunkowe. Izometria.

Krzywizna Gaussa I

Odwzorowanie Gaussa

Krzywizna Gaussa – Idea

Pole powierzchni

Powtórka z algebry liniowej II

Krzywizna Gaussa II

Theorema Egregium i Twierdzenie klasyfikacyjne

## Uwaga

- ▶ Dla różnych lokalnych układów współrzędnych dobrze określony jest tylko kierunek normalny, (a więc  $\pm n$ , znak zależy od wyboru kolejności zmiennych  $u$  i  $v$ ).  
Przyjmujemy że wybieramy kierunek “zewnątrzny” (o ile ma to sens).
- ▶ Odwzorowanie Gaussa zależy od tego w jaki sposób powierzchnia  $M$  jest umieszczona w  $\mathbb{R}^3$  (od lokalnego układu współrzędnych).

Powierzchnie w  $\mathbb{R}^3$

Wektory styczne i normalne. I forma podstawowa

Pochodne kierunkowe. Izometria.

Krzywizna Gaussa I

Odwzorowanie Gaussa

Krzywizna Gaussa – Idea

Pole powierzchni

Powtórka z algebry liniowej II

Krzywizna Gaussa II

Theorema Egregium i Twierdzenie klasyfikacyjne

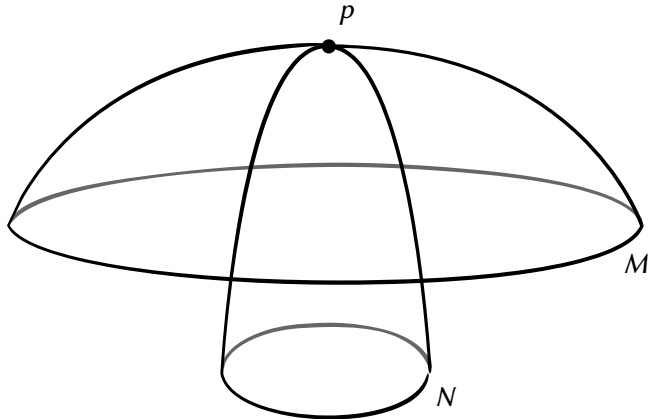












Powierzchnie w  $\mathbb{R}^3$

Wektory styczne i  
normalne. I forma  
podstawowa

Pochodne  
kierunkowe.  
Izometria.

Krzywizna Gaussa I

Odwzorowanie Gaussa

Krzywizna Gaussa – Idea

Pole powierzchni

Powtórka z algebry liniowej II

Krzywizna Gaussa II

Theorema Egregium i  
Twierdzenie  
klasyfikacyjne

Spróbujmy zdefiniować krzywiznę w punkcie  $p \in M$  następująco:

- ▶ Ustalmy punkt  $p \in M$  i lokalny układ współrzędnych  $x: U \rightarrow M$  wokół  $p$ .
- ▶ Wybierzmy niewielkie otoczenie otwarte  $V \subset x(U)$  zawierające punkt  $p$ .
- ▶ Kiedy punkt  $p$  należy do zbioru  $V$ , wtedy  $\hat{n}(p)$  należy do zbioru  $\hat{n}(V) \subset S^2$ ,
- ▶ zbadajmy więc stosunek **pól powierzchni**

$$\frac{A(\hat{n}(V)), \hat{n}(V) \subset S^2}{A(V), V \subset M};$$

- ▶ Gauss definiował krzywiznę jako

$$K_G(p) \stackrel{\text{def.}}{=} \lim_{V \rightarrow p} \frac{A(\hat{n}(V))}{A(V)}.$$

Powierzchnie w  $\mathbb{R}^3$ Wektory styczne i  
normalne. I forma  
podstawowaPochodne  
kierunkowe.  
Izometria.

Krzywizna Gaussa I

Odwzorowanie Gaussa

Krzywizna Gaussa – Idea

Pole powierzchni

Powtórka z algebry liniowej II

Krzywizna Gaussa II

Theorema Egregium i  
Twierdzenie  
klasyfikacyjne

Spróbujmy zdefiniować krzywiznę w punkcie  $p \in M$  następująco:

- ▶ Ustalmy punkt  $p \in M$  i lokalny układ współrzędnych  $x: U \rightarrow M$  wokół  $p$ .
- ▶ Wybierzmy niewielkie otoczenie otwarte  $V \subset x(U)$  zawierające punkt  $p$ .
- ▶ Kiedy punkt  $p$  należy do zbioru  $V$ , wtedy  $\hat{n}(p)$  należy do zbioru  $\hat{n}(V) \subset S^2$ ,
- ▶ zbadajmy więc stosunek **pól powierzchni**

$$\frac{A(\hat{n}(V)), \hat{n}(V) \subset S^2}{A(V), V \subset M};$$

- ▶ Gauss definiował krzywiznę jako

$$K_G(p) \stackrel{\text{def.}}{=} \lim_{V \rightarrow p} \frac{A(\hat{n}(V))}{A(V)}.$$

Powierzchnie w  $\mathbb{R}^3$ Wektory styczne i  
normalne. I forma  
podstawowaPochodne  
kierunkowe.  
Izometria.

Krzywizna Gaussa I

Odwzorowanie Gaussa

Krzywizna Gaussa – Idea

Pole powierzchni

Powtórka z algebry liniowej II

Krzywizna Gaussa II

Theorema Egregium i  
Twierdzenie  
klasyfikacyjne

Spróbujmy zdefiniować krzywiznę w punkcie  $p \in M$  następująco:

- ▶ Ustalmy punkt  $p \in M$  i lokalny układ współrzędnych  $x: U \rightarrow M$  wokół  $p$ .
- ▶ Wybierzmy niewielkie otoczenie otwarte  $V \subset x(U)$  zawierające punkt  $p$ .
- ▶ Kiedy punkt  $p$  należy do zbioru  $V$ , wtedy  $\hat{n}(p)$  należy do zbioru  $\hat{n}(V) \subset S^2$ ,
- ▶ zbadajmy więc stosunek **pól powierzchni**

$$\frac{A(\hat{n}(V)), \hat{n}(V) \subset S^2}{A(V), V \subset M};$$

- ▶ Gauss definiował krzywiznę jako

$$K_G(p) \stackrel{\text{def.}}{=} \lim_{V \rightarrow p} \frac{A(\hat{n}(V))}{A(V)}.$$

Powierzchnie w  $\mathbb{R}^3$ Wektory styczne i  
normalne. I forma  
podstawowaPochodne  
kierunkowe.  
Izometria.

Krzywizna Gaussa I

Odwzorowanie Gaussa

Krzywizna Gaussa – Idea

Pole powierzchni

Powtórka z algebry liniowej II

Krzywizna Gaussa II

Theorema Egregium i  
Twierdzenie  
klasyfikacyjne



Spróbujmy zdefiniować krzywiznę w punkcie  $p \in M$  następująco:

- ▶ Ustalmy punkt  $p \in M$  i lokalny układ współrzędnych  $x: U \rightarrow M$  wokół  $p$ .
- ▶ Wybierzmy niewielkie otoczenie otwarte  $V \subset x(U)$  zawierające punkt  $p$ .
- ▶ Kiedy punkt  $p$  należy do zbioru  $V$ , wtedy  $\hat{n}(p)$  należy do zbioru  $\hat{n}(V) \subset S^2$ ,
- ▶ zbadajmy więc stosunek **pól powierzchni**

$$\frac{A(\hat{n}(V)), \hat{n}(V) \subset S^2}{A(V), V \subset M};$$

- ▶ Gauss definiował krzywiznę jako

$$K_G(p) \stackrel{\text{def.}}{=} \lim_{V \rightarrow p} \frac{A(\hat{n}(V))}{A(V)}.$$

Powierzchnie w  $\mathbb{R}^3$ Wektory styczne i  
normalne. I forma  
podstawowaPochodne  
kierunkowe.  
Izometria.

Krzywizna Gaussa I

Odwzorowanie Gaussa

Krzywizna Gaussa – Idea

Pole powierzchni

Powtórka z algebry liniowej II

Krzywizna Gaussa II

Theorema Egregium i  
Twierdzenie  
klasyfikacyjne

Spróbujmy zdefiniować krzywiznę w punkcie  $p \in M$  następująco:

- ▶ Ustalmy punkt  $p \in M$  i lokalny układ współrzędnych  $x: U \rightarrow M$  wokół  $p$ .
- ▶ Wybierzmy niewielkie otoczenie otwarte  $V \subset x(U)$  zawierające punkt  $p$ .
- ▶ Kiedy punkt  $p$  należy do zbioru  $V$ , wtedy  $\hat{n}(p)$  należy do zbioru  $\hat{n}(V) \subset S^2$ ,
- ▶ zbadajmy więc stosunek **pól powierzchni**

$$\frac{A(\hat{n}(V)), \hat{n}(V) \subset S^2}{A(V), V \subset M};$$

- ▶ Gauss definiował krzywiznę jako

$$K_g(p) \stackrel{\text{def.}}{=} \lim_{V \rightarrow p} \frac{A(\hat{n}(V))}{A(V)}.$$

Powierzchnie w  $\mathbb{R}^3$ Wektory styczne i  
normalne. I forma  
podstawowaPochodne  
kierunkowe.  
Izometria.

Krzywizna Gaussa I

Odwzorowanie Gaussa

Krzywizna Gaussa – Idea

Pole powierzchni

Powtórka z algebry liniowej II

Krzywizna Gaussa II

Theorema Egregium i  
Twierdzenie  
klasyfikacyjne

## Problemy:

1. Czy ta granica jest niezależna od wyboru otoczeń  $V$ ? Jak to formalnie zdefiniować?
2. Jak zdefiniować pole wyznaczone przez  $\hat{n}(V)$  kiedy  $\hat{n}$  nie jest injekcją?
3. Co się stanie jeśli odwzorowanie Gaussa “odwraca” obszar  $V$ ? Czy wtedy należałoby brać pole  $A(\hat{n}(V))$  ze znakiem ujemnym?

Powierzchnie w  $\mathbb{R}^3$

Wektory styczne i normalne. I forma podstawowa

Pochodne kierunkowe. Izometria.

Krzywizna Gaussa I

Odwzorowanie Gaussa

**Krzywizna Gaussa – Idea**

Pole powierzchni

Powtórka z algebry liniowej II

Krzywizna Gaussa II

Theorema Egregium i Twierdzenie klasyfikacyjne

## Problemy:

1. Czy ta granica jest niezależna od wyboru otoczeń  $V$ ? Jak to formalnie zdefiniować?
2. Jak zdefiniować pole wyznaczone przez  $\hat{n}(V)$  kiedy  $\hat{n}$  nie jest injekcją?
3. Co się stanie jeśli odwzorowanie Gaussa “odwraca” obszar  $V$ ? Czy wtedy należałoby brać pole  $A(\hat{n}(V))$  ze znakiem ujemnym?

Powierzchnie w  $\mathbb{R}^3$

Wektory styczne i normalne. I forma podstawowa

Pochodne kierunkowe. Izometria.

Krzywizna Gaussa I

Odwzorowanie Gaussa

Krzywizna Gaussa – Idea

Pole powierzchni

Powtórka z algebry liniowej II

Krzywizna Gaussa II

Theorema Egregium i Twierdzenie klasyfikacyjne

## Problemy:

1. Czy ta granica jest niezależna od wyboru otoczeń  $V$ ? Jak to formalnie zdefiniować?
2. Jak zdefiniować pole wyznaczone przez  $\hat{n}(V)$  kiedy  $\hat{n}$  nie jest injekcją?
3. Co się stanie jeśli odwzorowanie Gaussa “odwraca” obszar  $V$ ? Czy wtedy należałoby brać pole  $A(\hat{n}(V))$  ze znakiem ujemnym?

Powierzchnie w  $\mathbb{R}^3$

Wektory styczne i normalne. I forma podstawowa

Pochodne kierunkowe. Izometria.

Krzywizna Gaussa I

Odwzorowanie Gaussa

Krzywizna Gaussa – Idea

Pole powierzchni

Powtórka z algebry liniowej II

Krzywizna Gaussa II

Theorema Egregium i Twierdzenie klasyfikacyjne

Problemy:

1. Czy ta granica jest niezależna od wyboru otoczeń  $V$ ? Jak to formalnie zdefiniować?
2. Jak zdefiniować pole wyznaczone przez  $\hat{n}(V)$  kiedy  $\hat{n}$  nie jest injekcją?
3. Co się stanie jeśli odwzorowanie Gaussa “odwraca” obszar  $V$ ? Czy wtedy należałoby brać pole  $A(\hat{n}(V))$  ze znakiem ujemnym?

## Przykład

Niech  $S^2 \subset \mathbb{R}^3$  oznacza sferę o promieniu  $R$  i środku w punkcie  $(0, 0, 0)$  i niech

$$x(\phi, \psi) = (R \cos \phi \cos \psi, R \sin \phi \cos \psi, R \sin \psi)$$

będzie na niej lokalnym układem współrzędnych. Mamy

$$x_\phi = R(-\sin \phi \cos \psi, \cos \phi \cos \psi, 0),$$

$$x_\psi = R(-\cos \phi \sin \psi, -\sin \phi \sin \psi, \cos \psi),$$

więc jeśli wybierzemy (zgodnie z konwencją) wektor normalny  $n$  wskazujący na zewnątrz, wtedy

$$\hat{n}(p) = \frac{x_\phi \times x_\psi}{\|x_\phi \times x_\psi\|} = \frac{p}{R}$$

dla całej sfery.

## Przykład

Niech  $S^2 \subset \mathbb{R}^3$  oznacza sferę o promieniu  $R$  i środku w punkcie  $(0, 0, 0)$  i niech

$$\mathbf{x}(\phi, \psi) = (R \cos \phi \cos \psi, R \sin \phi \cos \psi, R \sin \psi)$$

będzie na niej lokalnym układem współrzędnych. Mamy

$$\mathbf{x}_\phi = R(-\sin \phi \cos \psi, \cos \phi \cos \psi, 0),$$

$$\mathbf{x}_\psi = R(-\cos \phi \sin \psi, -\sin \phi \sin \psi, \cos \psi),$$

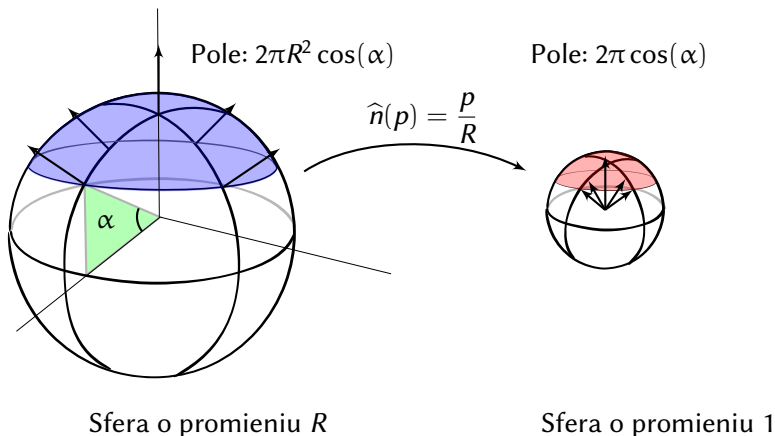
więc jeśli wybierzemy (zgodnie z konwencją) wektor normalny  $\mathbf{n}$  wskazujący na zewnątrz, wtedy

$$\widehat{\mathbf{n}}(p) = \frac{\mathbf{x}_\phi \times \mathbf{x}_\psi}{\|\mathbf{x}_\phi \times \mathbf{x}_\psi\|} = \frac{p}{R}$$

dla całej sfery.



Widzimy więc, że odwzorowanie Gaussa zmniejsza obszar o czynnik  $\frac{1}{R^2}$  i nie ma żadnych problemów z definicją.

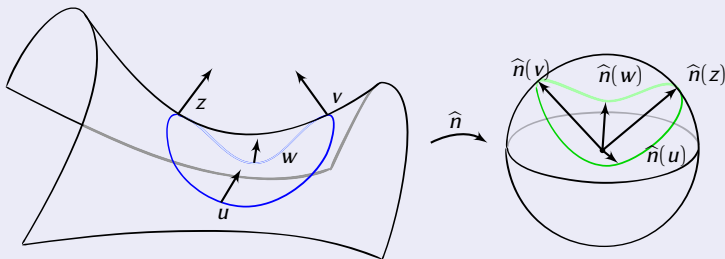


$$K_g(p) = \frac{A(\hat{n}(V))}{A(V)} = \frac{2\pi \cos(\alpha)}{2\pi R^2 \cos(\alpha)} = \frac{1}{R^2}.$$

## Przykład

Niech  $x(u, v) = (x, y, xy)$  (powierzchnia siodłowa).

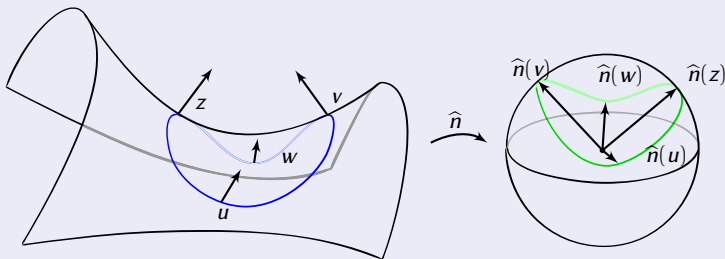
- ▶ Rozważmy okrąg  $S = \{u^2 + v^2 = \varepsilon\}$ , oraz jego obraz  $x(S)$  leżący na powierzchni siodłowej.
- ▶ Obcięcie odwzorowania Gaussa do  $x(S)$  jest również okręgiem (leżącym teraz na sferze).
- ▶ Jeśli obiegamy okrąg  $S$  (lub  $x(S)$ ) w lewo, okrąg  $\hat{n}(x(S))$  jest obiegany w prawo.
- ▶ Zatem chcemy nadać znak ujemny polu  $A(\hat{n}(V))$  gdzie  $V$  jest ograniczony przez  $x(S)$ .



## Przykład

Niech  $x(u, v) = (x, y, xy)$  (powierzchnia siodłowa).

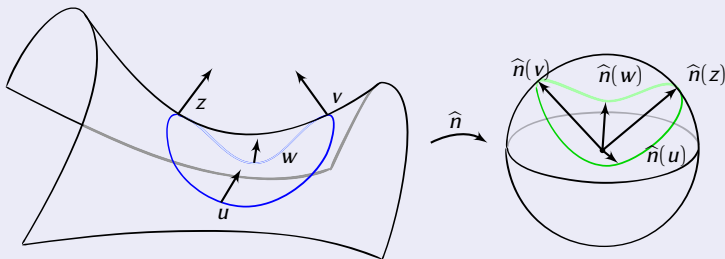
- ▶ Rozważmy okrąg  $S = \{u^2 + v^2 = \varepsilon\}$ , oraz jego obraz  $x(S)$  leżący na powierzchni siodłowej.
- ▶ Obcięcie odwzorowania Gaussa do  $x(S)$  jest również okręgiem (leżącym teraz na sferze).
- ▶ Jeśli obiegamy okrąg  $S$  (lub  $x(S)$ ) w lewo, okrąg  $\hat{n}(x(S))$  jest obiegany w prawo.
- ▶ Zatem chcemy nadać znak ujemny polu  $A(\hat{n}(V))$  gdzie  $V$  jest ograniczony przez  $x(S)$ .



## Przykład

Niech  $x(u, v) = (x, y, xy)$  (powierzchnia siodłowa).

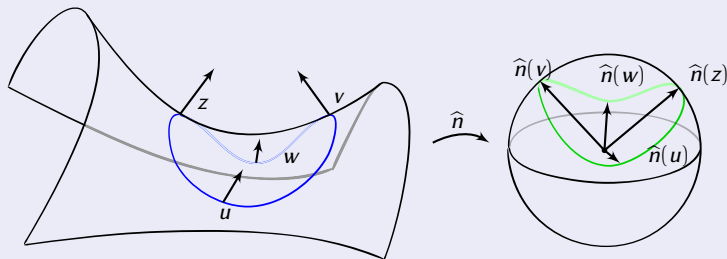
- ▶ Rozważmy okrąg  $S = \{u^2 + v^2 = \varepsilon\}$ , oraz jego obraz  $x(S)$  leżący na powierzchni siodłowej.
- ▶ Obcięcie odwzorowania Gaussa do  $x(S)$  jest również okręgiem (leżącym teraz na sferze).
- ▶ Jeśli obiegamy okrąg  $S$  (lub  $x(S)$ ) w lewo, okrąg  $\hat{n}(x(S))$  jest obiegany w prawo.
- ▶ Zatem chcemy nadać znak ujemny polu  $A(\hat{n}(V))$  gdzie  $V$  jest ograniczony przez  $x(S)$ .



## Przykład

Niech  $x(u, v) = (x, y, xy)$  (powierzchnia siodłowa).

- ▶ Rozważmy okrąg  $S = \{u^2 + v^2 = \varepsilon\}$ , oraz jego obraz  $x(S)$  leżący na powierzchni siodłowej.
- ▶ Obcięcie odwzorowania Gaussa do  $x(S)$  jest również okręgiem (leżącym teraz na sferze).
- ▶ Jeśli obiegamy okrąg  $S$  (lub  $x(S)$ ) w lewo, okrąg  $\hat{n}(x(S))$  jest obiegany w prawo.
- ▶ Zatem chcemy nadać znak ujemny polu  $A(\hat{n}(V))$  gdzie  $V$  jest ograniczony przez  $x(S)$ .



Podobnie jak wcześniej wyraziliśmy długość, teraz wyrazimy pole powierzchni w języku współczynników metrycznych.

### Definicja

Niech  $M \subset \mathbb{R}^3$  będzie powierzchnią gładką i niech  $x: U \rightarrow M$  będzie lokalnym układem współrzędnych. **Pole podzbioru**  $S \subset x(U)$  wyraża się wzorem

$$A(S) \stackrel{\text{def.}}{=} \iint_{x^{-1}(S)} \sqrt{|\det(g_{ij})|} \, ds \, dt.$$

Motywacją geometryczną jest to, że  $\sqrt{|\det(g_{ij})|}$  jest równe polu równoległoboku rozpiętego przez  $x_1$  i  $x_2$ , który jest styczny do powierzchni w tym punkcie.

Powierzchnie w  $\mathbb{R}^3$

Wektory styczne i normalne. I forma podstawowa

Pochodne kierunkowe. Izometria.

Krzywizna Gaussa I

Odwzorowanie Gaussa

Krzywizna Gaussa – Idea

**Pole powierzchni**

Powtórka z algebry liniowej II

Krzywizna Gaussa II

Theorema Egregium i Twierdzenie klasyfikacyjne







## Lemat

*Założmy, że  $S \subset x(U) \cap y(V)$  dla dwóch lokalnych układów współrzędnych  $x, y$  na  $M$ . Niech  $(g_{ij})$ , [odpowiednio  $(\bar{g}_{ij})$ ] oznacza macierz współczynników metrycznych dla  $x$  [odpowiednio  $y$ ]. Wtedy*

$$\iint_{x^{-1}(S)} \sqrt{|\det(g_{ij})|} ds dt = \iint_{y^{-1}(S)} \sqrt{|\det(\bar{g}_{ij})|} ds dt.$$

Dowód pomijamy.

Powierzchnie w  $\mathbb{R}^3$

Wektory styczne i normalne. I forma podstawowa

Pochodne kierunkowe. Izometria.

Krzywizna Gaussa I

Odwzorowanie Gaussa

Krzywizna Gaussa – Idea

Pole powierzchni

Powtórka z algebry liniowej II

Krzywizna Gaussa II

Theorema Egregium i Twierdzenie klasyfikacyjne

Zauważmy teraz, że

$$\langle \mathbf{x}_1 \times \mathbf{x}_2, \mathbf{n} \rangle = \langle \|\mathbf{x}_1 \times \mathbf{x}_2\| \mathbf{n}, \mathbf{n} \rangle = \|\mathbf{x}_1 \times \mathbf{x}_2\| = \sqrt{|\det(g_{ij})|},$$

zatem mamy

$$A(V) = \iint_{x^{-1}(V)} |\langle \mathbf{x}_1 \times \mathbf{x}_2, \mathbf{n} \rangle| ds dt.$$

Analogicznie możemy zdefiniować pole  $\widehat{n}(V)$  jako

$$A(\widehat{n}(V)) = \iint_{x^{-1}(V)} |\langle \mathbf{n}_1 \times \mathbf{n}_2, \mathbf{n} \rangle| ds dt,$$

gdzie  $\mathbf{n}_1, \mathbf{n}_2$  są pochodnymi cząstkowymi  $\mathbf{n}$  po zmiennych odpowiednio  $s$  i  $t$ .

To rozwiązuje problemy (2) i (3) powyżej, jednak problem (1) (niezależności definicji od wyboru otoczeń  $V$ ) pozostaje.

Powierzchnie w  $\mathbb{R}^3$

Wektory styczne i  
normalne. I forma  
podstawowa

Pochodne  
kierunkowe.  
Izometria.

Krzywizna Gaussa I

Odwzorowanie Gaussa

Krzywizna Gaussa – Idea

Pole powierzchni

Powtórka z algebry liniowej II

Krzywizna Gaussa II

Theorema Egregium i  
Twierdzenie  
klasyfikacyjne

Zauważmy teraz, że

$$\langle \mathbf{x}_1 \times \mathbf{x}_2, \mathbf{n} \rangle = \langle \|\mathbf{x}_1 \times \mathbf{x}_2\| \mathbf{n}, \mathbf{n} \rangle = \|\mathbf{x}_1 \times \mathbf{x}_2\| = \sqrt{|\det(g_{ij})|},$$

zatem mamy

$$A(V) = \iint_{x^{-1}(V)} |\langle \mathbf{x}_1 \times \mathbf{x}_2, \mathbf{n} \rangle| ds dt.$$

Analogicznie możemy zdefiniować pole  $\widehat{n}(V)$  jako

$$A(\widehat{n}(V)) = \iint_{x^{-1}(V)} |\langle \mathbf{n}_1 \times \mathbf{n}_2, \mathbf{n} \rangle| ds dt,$$

gdzie  $\mathbf{n}_1, \mathbf{n}_2$  są pochodnymi cząstkowymi  $\mathbf{n}$  po zmiennych odpowiednio  $s$  i  $t$ .

To rozwiązuje problemy (2) i (3) powyżej, jednak problem (1) (niezależności definicji od wyboru otoczeń  $V$ ) pozostaje.

Powierzchnie w  $\mathbb{R}^3$

Wektory styczne i  
normalne. I forma  
podstawowa

Pochodne  
kierunkowe.  
Izometria.

Krzywizna Gaussa I

Odwzorowanie Gaussa

Krzywizna Gaussa – Idea

Pole powierzchni

Powtórka z algebry liniowej II

Krzywizna Gaussa II

Theorema Egregium i  
Twierdzenie  
klasyfikacyjne

Zauważmy teraz, że

$$\langle \mathbf{x}_1 \times \mathbf{x}_2, \mathbf{n} \rangle = \langle \|\mathbf{x}_1 \times \mathbf{x}_2\| \mathbf{n}, \mathbf{n} \rangle = \|\mathbf{x}_1 \times \mathbf{x}_2\| = \sqrt{|\det(g_{ij})|},$$

zatem mamy

$$A(V) = \iint_{x^{-1}(V)} |\langle \mathbf{x}_1 \times \mathbf{x}_2, \mathbf{n} \rangle| ds dt.$$

Analogicznie możemy zdefiniować pole  $\widehat{n}(V)$  jako

$$A(\widehat{n}(V)) = \iint_{x^{-1}(V)} |\langle \mathbf{n}_1 \times \mathbf{n}_2, \mathbf{n} \rangle| ds dt,$$

gdzie  $\mathbf{n}_1, \mathbf{n}_2$  są pochodnymi cząstkowymi  $\mathbf{n}$  po zmiennych odpowiednio  $s$  i  $t$ .

To rozwiązuje problemy (2) i (3) powyżej, jednak problem (1) (niezależności definicji od wyboru otoczeń  $V$ ) pozostaje.

Powierzchnie w  $\mathbb{R}^3$

Wektory styczne i  
normalne. I forma  
podstawowa

Pochodne  
kierunkowe.  
Izometria.

Krzywizna Gaussa I

Odwzorowanie Gaussa

Krzywizna Gaussa – Idea

Pole powierzchni

Powtórka z algebry liniowej II

Krzywizna Gaussa II

Theorema Egregium i  
Twierdzenie  
klasyfikacyjne

Zauważmy teraz, że

$$\langle \mathbf{x}_1 \times \mathbf{x}_2, \mathbf{n} \rangle = \langle \|\mathbf{x}_1 \times \mathbf{x}_2\| \mathbf{n}, \mathbf{n} \rangle = \|\mathbf{x}_1 \times \mathbf{x}_2\| = \sqrt{|\det(g_{ij})|},$$

zatem mamy

$$A(V) = \iint_{x^{-1}(V)} |\langle \mathbf{x}_1 \times \mathbf{x}_2, \mathbf{n} \rangle| ds dt.$$

Analogicznie możemy zdefiniować pole  $\widehat{n}(V)$  jako

$$A(\widehat{n}(V)) = \iint_{x^{-1}(V)} |\langle \mathbf{n}_1 \times \mathbf{n}_2, \mathbf{n} \rangle| ds dt,$$

gdzie  $\mathbf{n}_1, \mathbf{n}_2$  są pochodnymi cząstkowymi  $\mathbf{n}$  po zmiennych odpowiednio  $s$  i  $t$ .

To rozwiązuje problemy (2) i (3) powyżej, jednak problem (1) (niezależności definicji od wyboru otoczeń  $V$ ) pozostaje.

Powierzchnie w  $\mathbb{R}^3$

Wektory styczne i  
normalne. I forma  
podstawowa

Pochodne  
kierunkowe.  
Izometria.

Krzywizna Gaussa I

Odwzorowanie Gaussa

Krzywizna Gaussa – Idea

Pole powierzchni

Powtórka z algebry liniowej II

Krzywizna Gaussa II

Theorema Egregium i  
Twierdzenie  
klasyfikacyjne

# Powtórka z algebry liniowej II

Niech  $W$  będzie rzeczywistą przestrzenią wektorową i niech  $\langle \cdot, \cdot \rangle$  będzie iloczynem skalarnym na  $W$ .

## Definicja

Rozważmy odwzorowanie liniowe  $F: W \rightarrow W$ .

Odwzorowaniem dwuliniowym **indukowanym przez  $F$**  nazywamy odwzorowanie  $\mathcal{B}_F: W \times W \rightarrow \mathbb{R}$  zadane przez

$$\mathcal{B}_F(v, w) = \langle F(v), w \rangle.$$

## Przykład

Niech  $F: \mathbb{R}^2 \rightarrow \mathbb{R}^2$  będzie zadane wzorem (w bazie standardowej!)

$$F(v_1, v_2) = \begin{bmatrix} 1 & 2 \\ 0 & -1 \end{bmatrix} \begin{bmatrix} v_1 \\ v_2 \end{bmatrix} = (v_1 + 2v_2, -v_2).$$

# Powtórka z algebry liniowej II

Niech  $W$  będzie rzeczywistą przestrzenią wektorową i niech  $\langle \cdot, \cdot \rangle$  będzie iloczynem skalarnym na  $W$ .

## Definicja

Rozważmy odwzorowanie liniowe  $F: W \rightarrow W$ .

Odwzorowaniem dwuliniowym **indukowanym przez  $F$**  nazywamy odwzorowanie  $\mathcal{B}_F: W \times W \rightarrow \mathbb{R}$  zadane przez

$$\mathcal{B}_F(v, w) = \langle F(v), w \rangle.$$

## Przykład

Niech  $F: \mathbb{R}^2 \rightarrow \mathbb{R}^2$  będzie zadane wzorem (w bazie standardowej!)

$$F(v_1, v_2) = \begin{bmatrix} 1 & 2 \\ 0 & -1 \end{bmatrix} \begin{bmatrix} v_1 \\ v_2 \end{bmatrix} = (v_1 + 2v_2, -v_2).$$

# Powtórka z algebry liniowej II

Niech  $W$  będzie rzeczywistą przestrzenią wektorową i niech  $\langle \cdot, \cdot \rangle$  będzie iloczynem skalarnym na  $W$ .

## Definicja

Rozważmy odwzorowanie liniowe  $F: W \rightarrow W$ .

Odwzorowaniem dwuliniowym **indukowanym przez  $F$**  nazywamy odwzorowanie  $\mathcal{B}_F: W \times W \rightarrow \mathbb{R}$  zadane przez

$$\mathcal{B}_F(v, w) = \langle F(v), w \rangle.$$

## Przykład

Niech  $F: \mathbb{R}^2 \rightarrow \mathbb{R}^2$  będzie zadane wzorem (w bazie standardowej!)

$$F(v_1, v_2) = \begin{bmatrix} 1 & 2 \\ 0 & -1 \end{bmatrix} \begin{bmatrix} v_1 \\ v_2 \end{bmatrix} = (v_1 + 2v_2, -v_2).$$



## Przykład

Odwzorowanie  $\mathcal{B}_F: \mathbb{R}^2 \rightarrow \mathbb{R}$  indukowane przez  $F$  jest równe

$$\begin{aligned}\mathcal{B}_F((v_1, v_2), (w_1, w_2)) &= \langle F(v_1, v_2), (w_1, w_2) \rangle = \\ &= \left\langle \begin{bmatrix} 1 & 2 \\ 0 & -1 \end{bmatrix} \begin{bmatrix} v_1 \\ v_2 \end{bmatrix}, (w_1, w_2) \right\rangle = \\ &= \langle (v_1 + 2v_2, -v_2), (w_1, w_2) \rangle = (v_1 + 2v_2)w_1 - v_2w_2.\end{aligned}$$

## Przykład

Odwzorowanie  $\mathcal{B}_F: \mathbb{R}^2 \rightarrow \mathbb{R}$  indukowane przez  $F$  jest równe

$$\begin{aligned}\mathcal{B}_F((v_1, v_2), (w_1, w_2)) &= \langle F(v_1, v_2), (w_1, w_2) \rangle = \\ &= \left\langle \begin{bmatrix} 1 & 2 \\ 0 & -1 \end{bmatrix} \begin{bmatrix} v_1 \\ v_2 \end{bmatrix}, (w_1, w_2) \right\rangle = \\ &= \langle (v_1 + 2v_2, -v_2), (w_1, w_2) \rangle = (v_1 + 2v_2)w_1 - v_2w_2.\end{aligned}$$

## Lemat

*Niech  $(W, \langle \cdot, \cdot \rangle)$  będzie przestrzenią wektorową z iloczynem skalarnym. Ustalmy bazę tej przestrzeni.*

- ▶ *Oznaczmy przez  $\mathbf{G}$  macierz iloczynu skalarnego w tej bazie.*
- ▶ *Niech  $F: W \rightarrow W$  będzie odwzorowaniem liniowym o macierzy  $\mathbf{A}$  w powyższej bazie.*
- ▶ *Niech  $\mathbf{M}$  oznacza macierz odwzorowania  $B_F$  indukowanego przez  $F$  (znów macierz w powyższej bazie).*

*Wtedy  $\mathbf{M} = \mathbf{A}^t \mathbf{G}$ .*

Powierzchnie w  $\mathbb{R}^3$

Wektory styczne i normalne. I forma podstawowa

Pochodne kierunkowe. Izometria.

Krzywizna Gaussa I

Odwzorowanie Gaussa

Krzywizna Gaussa – Idea

Pole powierzchni

Powtórka z algebry liniowej II

Krzywizna Gaussa II

Theorema Egregium i Twierdzenie klasyfikacyjne

## Lemat

*Niech  $(W, \langle \cdot, \cdot \rangle)$  będzie przestrzenią wektorową z iloczynem skalarnym. Ustalmy bazę tej przestrzeni.*

- ▶ *Oznaczmy przez  $\mathbf{G}$  macierz iloczynu skalarnego w tej bazie.*
- ▶ *Niech  $F: W \rightarrow W$  będzie odwzorowaniem liniowym o macierzy  $\mathbf{A}$  w powyższej bazie.*
- ▶ *Niech  $\mathbf{M}$  oznacza macierz odwzorowania  $B_F$  indukowanego przez  $F$  (znów macierz w powyższej bazie).*

*Wtedy  $\mathbf{M} = \mathbf{A}^t \mathbf{G}$ .*

Powierzchnie w  $\mathbb{R}^3$

Wektory styczne i normalne. I forma podstawowa

Pochodne kierunkowe. Izometria.

Krzywizna Gaussa I

Odwzorowanie Gaussa

Krzywizna Gaussa – Idea

Pole powierzchni

Powtórka z algebry liniowej II

Krzywizna Gaussa II

Theorema Egregium i Twierdzenie klasyfikacyjne

## Lemat

Niech  $(W, \langle \cdot, \cdot \rangle)$  będzie przestrzenią wektorową z iloczynem skalarnym. Ustalmy bazę tej przestrzeni.

- ▶ Oznaczmy przez  $\mathbf{G}$  macierz iloczynu skalarnego w tej bazie.
- ▶ Niech  $F: W \rightarrow W$  będzie odwzorowaniem liniowym o macierzy  $\mathbf{A}$  w powyższej bazie.
- ▶ Niech  $\mathbf{M}$  oznacza macierz odwzorowania  $B_F$  indukowanego przez  $F$  (znów macierz w powyższej bazie).

Wtedy  $\mathbf{M} = \mathbf{A}^t \mathbf{G}$ .

Powierzchnie w  $\mathbb{R}^3$

Wektory styczne i normalne. I forma podstawowa

Pochodne kierunkowe. Izometria.

Krzywizna Gaussa I

Odwzorowanie Gaussa

Krzywizna Gaussa – Idea

Pole powierzchni

Powtórka z algebry liniowej II

Krzywizna Gaussa II

Theorema Egregium i Twierdzenie klasyfikacyjne

## Lemat

*Niech  $(W, \langle \cdot, \cdot \rangle)$  będzie przestrzenią wektorową z iloczynem skalarnym. Ustalmy bazę tej przestrzeni.*

- ▶ *Oznaczmy przez  $\mathbf{G}$  macierz iloczynu skalarnego w tej bazie.*
- ▶ *Niech  $F: W \rightarrow W$  będzie odwzorowaniem liniowym o macierzy  $\mathbf{A}$  w powyższej bazie.*
- ▶ *Niech  $\mathbf{M}$  oznacza macierz odwzorowania  $B_F$  indukowanego przez  $F$  (znów macierz w powyższej bazie).*

*Wtedy  $\mathbf{M} = \mathbf{A}^t \mathbf{G}$ .*

Powierzchnie w  $\mathbb{R}^3$

Wektory styczne i normalne. I forma podstawowa

Pochodne kierunkowe. Izometria.

Krzywizna Gaussa I

Odwzorowanie Gaussa

Krzywizna Gaussa – Idea

Pole powierzchni

Powtórka z algebry liniowej II

Krzywizna Gaussa II

Theorema Egregium i Twierdzenie klasyfikacyjne

## Lemat

*Niech  $(W, \langle \cdot, \cdot \rangle)$  będzie przestrzenią wektorową z iloczynem skalarnym. Ustalmy bazę tej przestrzeni.*

- ▶ *Oznaczmy przez  $\mathbf{G}$  macierz iloczynu skalarnego w tej bazie.*
- ▶ *Niech  $F: W \rightarrow W$  będzie odwzorowaniem liniowym o macierzy  $\mathbf{A}$  w powyższej bazie.*
- ▶ *Niech  $\mathbf{M}$  oznacza macierz odwzorowania  $B_F$  indukowanego przez  $F$  (znów macierz w powyższej bazie).*

*Wtedy  $\mathbf{M} = \mathbf{A}^t \mathbf{G}$ .*

Powierzchnie w  $\mathbb{R}^3$

Wektory styczne i normalne. I forma podstawowa

Pochodne kierunkowe. Izometria.

Krzywizna Gaussa I

Odwzorowanie Gaussa

Krzywizna Gaussa – Idea

Pole powierzchni

Powtórka z algebry liniowej II

Krzywizna Gaussa II

Theorema Egregium i Twierdzenie klasyfikacyjne

## Przykład

Niech  $F$  będzie tak jak z poprzedniego przykładu. Na  $W = \mathbb{R}^2$  wybierzmy standardową bazę  $\{e_1, e_2\}$ . Naturalny iloczyn skalarny na  $\mathbb{R}^2$  ma w tej bazie macierz  $\mathbf{G} = \text{Id}$ . Zatem macierzą odwzorowania  $\mathcal{B}_F$  jest macierz

$$\begin{bmatrix} 1 & 2 \\ 0 & -1 \end{bmatrix}^t \cdot \text{Id} = \begin{bmatrix} 1 & 0 \\ 2 & -1 \end{bmatrix} \cdot \text{Id},$$

zatem

$$\mathcal{B}_F((v_1, v_2), (w_1, w_2)) = [v_1, v_2] \begin{bmatrix} 1 & 0 \\ 2 & -1 \end{bmatrix} \cdot \text{Id} \begin{bmatrix} w_1 \\ w_2 \end{bmatrix}$$

Powierzchnie w  $\mathbb{R}^3$

Wektory styczne i  
normalne. I forma  
podstawowa

Pochodne  
kierunkowe.  
Izometria.

Krzywizna Gaussa I

Odwzorowanie Gaussa

Krzywizna Gaussa – Idea

Pole powierzchni

Powtórka z algebry liniowej II

Krzywizna Gaussa II

Theorema Egregium i  
Twierdzenie  
klasyfikacyjne



## Lemat

*Niech  $W$  będzie przestrzenią wektorową i  $\mathcal{B}$  formą dwuliniową na  $W$ .*

- ▶  *$\mathcal{B}$  jest formą symetryczną wtedy i tylko wtedy, gdy macierz odwzorowania  $\mathcal{B}$  w dowolnej bazie  $W$  jest macierzą symetryczną.*
- ▶ *Niech  $F: W \rightarrow W$  będzie odwzorowaniem liniowym. Następujące warunki są równoważne:*
  1. *macierz  $A$  odwzorowania  $F$  jest symetryczna w każdej bazie ortonormalnej przestrzeni  $W$ ,*
  2. *forma dwuliniowa  $\mathcal{B}_F$  indukowana przez  $F$  jest symetryczna.*

Powierzchnie w  $\mathbb{R}^3$

Wektory styczne i normalne. I forma podstawowa

Pochodne kierunkowe. Izometria.

Krzywizna Gaussa I

Odwzorowanie Gaussa

Krzywizna Gaussa – Idea

Pole powierzchni

Powtórka z algebry liniowej II

Krzywizna Gaussa II

Theorema Egregium i Twierdzenie klasyfikacyjne

## Lemat

*Niech  $W$  będzie przestrzenią wektorową i  $\mathcal{B}$  formą dwuliniową na  $W$ .*

- ▶  *$\mathcal{B}$  jest formą symetryczną wtedy i tylko wtedy, gdy macierz odwzorowania  $\mathcal{B}$  w dowolnej bazie  $W$  jest macierzą symetryczną.*
- ▶ *Niech  $F: W \rightarrow W$  będzie odwzorowaniem liniowym. Następujące warunki są równoważne:*

1. *macierz  $A$  odwzorowania  $F$  jest symetryczna w każdej bazie ortonormalnej przestrzeni  $W$ ,*
2. *forma dwuliniowa  $\mathcal{B}_F$  indukowana przez  $F$  jest symetryczna.*

Powierzchnie w  $\mathbb{R}^3$

Wektory styczne i normalne. I forma podstawowa

Pochodne kierunkowe. Izometria.

Krzywizna Gaussa I

Odwzorowanie Gaussa

Krzywizna Gaussa – Idea

Pole powierzchni

Powtórka z algebry liniowej II

Krzywizna Gaussa II

Theorema Egregium i Twierdzenie klasyfikacyjne

## Lemat

*Niech  $W$  będzie przestrzenią wektorową i  $\mathcal{B}$  formą dwuliniową na  $W$ .*

- ▶  *$\mathcal{B}$  jest formą symetryczną wtedy i tylko wtedy, gdy macierz odwzorowania  $\mathcal{B}$  w dowolnej bazie  $W$  jest macierzą symetryczną.*
- ▶ *Niech  $F: W \rightarrow W$  będzie odwzorowaniem liniowym. Następujące warunki są równoważne:*
  1. *macierz  $A$  odwzorowania  $F$  jest symetryczna w każdej bazie ortonormalnej przestrzeni  $W$ ,*
  2. *forma dwuliniowa  $\mathcal{B}_F$  indukowana przez  $F$  jest symetryczna.*

Powierzchnie w  $\mathbb{R}^3$

Wektory styczne i normalne. I forma podstawowa

Pochodne kierunkowe. Izometria.

Krzywizna Gaussa I

Odwzorowanie Gaussa

Krzywizna Gaussa – Idea

Pole powierzchni

Powtórka z algebry liniowej II

Krzywizna Gaussa II

Theorema Egregium i Twierdzenie klasyfikacyjne

## Lemat

Niech  $W$  będzie przestrzenią wektorową i  $\mathcal{B}$  formą dwuliniową na  $W$ .

- ▶  $\mathcal{B}$  jest formą symetryczną wtedy i tylko wtedy, gdy macierz odwzorowania  $\mathcal{B}$  w dowolnej bazie  $W$  jest macierzą symetryczną.
- ▶ Niech  $F: W \rightarrow W$  będzie odwzorowaniem liniowym. Następujące warunki są równoważne:
  1. macierz  $A$  odwzorowania  $F$  jest symetryczna w każdej bazie ortonormalnej przestrzeni  $W$ ,
  2. forma dwuliniowa  $\mathcal{B}_F$  indukowana przez  $F$  jest symetryczna.

Powierzchnie w  $\mathbb{R}^3$

Wektory styczne i normalne. I forma podstawowa

Pochodne kierunkowe. Izometria.

Krzywizna Gaussa I

Odwzorowanie Gaussa

Krzywizna Gaussa – Idea

Pole powierzchni

Powtórka z algebry liniowej II

Krzywizna Gaussa II

Theorema Egregium i Twierdzenie klasyfikacyjne

## Lemat

*Niech  $W$  będzie przestrzenią wektorową i  $\mathcal{B}$  formą dwuliniową na  $W$ .*

- ▶  *$\mathcal{B}$  jest formą symetryczną wtedy i tylko wtedy, gdy macierz odwzorowania  $\mathcal{B}$  w dowolnej bazie  $W$  jest macierzą symetryczną.*
- ▶ *Niech  $F: W \rightarrow W$  będzie odwzorowaniem liniowym. Następujące warunki są równoważne:*
  1. *macierz  $A$  odwzorowania  $F$  jest symetryczna w każdej bazie ortonormalnej przestrzeni  $W$ ,*
  2. *forma dwuliniowa  $\mathcal{B}_F$  indukowana przez  $F$  jest symetryczna.*

Powierzchnie w  $\mathbb{R}^3$

Wektory styczne i normalne. I forma podstawowa

Pochodne kierunkowe. Izometria.

Krzywizna Gaussa I

Odwzorowanie Gaussa

Krzywizna Gaussa – Idea

Pole powierzchni

Powtórka z algebry liniowej II

Krzywizna Gaussa II

Theorema Egregium i Twierdzenie klasyfikacyjne

- Symetryczność formy  $\mathcal{B}$  oznacza

$$\mathcal{B}(v, w) = \mathcal{B}(w, v).$$

- Jeśli macierz  $A$  odwzorowania  $F$  jest symetryczna, wtedy

$$A = A^t.$$

- Jeśli  $A$  jest symetryczna w każdej bazie, możemy wybrać taką, w której macierz  $G = \text{Id}$  (macierz iloczynu skalarnego na  $W$ ).
- Zatem

$$\mathcal{B}_F(v, w) = vA^t \cdot Gw = w^t (A^t)^t v^t = \mathcal{B}_F(w, v).$$

Powierzchnie w  $\mathbb{R}^3$ Wektory styczne i  
normalne. I forma  
podstawowaPochodne  
kierunkowe.  
Izometria.

Krzywizna Gaussa I

Odwzorowanie Gaussa

Krzywizna Gaussa – Idea

Pole powierzchni

Powtórka z algebry liniowej II

Krzywizna Gaussa II

Theorema Egregium i  
Twierdzenie  
klasyfikacyjne



- Symetryczność formy  $\mathcal{B}$  oznacza

$$\mathcal{B}(v, w) = \mathcal{B}(w, v).$$

- Jeśli macierz  $\mathbf{A}$  odwzorowania  $F$  jest symetryczna, wtedy

$$\mathbf{A} = \mathbf{A}^t.$$

- Jeśli  $\mathbf{A}$  jest symetryczna w każdej bazie, możemy wybrać taką, w której macierz  $\mathbf{G} = \text{Id}$  (macierz iloczynu skalarnego na  $W$ ).

- Zatem

$$\mathcal{B}_F(v, w) = v\mathbf{A}^t \cdot \mathbf{G}w = w^t (\mathbf{A}^t)^t v^t = \mathcal{B}_F(w, v).$$

Powierzchnie w  $\mathbb{R}^3$ Wektory styczne i  
normalne. I forma  
podstawowaPochodne  
kierunkowe.  
Izometria.

Krzywizna Gaussa I

Odwzorowanie Gaussa

Krzywizna Gaussa – Idea

Pole powierzchni

Powtórka z algebry liniowej II

Krzywizna Gaussa II

Theorema Egregium i  
Twierdzenie  
klasyfikacyjne



- Symetryczność formy  $\mathcal{B}$  oznacza

$$\mathcal{B}(v, w) = \mathcal{B}(w, v).$$

- Jeśli macierz  $\mathbf{A}$  odwzorowania  $F$  jest symetryczna, wtedy

$$\mathbf{A} = \mathbf{A}^t.$$

- Jeśli  $\mathbf{A}$  jest symetryczna w każdej bazie, możemy wybrać taką, w której macierz  $\mathbf{G} = \text{Id}$  (macierz iloczynu skalarnego na  $W$ ).
- Zatem

$$\mathcal{B}_F(v, w) = v\mathbf{A}^t \cdot \mathbf{G}w = w^t (\mathbf{A}^t)^t v^t = \mathcal{B}_F(w, v).$$

Powierzchnie w  $\mathbb{R}^3$ Wektory styczne i  
normalne. I forma  
podstawowaPochodne  
kierunkowe.  
Izometria.

Krzywizna Gaussa I

Odwzorowanie Gaussa

Krzywizna Gaussa – Idea

Pole powierzchni

Powtórka z algebry liniowej II

Krzywizna Gaussa II

Theorema Egregium i  
Twierdzenie  
klasyfikacyjne









Niech  $W = \mathbb{R}^2$  i niech  $F: \mathbb{R}^2 \rightarrow \mathbb{R}^2$  będzie zadane przez symetryczną macierz rzeczywistą

$$\mathbf{A} = \begin{bmatrix} a & b \\ b & c \end{bmatrix}.$$

Wielomian charakterystyczny  $\mathbf{A}$ :

$$f_{\mathbf{A}}(t) = \det \begin{bmatrix} a-t & b \\ b & c-t \end{bmatrix} = t^2 - (a+c)t - (b^2 - ac)$$

posiada deltę nieujemną  $\Delta = (a-c)^2 + 4b^2$ , więc ma dwa pierwiastki rzeczywiste (są to wartości własne  $\mathbf{A}$ ).

[Powierzchnie w  \$\mathbb{R}^3\$](#) [Wektory styczne i normalne. I forma podstawowa](#)[Pochodne kierunkowe. Izometria.](#)[Krzywizna Gaussa I](#)[Odwzorowanie Gaussa](#)[Krzywizna Gaussa – Idea](#)[Pole powierzchni](#)[Powtórka z algebry liniowej II](#)[Krzywizna Gaussa II](#)[Theorema Egregium i Twierdzenie klasyfikacyjne](#)

Niech  $W = \mathbb{R}^2$  i niech  $F: \mathbb{R}^2 \rightarrow \mathbb{R}^2$  będzie zadane przez symetryczną macierz rzeczywistą

$$\mathbf{A} = \begin{bmatrix} a & b \\ b & c \end{bmatrix}.$$

Wielomian charakterystyczny  $\mathbf{A}$ :

$$f_{\mathbf{A}}(t) = \det \begin{bmatrix} a-t & b \\ b & c-t \end{bmatrix} = t^2 - (a+c)t - (b^2 - ac)$$

posiada deltę nieujemną  $\Delta = (a-c)^2 + 4b^2$ , więc ma dwa pierwiastki rzeczywiste (są to wartości własne  $\mathbf{A}$ ).

[Powierzchnie w  \$\mathbb{R}^3\$](#) [Wektory styczne i normalne. I forma podstawowa](#)[Pochodne kierunkowe. Izometria.](#)[Krzywizna Gaussa I](#)[Odwzorowanie Gaussa](#)[Krzywizna Gaussa – Idea](#)[Pole powierzchni](#)[Powtórka z algebry liniowej II](#)[Krzywizna Gaussa II](#)[Theorema Egregium i Twierdzenie klasyfikacyjne](#)

Niech  $W = \mathbb{R}^2$  i niech  $F: \mathbb{R}^2 \rightarrow \mathbb{R}^2$  będzie zadane przez symetryczną macierz rzeczywistą

$$\mathbf{A} = \begin{bmatrix} a & b \\ b & c \end{bmatrix}.$$

Wielomian charakterystyczny  $\mathbf{A}$ :

$$f_{\mathbf{A}}(t) = \det \begin{bmatrix} a-t & b \\ b & c-t \end{bmatrix} = t^2 - (a+c)t - (b^2 - ac)$$

posiada deltę nieujemną  $\Delta = (a-c)^2 + 4b^2$ , więc ma dwa pierwiastki rzeczywiste (są to wartości własne  $\mathbf{A}$ ).

[Powierzchnie w  \$\mathbb{R}^3\$](#) [Wektory styczne i normalne. I forma podstawowa](#)[Pochodne kierunkowe. Izometria.](#)[Krzywizna Gaussa I](#)[Odwzorowanie Gaussa](#)[Krzywizna Gaussa – Idea](#)[Pole powierzchni](#)[Powtórka z algebry liniowej II](#)[Krzywizna Gaussa II](#)[Theorema Egregium i Twierdzenie klasyfikacyjne](#)



## Przykład

Niech  $W = \mathbb{R}^2$  i niech  $F: \mathbb{R}^2 \rightarrow \mathbb{R}^2$  będzie zadana (w standardowej bazie) przez macierz

$$\mathbf{A} = \begin{bmatrix} 1 & 1 \\ 1 & 0 \end{bmatrix}$$

Mamy wtedy

- ▶  $f_{\mathbf{A}}(t) = (1-t)t - 1 = t^2 - t - 1$
- ▶  $k_1 = \frac{1+\sqrt{5}}{2}$ , oraz  $k_2 = \frac{1-\sqrt{5}}{2}$ .
- ▶  $k_1 k_2 = \frac{1-\sqrt{5}^2}{4} = -1 = \det \mathbf{A}$ , oraz  $k_1 + k_2 = 1 = \operatorname{tr} \mathbf{A}$ .

Powierzchnie w  $\mathbb{R}^3$

Wektory styczne i normalne. I forma podstawowa

Pochodne kierunkowe. Izometria.

Krzywizna Gaussa I

Odwzorowanie Gaussa

Krzywizna Gaussa – Idea

Pole powierzchni

Powtórka z algebry liniowej II

Krzywizna Gaussa II

Theorema Egregium i Twierdzenie klasyfikacyjne

## Przykład

Niech  $W = \mathbb{R}^2$  i niech  $F: \mathbb{R}^2 \rightarrow \mathbb{R}^2$  będzie zadana (w standardowej bazie) przez macierz

$$\mathbf{A} = \begin{bmatrix} 1 & 1 \\ 1 & 0 \end{bmatrix}$$

Mamy wtedy

- ▶  $f_{\mathbf{A}}(t) = (1-t)t - 1 = t^2 - t - 1$
- ▶  $k_1 = \frac{1+\sqrt{5}}{2}$ , oraz  $k_2 = \frac{1-\sqrt{5}}{2}$ .
- ▶  $k_1 k_2 = \frac{1-\sqrt{5}^2}{4} = -1 = \det \mathbf{A}$ , oraz  $k_1 + k_2 = 1 = \operatorname{tr} \mathbf{A}$ .

Powierzchnie w  $\mathbb{R}^3$

Wektory styczne i normalne. I forma podstawowa

Pochodne kierunkowe. Izometria.

Krzywizna Gaussa I

Odwzorowanie Gaussa

Krzywizna Gaussa – Idea

Pole powierzchni

Powtórka z algebry liniowej II

Krzywizna Gaussa II

Theorema Egregium i Twierdzenie klasyfikacyjne

## Przykład

Niech  $W = \mathbb{R}^2$  i niech  $F: \mathbb{R}^2 \rightarrow \mathbb{R}^2$  będzie zadana (w standardowej bazie) przez macierz

$$\mathbf{A} = \begin{bmatrix} 1 & 1 \\ 1 & 0 \end{bmatrix}$$

Mamy wtedy

- ▶  $f_{\mathbf{A}}(t) = (1-t)t - 1 = t^2 - t - 1$
- ▶  $k_1 = \frac{1+\sqrt{5}}{2}$ , oraz  $k_2 = \frac{1-\sqrt{5}}{2}$ .
- ▶  $k_1 k_2 = \frac{1-\sqrt{5}^2}{4} = -1 = \det \mathbf{A}$ , oraz  $k_1 + k_2 = 1 = \operatorname{tr} \mathbf{A}$ .

Powierzchnie w  $\mathbb{R}^3$ Wektory styczne i  
normalne. I forma  
podstawowaPochodne  
kierunkowe.  
Izometria.

Krzywizna Gaussa I

Odwzorowanie Gaussa

Krzywizna Gaussa – Idea

Pole powierzchni

Powtórka z algebry liniowej II

Krzywizna Gaussa II

Theorema Egregium i  
Twierdzenie  
klasyfikacyjne

## Przykład

Niech  $W = \mathbb{R}^2$  i niech  $F: \mathbb{R}^2 \rightarrow \mathbb{R}^2$  będzie zadana (w standardowej bazie) przez macierz

$$\mathbf{A} = \begin{bmatrix} 1 & 1 \\ 1 & 0 \end{bmatrix}$$

Mamy wtedy

- ▶  $f_{\mathbf{A}}(t) = (1-t)t - 1 = t^2 - t - 1$
- ▶  $k_1 = \frac{1+\sqrt{5}}{2}$ , oraz  $k_2 = \frac{1-\sqrt{5}}{2}$ .
- ▶  $k_1 k_2 = \frac{1-\sqrt{5}^2}{4} = -1 = \det \mathbf{A}$ , oraz  $k_1 + k_2 = 1 = \operatorname{tr} \mathbf{A}$ .

Powierzchnie w  $\mathbb{R}^3$ Wektory styczne i  
normalne. I forma  
podstawowaPochodne  
kierunkowe.  
Izometria.

Krzywizna Gaussa I

Odwzorowanie Gaussa

Krzywizna Gaussa – Idea

Pole powierzchni

Powtórka z algebry liniowej II

Krzywizna Gaussa II

Theorema Egregium i  
Twierdzenie  
klasyfikacyjne

## Zadanie

Oswoić wszystkie nieznane definicje pojawiające się w powyższej powtórce z algebry liniowej i zrozumieć sformułowania powyższych twierdzeń (niekoniecznie z dowodami!)

# Wykład 9

## Krzywizna Gaussa II

Powierzchnie w  $\mathbb{R}^3$

Wektory styczne i normalne. I forma podstawowa

Pochodne kierunkowe. Izometria.

Krzywizna Gaussa I

Krzywizna Gaussa II

Odwzorowanie Weingartena

Druga forma podstawowa

Krzywizna Gaussa oraz krzywizna średnia

Agitacja na rzecz zgodności definicji

Theorema Egregium i Twierdzenie klasyfikacyjne

Powierzchnie w  $\mathbb{R}^3$

Wektory styczne i  
normalne. I forma  
podstawowa

Pochodne  
kierunkowe.  
Izometria.

Krzywizna Gaussa I

Krzywizna Gaussa II

Odwzorowanie Weingartena

Druga forma podstawowa

Krzywizna Gaussa oraz  
krzywizna średnia

Podsumowanie

Agitacja na rzecz zgodności  
definicji

Theorema Egregium i  
Twierdzenie  
klasyfikacyjne

## Lemat

*Niech  $M \subset \mathbb{R}^3$  będzie powierzchnią gładką, oraz niech  $x: U \rightarrow M$  będzie lokalnym układem współrzędnych wokół  $p \in x(U)$ .*

*Dla każdego wektora  $v \in T_p(M)$  pochodna kierunkowa*

$$D\hat{n}(v) \in T_p M$$

*(rozważanej abstrakcyjnie jako 2-wymiarowa podprzestrzeń liniowa w  $\mathbb{R}^3$ ).*



## Lemat

Niech  $M \subset \mathbb{R}^3$  będzie powierzchnią gładką, oraz niech  $x: U \rightarrow M$  będzie lokalnym układem współrzędnych wokół  $p \in x(U)$ .

Dla każdego wektora  $v \in T_p(M)$  pochodna kierunkowa

$$D\hat{n}(v) \in T_p M$$

(rozważanej abstrakcyjnie jako 2-wymiarowa podprzestrzeń liniowa w  $\mathbb{R}^3$ ).





**Dowód:**

Wektor normalny  $\hat{n}(p)$  ma długość 1 w każdym punkcie, więc możemy zapisać  $\langle \hat{n}, \hat{n} \rangle = 1$  wewnątrz  $x(U)$ .

Wtedy

$$0 = D\langle \hat{n}, \hat{n} \rangle(v) = \nabla_v \langle \hat{n}, \hat{n} \rangle = 2\langle \nabla_v \hat{n}, \hat{n} \rangle = 2\langle D\hat{n}(v), \hat{n} \rangle,$$

więc  $D\hat{n}(v)$  jest zawsze prostopadły do  $\hat{n}$ , zatem musi należeć do  $T_p M$ . □

**Dowód:**

Wektor normalny  $\hat{n}(p)$  ma długość 1 w każdym punkcie, więc możemy zapisać  $\langle \hat{n}, \hat{n} \rangle = 1$  wewnątrz  $x(U)$ .

Wtedy

$$0 = D\langle \hat{n}, \hat{n} \rangle(v) = \nabla_v \langle \hat{n}, \hat{n} \rangle = 2\langle \nabla_v \hat{n}, \hat{n} \rangle = 2\langle D\hat{n}(v), \hat{n} \rangle,$$

wiec  $D\hat{n}(v)$  jest zawsze prostopadły do  $\hat{n}$ , zatem musi należeć do  $T_p M$ . □

## Definicja

Przy powyższych oznaczeniach **odzworowaniem Weingartena** w punkcie  $p$  nazywamy odzworowanie  $L: T_p M \rightarrow T_p M$  zadane przez

$$L(v) \stackrel{\text{def.}}{=} -D\hat{n}(v) = -\nabla_v \hat{n}.$$

## Lemat

*Odzworowanie Weingartena  $L: T_p M \rightarrow T_p M$  jest odzworowaniem liniowym.*

## Dowód:

Lemat wynika z liniowości pochodnej kierunkowej (lemat 7.3). □

## Definicja

Przy powyższych oznaczeniach **odzworowaniem Weingartena** w punkcie  $p$  nazywamy odzworowanie  $L: T_p M \rightarrow T_p M$  zadane przez

$$L(v) \stackrel{\text{def.}}{=} -D\hat{n}(v) = -\nabla_v \hat{n}.$$

## Lemat

*Odzworowanie Weingartena  $L: T_p M \rightarrow T_p M$  jest odzworowaniem liniowym.*

## Dowód:

Lemat wynika z liniowości pochodnej kierunkowej (lemat 7.3). □

## Definicja

Przy powyższych oznaczeniach **odzworowaniem Weingartena** w punkcie  $p$  nazywamy odzworowanie  $L: T_p M \rightarrow T_p M$  zadane przez

$$L(v) \stackrel{\text{def.}}{=} -D\hat{n}(v) = -\nabla_v \hat{n}.$$

## Lemat

*Odzworowanie Weingartena  $L: T_p M \rightarrow T_p M$  jest odzworowaniem liniowym.*

### Dowód:

Lemat wynika z liniowości pochodnej kierunkowej (lemat 7.3). □



## Uwaga

*Chociaż do definicji odwzorowania Weingartena używamy lokalnego układu współrzędnych, jednak przy innym wyborze  $x: U \rightarrow M$ , odwzorowanie  $L$  może się różnić tylko o znak  $\pm$ .*

## Definicja

Niech  $M \subset \mathbb{R}^3$  będzie powierzchnią gładką i niech  $x: U \rightarrow M$  będzie lokalnym układem współrzędnych wokół  $p \in x(U)$ .

**Druga forma podstawowa** w punkcie  $p$  to odwzorowanie dwuliniowe  $\Pi_p: T_p M \times T_p M \rightarrow \mathbb{R}$  indukowane przez odwzorowanie Weingartena  $L$ , tj. zadane wzorem

$$\Pi_p(v, w) = \langle L(v), w \rangle,$$

dla wszystkich  $v, w$  z przestrzeni stycznej  $T_p M$ .

## Uwaga

*Tak jak odwzorowanie Weingartena, druga forma podstawowa jest zdefiniowana z dokładnością do znaku.*



## Definicja

Niech  $M \subset \mathbb{R}^3$  będzie powierzchnią gładką i niech  $x: U \rightarrow M$  będzie lokalnym układem współrzędnych wokół  $p \in x(U)$ .

**Druga forma podstawowa** w punkcie  $p$  to odwzorowanie dwuliniowe  $\Pi_p: T_p M \times T_p M \rightarrow \mathbb{R}$  indukowane przez odwzorowanie Weingartena  $L$ , tj. zadane wzorem

$$\Pi_p(v, w) = \langle L(v), w \rangle,$$

dla wszystkich  $v, w$  z przestrzeni stycznej  $T_p M$ .

## Uwaga

*Tak jak odwzorowanie Weingartena, druga forma podstawowa jest zdefiniowana z dokładnością do znaku.*

## Definicja

Niech  $M \subset \mathbb{R}^3$  będzie powierzchnią gładką i niech  $x: U \rightarrow M$  będzie lokalnym układem współrzędnych wokół  $p \in x(U)$ .

**Druga forma podstawowa** w punkcie  $p$  to odwzorowanie dwuliniowe  $\Pi_p: T_p M \times T_p M \rightarrow \mathbb{R}$  indukowane przez odwzorowanie Weingartena  $L$ , tj. zadane wzorem

$$\Pi_p(v, w) = \langle L(v), w \rangle,$$

dla wszystkich  $v, w$  z przestrzeni stycznej  $T_p M$ .

## Uwaga

*Tak jak odwzorowanie Weingartena, druga forma podstawowa jest zdefiniowana z dokładnością do znaku.*



## Uwaga (Oznaczenie)

*Macierze odwzorowania Weingartena i drugiej formy podstawowej (w standardowej bazie przestrzeni stycznej  $x_1, x_2$ ) oznaczamy odpowiednio przez*

$$(L_{ij}) = \begin{bmatrix} L_{11} & L_{12} \\ L_{21} & L_{22} \end{bmatrix} \quad (l_{ij}) = \begin{bmatrix} l_{11} & l_{12} \\ l_{21} & l_{22} \end{bmatrix}$$

## Wniosek

*Na podstawie powtórki z algebry liniowej II, mamy*

$$(l_{ij}) = (L_{ij})^t (g_{ij}),$$

*więc korzystając z własności odwrotności i transpozycji otrzymujemy*

$$(L_{ij}) = (g_{ij})^{-1} (l_{ij})^t.$$









## (2.) Mamy

$$0 = \frac{\partial \langle n, x_j \rangle}{\partial u_i} = \langle n_i, x_j \rangle + \langle n, x_{ij} \rangle,$$

(1.) Mamy następujący ciąg równości:

$$n_i = \frac{\partial(\hat{n} \circ x)}{\partial u_i} = \nabla_{x_i} \hat{n} = -L(x_i) = -L_{1i}x_1 - L_{2i}x_2,$$

gdzie  $x = x(u_1, u_2)$  ( $u_i$  są zmiennymi lokalnego układu współrzędnych  $x$ ).

## (2.) Mamy

$$0 = \frac{\partial \langle n, x_j \rangle}{\partial u_i} = \langle n_i, x_j \rangle + \langle n, x_{ij} \rangle,$$

(1.) Mamy następujący ciąg równości:

$$n_i = \frac{\partial(\hat{n} \circ x)}{\partial u_i} = \nabla_{x_i} \hat{n} = -L(x_i) = -L_{1i}x_1 - L_{2i}x_2,$$

gdzie  $x = x(u_1, u_2)$  ( $u_i$  są zmiennymi lokalnego układu współrzędnych  $x$ ).

(2.) Mamy

$$l_{ij} = \mathbb{I}(x_i, x_j) = \langle L(x_i), x_j \rangle^* = -\langle \nabla_{x_i} n, x_j \rangle = -\langle n_i, x_j \rangle,$$

co dowodzi pierwszej równości w punkcie 2 (równość \* wynika z dowodu pierwszej części). Aby udowodnić drugą równość, skorzystamy z tego, że  $\langle n, x_i \rangle = 0$ . Mamy

$$0 = \frac{\partial \langle n, x_j \rangle}{\partial u_i} = \langle n_i, x_j \rangle + \langle n, x_{ij} \rangle,$$

(1.) Mamy następujący ciąg równości:

$$n_i = \frac{\partial(\hat{n} \circ x)}{\partial u_i} = \nabla_{x_i} \hat{n} = -L(x_i) = -L_{1i}x_1 - L_{2i}x_2,$$

gdzie  $x = x(u_1, u_2)$  ( $u_i$  są zmiennymi lokalnego układu współrzędnych  $x$ ).

(2.) Mamy

$$l_{ij} = \mathbb{I}(x_i, x_j) = \langle L(x_i), x_j \rangle^* = -\langle \nabla_{x_i} n, x_j \rangle = -\langle n_i, x_j \rangle,$$

co dowodzi pierwszej równości w punkcie 2 (równość \* wynika z dowodu pierwszej części). Aby udowodnić drugą równość, skorzystamy z tego, że  $\langle n, x_i \rangle = 0$ . Mamy

$$0 = \frac{\partial \langle n, x_j \rangle}{\partial u_i} = \langle n_i, x_j \rangle + \langle n, x_{ij} \rangle,$$

(1.) Mamy następujący ciąg równości:

$$n_i = \frac{\partial(\hat{n} \circ x)}{\partial u_i} = \nabla_{x_i} \hat{n} = -L(x_i) = -L_{1i}x_1 - L_{2i}x_2,$$

gdzie  $x = x(u_1, u_2)$  ( $u_i$  są zmiennymi lokalnego układu współrzędnych  $x$ ).

(2.) Mamy

$$l_{ij} = \mathbb{I}(x_i, x_j) = \langle L(x_i), x_j \rangle^* = -\langle \nabla_{x_i} n, x_j \rangle = -\langle n_i, x_j \rangle,$$

co dowodzi pierwszej równości w punkcie 2 (równość \* wynika z dowodu pierwszej części). Aby udowodnić drugą równość, skorzystamy z tego, że  $\langle n, x_i \rangle = 0$ . Mamy

$$0 = \frac{\partial \langle n, x_j \rangle}{\partial u_i} = \langle n_i, x_j \rangle + \langle n, x_{ij} \rangle,$$

skąd natychmiast wynika druga równość.

9

## Lemat

- ▶ Druga forma podstawowa II jest symetryczna.
- ▶ Macierz  $(L_{ij})$  odwzorowania Weingartena  $L$  jest symetryczna **w każdej bazie ortonormalnej**.

### Dowód :

Symetryczność macierzy  $(l_{ij})$  wynika z równości  $l_{ij} = \langle n, x_{ij} \rangle$  oraz  $x_{12} = x_{21}$ .

Druga teza wynika wtedy z powiązań macierzy symetrycznej z symetrycznością odwzorowania przez nią indukowanego (lemat 8.6 cytowany podczas powtórki z algebry liniowej II).  $\square$

Powierzchnie w  $\mathbb{R}^3$

Wektory styczne i normalne. I forma podstawowa

Pochodne kierunkowe. Izometria.

Krzywizna Gaussa I

Krzywizna Gaussa II

Odwzorowanie Weingartena

Druga forma podstawowa

Krzywizna Gaussa oraz krzywizna średnia

Podsumowanie

Agitacja na rzecz zgodności definicji

Theorema Egregium i Twierdzenie klasyfikacyjne



## Lemat

- ▶ *Druga forma podstawowa II jest symetryczna.*
- ▶ *Macierz  $(L_{ij})$  odwzorowania Weingartena  $L$  jest symetryczna w każdej bazie ortonormalnej.*

### Dowód :

Symetryczność macierzy  $(l_{ij})$  wynika z równości  $l_{ij} = \langle n, x_{ij} \rangle$  oraz  $x_{12} = x_{21}$ .

Druga teza wynika wtedy z powiązań macierzy symetrycznej z symetrycznością odwzorowania przez nią indukowanego (lemat 8.6 cytowany podczas powtórki z algebry liniowej II).  $\square$

Powierzchnie w  $\mathbb{R}^3$

Wektory styczne i normalne. I forma podstawowa

Pochodne kierunkowe. Izometria.

Krzywizna Gaussa I

Krzywizna Gaussa II

Odwzorowanie Weingartena

Druga forma podstawowa

Krzywizna Gaussa oraz krzywizna średnia

Podsumowanie

Agitacja na rzecz zgodności definicji

Theorema Egregium i Twierdzenie klasyfikacyjne

## Lemat

- ▶ *Druga forma podstawowa II jest symetryczna.*
- ▶ *Macierz  $(L_{ij})$  odwzorowania Weingartena  $L$  jest symetryczna **w każdej bazie ortonormalnej**.*

## Dowód :

Symetryczność macierzy  $(l_{ij})$  wynika z równości  $l_{ij} = \langle n, x_{ij} \rangle$  oraz  $x_{12} = x_{21}$ .

Druga teza wynika wtedy z powiązań macierzy symetrycznej z symetrycznością odwzorowania przez nią indukowanego (lemat 8.6 cytowany podczas powtórki z algebry liniowej II).  $\square$

Powierzchnie w  $\mathbb{R}^3$

Wektory styczne i normalne. I forma podstawowa

Pochodne kierunkowe. Izometria.

Krzywizna Gaussa I

Krzywizna Gaussa II

Odwzorowanie Weingartena

Druga forma podstawowa

Krzywizna Gaussa oraz krzywizna średnia

Podsumowanie

Agitacja na rzecz zgodności definicji

Theorema Egregium i Twierdzenie klasyfikacyjne

## Lemat

- ▶ *Druga forma podstawowa II jest symetryczna.*
- ▶ *Macierz  $(L_{ij})$  odwzorowania Weingartena  $L$  jest symetryczna **w każdej bazie ortonormalnej**.*

### Dowód :

Symetryczność macierzy  $(l_{ij})$  wynika z równości  $l_{ij} = \langle n, x_{ij} \rangle$  oraz  $x_{12} = x_{21}$ .

Druga teza wynika wtedy z powiązań macierzy symetrycznej z symetrycznością odwzorowania przez nią indukowanego (lemat 8.6 cytowany podczas powtórki z algebry liniowej II).  $\square$

Powierzchnie w  $\mathbb{R}^3$

Wektory styczne i normalne. I forma podstawowa

Pochodne kierunkowe. Izometria.

Krzywizna Gaussa I

Krzywizna Gaussa II

Odwzorowanie Weingartena

Druga forma podstawowa

Krzywizna Gaussa oraz krzywizna średnia

Podsumowanie

Agitacja na rzecz zgodności definicji

Theorema Egregium i Twierdzenie klasyfikacyjne

## Lemat

- ▶ *Druga forma podstawowa II jest symetryczna.*
- ▶ *Macierz  $(L_{ij})$  odwzorowania Weingartena  $L$  jest symetryczna **w każdej bazie ortonormalnej**.*

### Dowód :

Symetryczność macierzy  $(l_{ij})$  wynika z równości  $l_{ij} = \langle n, x_{ij} \rangle$  oraz  $x_{12} = x_{21}$ .

Druga teza wynika wtedy z powiązań macierzy symetrycznej z symetrycznością odwzorowania przez nią indukowanego (lemat 8.6 cytowany podczas powtórki z algebry liniowej II).  $\square$

Powierzchnie w  $\mathbb{R}^3$

Wektory styczne i normalne. I forma podstawowa

Pochodne kierunkowe. Izometria.

Krzywizna Gaussa I

Krzywizna Gaussa II

Odwzorowanie Weingartena

Druga forma podstawowa

Krzywizna Gaussa oraz krzywizna średnia

Podsumowanie

Agitacja na rzecz zgodności definicji

Theorema Egregium i Twierdzenie klasyfikacyjne





# Krzywizna powierzchni

Elementarna  
Geometria  
Różniczkowa

Opracowanie:  
Marek Kaluba

Macierz odwzorowania liniowego zależy od wyboru bazy przestrzeni, jednak wyznacznik i ślad tego odwzorowania są od bazy niezależne.

## Definicja

Niech  $M \subset \mathbb{R}^3$  będzie powierzchnią gładką i niech  $L$  będzie oznaczało odwzorowanie Weingartena. Zdefiniujemy dwie funkcje skalarne  $K: M \rightarrow \mathbb{R}$ ,  $H: M \rightarrow \mathbb{R}$  następująco

$$K(p) = \det L(p) \qquad H(p) = \frac{1}{2} \operatorname{tr} L(p).$$

Nazywamy je odpowiednio **krzywizną Gaussa** i **krzywizną średnią**.

Powierzchnie w  $\mathbb{R}^3$

Wektory styczne i normalne. I forma podstawowa

Pochodne kierunkowe. Izometria.

Krzywizna Gaussa I

Krzywizna Gaussa II

Odwzorowanie Weingartena

Druga forma podstawowa

Krzywizna Gaussa oraz krzywizna średnia

Podsumowanie

Agitacja na rzecz zgodności definicji

Theorema Egregium i Twierdzenie klasyfikacyjne

# Krzywizna powierzchni

Elementarna  
Geometria  
Różniczkowa

Opracowanie:  
Marek Kaluba

Macierz odwzorowania liniowego zależy od wyboru bazy przestrzeni, jednak wyznacznik i ślad tego odwzorowania są od bazy niezależne.

## Definicja

Niech  $M \subset \mathbb{R}^3$  będzie powierzchnią gładką i niech  $L$  będzie oznaczało odwzorowanie Weingartena. Zdefiniujemy dwie funkcje skalarne  $K: M \rightarrow \mathbb{R}$ ,  $H: M \rightarrow \mathbb{R}$  następująco

$$K(p) = \det L(p) \qquad H(p) = \frac{1}{2} \operatorname{tr} L(p).$$

Nazywamy je odpowiednio **krzywizną Gaussa** i **krzywizną średnią**.

Powierzchnie w  $\mathbb{R}^3$

Wektory styczne i normalne. I forma podstawowa

Pochodne kierunkowe. Izometria.

Krzywizna Gaussa I

Krzywizna Gaussa II

Odwzorowanie Weingartena

Druga forma podstawowa

Krzywizna Gaussa oraz krzywizna średnia

Podsumowanie

Agitacja na rzecz zgodności definicji

Theorema Egregium i Twierdzenie klasyfikacyjne



# Krzywizna powierzchni

Elementarna  
Geometria  
Różniczkowa

Opracowanie:  
Marek Kaluba

Macierz odwzorowania liniowego zależy od wyboru bazy przestrzeni, jednak wyznacznik i ślad tego odwzorowania są od bazy niezależne.

## Definicja

Niech  $M \subset \mathbb{R}^3$  będzie powierzchnią gładką i niech  $L$  będzie oznaczało odwzorowanie Weingartena. Zdefiniujemy dwie funkcje skalarne  $K: M \rightarrow \mathbb{R}$ ,  $H: M \rightarrow \mathbb{R}$  następująco

$$K(p) = \det L(p) \qquad H(p) = \frac{1}{2} \operatorname{tr} L(p).$$

Nazywamy je odpowiednio **krzywizną Gaussa** i **krzywizną średnią**.

Powierzchnie w  $\mathbb{R}^3$

Wektory styczne i normalne. I forma podstawowa

Pochodne kierunkowe. Izometria.

Krzywizna Gaussa I

Krzywizna Gaussa II

Odwzorowanie Weingartena

Druga forma podstawowa

Krzywizna Gaussa oraz krzywizna średnia

Podsumowanie

Agitacja na rzecz zgodności definicji

Theorema Egregium i Twierdzenie klasyfikacyjne









## Lemat

Niech  $M \subset \mathbb{R}^3$  będzie powierzchnią gładką, oraz niech  $x: U \rightarrow M$  będzie lokalnym układem współrzędnych wokół  $p \in x(U)$ .

$$K(p) = \frac{\det(l_{ij})}{\det(g_{ij})}, \quad \text{oraz} \quad H(p) = \frac{g_{11}l_{22} - 2g_{12}l_{12} + g_{22}l_{11}}{2\det(g_{ij})}$$

### Dowód:

Przypomnijmy, że  $(L_{ij}) = (g_{ij})^{-1}(l_{ij})$ . Mamy zatem

$$K(p) = \det(L_{ij}) = \det((g_{ij})^{-1}(l_{ij})) = \frac{\det(l_{ij})}{\det(g_{ij})}.$$

Podobnie

$$\begin{aligned} H(p) &= \frac{1}{2} \operatorname{tr}(L_{ij}) = \frac{1}{2\det(g_{ij})} \operatorname{tr} \left( \begin{bmatrix} g_{22} & -g_{21} \\ -g_{12} & g_{11} \end{bmatrix} \begin{bmatrix} l_{11} & l_{12} \\ l_{21} & l_{22} \end{bmatrix} \right) \\ &= \frac{1}{2\det(g_{ij})} \begin{bmatrix} g_{22}l_{11} - g_{21}l_{12} & * \\ * & -g_{12}l_{21} + g_{11}l_{22} \end{bmatrix} \end{aligned}$$

## Lemat

Niech  $M \subset \mathbb{R}^3$  będzie powierzchnią gładką, oraz niech  $x: U \rightarrow M$  będzie lokalnym układem współrzędnych wokół  $p \in x(U)$ .

$$K(p) = \frac{\det(l_{ij})}{\det(g_{ij})}, \quad \text{oraz} \quad H(p) = \frac{g_{11}l_{22} - 2g_{12}l_{12} + g_{22}l_{11}}{2\det(g_{ij})}$$

## Dowód:

Przypomnijmy, że  $(L_{ij}) = (g_{ij})^{-1}(l_{ij})$ . Mamy zatem

$$K(p) = \det(L_{ij}) = \det((g_{ij})^{-1}(l_{ij})) = \frac{\det(l_{ij})}{\det(g_{ij})}.$$

Podobnie

$$\begin{aligned} H(p) &= \frac{1}{2} \operatorname{tr}(L_{ij}) = \frac{1}{2\det(g_{ij})} \operatorname{tr} \left( \begin{bmatrix} g_{22} & -g_{21} \\ -g_{12} & g_{11} \end{bmatrix} \begin{bmatrix} l_{11} & l_{12} \\ l_{21} & l_{22} \end{bmatrix} \right) \\ &= \frac{1}{2\det(g_{ij})} \begin{bmatrix} g_{22}l_{11} - g_{21}l_{12} & * \\ * & -g_{12}l_{21} + g_{11}l_{22} \end{bmatrix} \end{aligned}$$

## Lemat

Niech  $M \subset \mathbb{R}^3$  będzie powierzchnią gładką, oraz niech  $x: U \rightarrow M$  będzie lokalnym układem współrzędnych wokół  $p \in x(U)$ .

$$K(p) = \frac{\det(l_{ij})}{\det(g_{ij})}, \quad \text{oraz} \quad H(p) = \frac{g_{11}l_{22} - 2g_{12}l_{12} + g_{22}l_{11}}{2 \det(g_{ij})}$$

### Dowód:

Przypomnijmy, że  $(L_{ij}) = (g_{ij})^{-1}(l_{ij})$ . Mamy zatem

$$K(p) = \det(L_{ij}) = \det((g_{ij})^{-1}(l_{ij})) = \frac{\det(l_{ij})}{\det(g_{ij})}.$$

## Podobnie

$$H(p) = \frac{1}{2} \text{tr}(L_{ij}) = \frac{1}{2 \det(g_{ij})} \text{tr} \left( \begin{bmatrix} g_{22} & -g_{21} \\ -g_{12} & g_{11} \end{bmatrix} \begin{bmatrix} l_{11} & l_{12} \\ l_{21} & l_{22} \end{bmatrix} \right) = \frac{1}{2 \det(g_{ij})} \begin{bmatrix} g_{22}l_{11} - g_{21}l_{12} & * \\ * & -g_{12}l_{21} + g_{11}l_{22} \end{bmatrix}$$



# Podsumowanie

Aby obliczyć krzywizny (średnią i Gaussa) powierzchni potrzebujemy następujące wielkości:

$$g_{11} = \langle x_1, x_1 \rangle, \quad g_{12} = g_{21} = \langle x_1, x_2 \rangle, \quad g_{22} = \langle x_2, x_2 \rangle,$$

$$n = \frac{x_1 \times x_2}{\|x_1 \times x_2\|} = \frac{x_1 \times x_2}{\sqrt{\det(g_{ij})}},$$

$$l_{11} = \langle n_1, x_1 \rangle, \quad l_{12} = l_{21} = \langle n_2, x_1 \rangle, \quad l_{22} = \langle n_2, x_2 \rangle,$$

$$K(p) = \frac{\det(l_{ij})}{\det(g_{ij})}, \quad H(p) = \frac{g_{11}l_{22} - 2g_{12}l_{12} + g_{22}l_{11}}{2 \det(g_{ij})}.$$

Powierzchnie w  $\mathbb{R}^3$

Wektory styczne i normalne. I forma podstawowa

Pochodne kierunkowe. Izometria.

Krzywizna Gaussa I

Krzywizna Gaussa II

Odwzorowanie Weingartena

Druga forma podstawowa

Krzywizna Gaussa oraz krzywizna średnia

Podsumowanie

Agitacja na rzecz zgodności definicji

Theorema Egregium i Twierdzenie klasyfikacyjne

# Agitacja na rzecz zgodności definicji

Elementarna  
Geometria  
Różniczkowa

Opracowanie:  
Marek Kaluba

Niech  $M \subset \mathbb{R}^3$  będzie gładką powierzchnią i niech  $x: U \rightarrow M$  będzie lokalnym układem współrzędnych wokół  $p \in M$ .

Oznaczmy przez  $\bar{p} = x^{-1}(p)$ .

Przypomnijmy oryginalną definicję Gaussa krzywizny i zastąpmy pola przez odpowiednie całki:

$$\begin{aligned} K_G(p) &= \lim_{T \rightarrow \{p\}} \frac{A(\widehat{n}(V))}{A(V)} = \frac{\iint_{x^{-1}(V)} |\langle n_1 \times n_2, n \rangle| ds dt}{\iint_{x^{-1}(V)} |\langle x_1 \times x_2, n \rangle| ds dt} = \\ &= \frac{\iint_{x^{-1}(V)} |\langle n_1 \times n_2, n \rangle| ds dt}{\iint_{x^{-1}(V)} \sqrt{|\det(g_{ij})|} ds dt}. \end{aligned}$$

Powierzchnie w  $\mathbb{R}^3$

Wektory styczne i normalne. I forma podstawowa

Pochodne kierunkowe. Izometria.

Krzywizna Gaussa I

Krzywizna Gaussa II

Odwzorowanie Weingartena

Druga forma podstawowa

Krzywizna Gaussa oraz krzywizna średnia

Podsumowanie

Agitacja na rzecz zgodności definicji

Theorema Egregium i Twierdzenie klasyfikacyjne

# Agitacja na rzecz zgodności definicji

Elementarna  
Geometria  
Różniczkowa

Opracowanie:  
Marek Kaluba

Powierzchnie w  $\mathbb{R}^3$

Wektory styczne i  
normalne. I forma  
podstawowa

Pochodne  
kierunkowe.  
Izometria.

Krzywizna Gaussa I

Krzywizna Gaussa II

Odwzorowanie Weingartena

Druga forma podstawowa

Krzywizna Gaussa oraz  
krzywizna średnia

Podsumowanie

Agitacja na rzecz zgodności  
definicji

Theorema Egregium i  
Twierdzenie  
klasyfikacyjne

Niech  $M \subset \mathbb{R}^3$  będzie gładką powierzchnią i niech  $x: U \rightarrow M$  będzie lokalnym układem współrzędnych wokół  $p \in M$ .

Oznaczmy przez  $\bar{p} = x^{-1}(p)$ .

Przypomnijmy oryginalną definicję Gaussa krzywizny i zastąpmy pola przez odpowiednie całki:

$$\begin{aligned} K_G(p) &= \lim_{T \rightarrow \{p\}} \frac{A(\hat{n}(V))}{A(V)} = \frac{\iint_{x^{-1}(V)} |\langle n_1 \times n_2, n \rangle| ds dt}{\iint_{x^{-1}(V)} |\langle x_1 \times x_2, n \rangle| ds dt} = \\ &= \frac{\iint_{x^{-1}(V)} |\langle n_1 \times n_2, n \rangle| ds dt}{\iint_{x^{-1}(V)} \sqrt{|\det(g_{ij})|} ds dt}. \end{aligned}$$

# Agitacja na rzecz zgodności definicji

Elementarna  
Geometria  
Różniczkowa

Opracowanie:  
Marek Kaluba

Powierzchnie w  $\mathbb{R}^3$

Wektory styczne i  
normalne. I forma  
podstawowa

Pochodne  
kierunkowe.  
Izometria.

Krzywizna Gaussa I

Krzywizna Gaussa II

Odwzorowanie Weingartena

Druga forma podstawowa

Krzywizna Gaussa oraz  
krzywizna średnia

Podsumowanie

Agitacja na rzecz zgodności  
definicji

Theorema Egregium i  
Twierdzenie  
klasyfikacyjne

Niech  $M \subset \mathbb{R}^3$  będzie gładką powierzchnią i niech  $x: U \rightarrow M$  będzie lokalnym układem współrzędnych wokół  $p \in M$ .

Oznaczmy przez  $\bar{p} = x^{-1}(p)$ .

Przypomnijmy oryginalną definicję Gaussa krzywizny i zastąpmy pola przez odpowiednie całki:

$$\begin{aligned} K_G(p) &= \lim_{T \rightarrow \{p\}} \frac{A(\widehat{n}(V))}{A(V)} = \frac{\iint_{x^{-1}(V)} |\langle n_1 \times n_2, n \rangle| ds dt}{\iint_{x^{-1}(V)} |\langle x_1 \times x_2, n \rangle| ds dt} = \\ &= \frac{\iint_{x^{-1}(V)} |\langle n_1 \times n_2, n \rangle| ds dt}{\iint_{x^{-1}(V)} \sqrt{|\det(g_{ij})|} ds dt}. \end{aligned}$$

Teraz użyjemy twierdzenia o wartości średniej które mówi, że dla każdego takiego zbioru  $V$  muszą istnieć takie punkty  $a_V, b_V \in x^{-1}(V)$ , że cała całka wyraża się jako wartość funkcji podcałkowej w tych punktach:

$$\iint_{x^{-1}(V)} |\langle n_1 \times n_2, n \rangle| ds dt = |\langle n_1(a_V) \times n_2(a_V), n(a_V) \rangle| A(x^{-1}(V)),$$
$$\iint_{x^{-1}(V)} \sqrt{|\det(g_{ij})|} ds dt = \sqrt{|\det(g_{ij}(b_V))|} A(x^{-1}(V)).$$

Powierzchnie w  $\mathbb{R}^3$ Wektory styczne i  
normalne. I forma  
podstawowaPochodne  
kierunkowe.  
Izometria.

Krzywizna Gaussa I

Krzywizna Gaussa II

Odwzorowanie Weingartena

Druga forma podstawowa

Krzywizna Gaussa oraz  
krzywizna średnia

Podsumowanie

Agitacja na rzecz zgodności  
definicjiTheorema Egregium i  
Twierdzenie  
klasyfikacyjne





Zauważmy, że skoro  $V \rightarrow \{p\}$ , więc  $a_V \rightarrow \bar{p}$  oraz  $b_V \rightarrow \bar{p}$ .  
Mamy więc

$$\begin{aligned} \lim_{V \rightarrow \{p\}} \frac{A(\hat{n}(V))}{A(V)} &= \lim_{V \rightarrow \{p\}} \frac{|\langle n_1(a_V) \times n_2(a_V), n(a_V) \rangle| A(x^{-1}(V))}{\sqrt{|\det(g_{ij}(b_V))|} A(x^{-1}(V))} = \\ &= \frac{|\langle n_1(\bar{p}) \times n_2(\bar{p}), n(\bar{p}) \rangle|}{\sqrt{|\det(g_{ij}(\bar{p}))|}}. \end{aligned}$$

Z równań Weingartena na pochodne wektora normalnego  
( $n_i = -L_{1i}x_1 - L_{2i}x_2$ ) otrzymujemy

$$\begin{aligned} n_1 \times n_2 &= (- (L_{11}x_1 + L_{21}x_2)) \times (- (L_{21}x_1 + L_{22}x_2)) = \\ &= (x_1 \times x_2)(L_{11}L_{22} - L_{21}L_{12}) = K(p)(x_1 \times x_2) \end{aligned}$$

(jest to krzywizna  $K(p)$  zdefiniowana jako  $\det(L_{ij})$ ).

Powierzchnie w  $\mathbb{R}^3$ Wektory styczne i  
normalne. I forma  
podstawowaPochodne  
kierunkowe.  
Izometria.

Krzywizna Gaussa I

Krzywizna Gaussa II

Odwzorowanie Weingartena

Druga forma podstawowa

Krzywizna Gaussa oraz  
krzywizna średnia

Podsumowanie

Agitacja na rzecz zgodności  
definicjiTheorema Egregium i  
Twierdzenie  
klasyfikacyjne















## Wykład 10

# Theorema Egregium i Twierdzenie klasyfikacyjne

Powierzchnie w  $\mathbb{R}^3$

Wektory styczne i normalne. I forma podstawowa

Pochodne kierunkowe. Izometria.

Krzywizna Gaussa I

Krzywizna Gaussa II

Theorema Egregium i Twierdzenie klasyfikacyjne

Symbole Christoffela

Theorema Egregium

Twierdzenie klasyfikujące

Powierzchnie w  $\mathbb{R}^3$

Wektory styczne i  
normalne. I forma  
podstawowa

Pochodne  
kierunkowe.  
Izometria.

Krzywizna Gaussa I

Krzywizna Gaussa II

Theorema Egregium i  
Twierdzenie  
klasyfikacyjne

Symbole Christoffela

Theorema Egregium

Twierdzenie klasyfikujące



# Symbole Christoffela

Elementarna  
Geometria  
Różniczkowa

Opracowanie:  
Marek Kaluba

Przypomnijmy najpierw równania Weingartena:

$$n_i = -L_{1i}x_1 - L_{2i}x_2.$$

Wyrażają one pochodne cząstkowe wektora normalnego w bazie  $\{x_1, x_2, n\}$ . Udowodnimy teraz podobne wzory dla drugich pochodnych cząstkowych  $x_{ij}$ .

## Twierdzenie (Formuła Gaussa)

*Niech  $M \subset \mathbb{R}^3$  będzie powierzchnią gładką oraz niech  $x: U \rightarrow M$  będzie lokalnym układem współrzędnych. Wtedy*

$$x_{ij} = \Gamma_{ij}^1 x_1 + \Gamma_{ij}^2 x_2 + l_{ij} n. \quad (10.1)$$

Powierzchnie w  $\mathbb{R}^3$

Wektory styczne i normalne. I forma podstawowa

Pochodne kierunkowe. Izometria.

Krzywizna Gaussa I

Krzywizna Gaussa II

Theorema Egregium i Twierdzenie klasyfikacyjne

Symbole Christoffela

Theorema Egregium

Twierdzenie klasyfikujące

# Symbole Christoffela

Elementarna  
Geometria  
Różniczkowa

Opracowanie:  
Marek Kaluba

Przypomnijmy najpierw równania Weingartena:

$$n_i = -L_{1i}x_1 - L_{2i}x_2.$$

Wyrażają one pochodne cząstkowe wektora normalnego w bazie  $\{x_1, x_2, n\}$ . Udowodnimy teraz podobne wzory dla drugich pochodnych cząstkowych  $x_{ij}$ .

## Twierdzenie (Formuła Gaussa)

*Niech  $M \subset \mathbb{R}^3$  będzie powierzchnią gładką oraz niech  $x: U \rightarrow M$  będzie lokalnym układem współrzędnych. Wtedy*

$$x_{ij} = \Gamma_{ij}^1 x_1 + \Gamma_{ij}^2 x_2 + l_{ij} n. \quad (10.1)$$

Powierzchnie w  $\mathbb{R}^3$

Wektory styczne i  
normalne. I forma  
podstawowa

Pochodne  
kierunkowe.  
Izometria.

Krzywizna Gaussa I

Krzywizna Gaussa II

Theorema Egregium i  
Twierdzenie  
klasyfikacyjne

Symbole Christoffela

Theorema Egregium

Twierdzenie klasyfikujące



## Uwaga

Ponieważ funkcje  $\Gamma_{ij}^k$  zwane **symbolami Christoffela** nie pojawiły się jeszcze na tym wykładzie, możemy to sformułowanie przyjąć jako ich **definicję** (z resztą tak samo zdefiniowaliśmy torsję krzywej).

Ponieważ  $x_{ij} = x_{ji}$ , więc natychmiast otrzymujemy pierwszą własność tych symboli:

$$\Gamma_{ij}^k = \Gamma_{ji}^k, \quad \text{dla } k = 1, 2.$$

Powierzchnie w  $\mathbb{R}^3$ Wektory styczne i  
normalne. I forma  
podstawowaPochodne  
kierunkowe.  
Izometria.

Krzywizna Gaussa I

Krzywizna Gaussa II

Theorema Egregium i  
Twierdzenie  
klasyfikacyjne

Symbole Christoffela

Theorema Egregium

Twierdzenie klasyfikujące

## Dowód Formuły Gaussa:

Ponieważ układ  $\{x_1, x_2, n\}$  tworzy bazę przestrzeni  $\mathbb{R}^3$ , więc muszą istnieć współczynniki  $\Gamma_{ij}^k$  oraz  $Q_{ij}$  takie, że

$$x_{ij} = \Gamma_{ij}^1 x_1 + \Gamma_{ij}^2 x_2 + Q_{ij} n.$$

Zrzutujemy ortogonalnie obie strony tego równania na wektory  $x_1, x_2$  i  $n$ :

$$\langle x_{ij}, x_1 \rangle = \Gamma_{ij}^1 g_{11} + \Gamma_{ij}^2 g_{12}$$

$$\langle x_{ij}, x_2 \rangle = \Gamma_{ij}^1 g_{21} + \Gamma_{ij}^2 g_{22}$$

$$\langle x_{ij}, n \rangle = Q_{ij}$$

Natychmiast z tego wynika, że  $Q_{ij} = \langle x_{ij}, n \rangle = \langle x_i, n_j \rangle = l_{ij}$ .  
Pozostałe dwa równania potraktujemy jako własności symboli Christoffela. □

## Dowód Formuły Gaussa:

Ponieważ układ  $\{x_1, x_2, n\}$  tworzy bazę przestrzeni  $\mathbb{R}^3$ , więc muszą istnieć współczynniki  $\Gamma_{ij}^k$  oraz  $Q_{ij}$  takie, że

$$x_{ij} = \Gamma_{ij}^1 x_1 + \Gamma_{ij}^2 x_2 + Q_{ij} n.$$

Zrzutujemy ortogonalnie obie strony tego równania na wektory  $x_1, x_2$  i  $n$ :

$$\langle x_{ij}, x_1 \rangle = \Gamma_{ij}^1 g_{11} + \Gamma_{ij}^2 g_{12}$$

$$\langle x_{ij}, x_2 \rangle = \Gamma_{ij}^1 g_{21} + \Gamma_{ij}^2 g_{22}$$

$$\langle x_{ij}, n \rangle = Q_{ij}$$

Natychmiast z tego wynika, że  $Q_{ij} = \langle x_{ij}, n \rangle = \langle x_i, n_j \rangle = l_{ij}$ .  
Pozostałe dwa równania potraktujemy jako własności symboli Christoffela. □

Powierzchnie w  $\mathbb{R}^3$ Wektory styczne i  
normalne. I forma  
podstawowaPochodne  
kierunkowe.  
Izometria.

Krzywizna Gaussa I

Krzywizna Gaussa II

Theorema Egregium i  
Twierdzenie  
klasyfikacyjne

Symbole Christoffela

Theorema Egregium

Twierdzenie klasyfikujące

## Dowód Formuły Gaussa:

Ponieważ układ  $\{x_1, x_2, n\}$  tworzy bazę przestrzeni  $\mathbb{R}^3$ , więc muszą istnieć współczynniki  $\Gamma_{ij}^k$  oraz  $Q_{ij}$  takie, że

$$x_{ij} = \Gamma_{ij}^1 x_1 + \Gamma_{ij}^2 x_2 + Q_{ij} n.$$

Zrzutujemy ortogonalnie obie strony tego równania na wektory  $x_1, x_2$  i  $n$ :

$$\langle x_{ij}, x_1 \rangle = \Gamma_{ij}^1 g_{11} + \Gamma_{ij}^2 g_{12}$$

$$\langle x_{ij}, x_2 \rangle = \Gamma_{ij}^1 g_{21} + \Gamma_{ij}^2 g_{22}$$

$$\langle x_{ij}, n \rangle = Q_{ij}$$

Natychmiast z tego wynika, że  $Q_{ij} = \langle x_{ij}, n \rangle = \langle x_i, n_j \rangle = l_{ij}$ .  
Pozostałe dwa równania potraktujmy jako własności symboli Christoffela. □

Powierzchnie w  $\mathbb{R}^3$ Wektory styczne i  
normalne. I forma  
podstawowaPochodne  
kierunkowe.  
Izometria.

Krzywizna Gaussa I

Krzywizna Gaussa II

Theorema Egregium i  
Twierdzenie  
klasyfikacyjne

Symbole Christoffela

Theorema Egregium

Twierdzenie klasyfikujące

## Dowód Formuły Gaussa:

Ponieważ układ  $\{x_1, x_2, n\}$  tworzy bazę przestrzeni  $\mathbb{R}^3$ , więc muszą istnieć współczynniki  $\Gamma_{ij}^k$  oraz  $Q_{ij}$  takie, że

$$x_{ij} = \Gamma_{ij}^1 x_1 + \Gamma_{ij}^2 x_2 + Q_{ij} n.$$

Zrzutujemy ortogonalnie obie strony tego równania na wektory  $x_1, x_2$  i  $n$ :

$$\langle x_{ij}, x_1 \rangle = \Gamma_{ij}^1 g_{11} + \Gamma_{ij}^2 g_{12}$$

$$\langle x_{ij}, x_2 \rangle = \Gamma_{ij}^1 g_{21} + \Gamma_{ij}^2 g_{22}$$

$$\langle x_{ij}, n \rangle = Q_{ij}$$

Natychmiast z tego wynika, że  $Q_{ij} = \langle x_{ij}, n \rangle = \langle x_i, n_j \rangle = l_{ij}$ .  
Pozostałe dwa równania potraktujemy jako własności symboli Christoffela. □





Obliczmy pochodną cząstkową z  $g_{ij}$ :

$$\frac{1}{2} \left( \frac{\partial g_{ik}}{\partial u_j} + \frac{\partial g_{jk}}{\partial u_i} - \frac{\partial g_{ij}}{\partial u_k} \right) = \langle x_{ij}, x_k \rangle.$$

## Dowód:

Obliczmy pochodną cząstkową z  $g_{ij}$ :

$$\frac{\partial g_{ij}}{\partial u_k} = \frac{\partial \langle x_i, x_j \rangle}{\partial u_k} = \left\langle \frac{\partial x_i}{\partial u_k}, x_j \right\rangle + \left\langle x_i, \frac{\partial x_j}{\partial u_k} \right\rangle = \langle x_{ik}, x_j \rangle + \langle x_i, x_{jk} \rangle.$$

Podobnie, permutując indeksy  $i, j, k$  (równocześnie pamiętając, że  $g_{ij} = g_{ji}$ , oraz  $x_{ij} = x_{ji}$ ) otrzymujemy dwa kolejne równania:

$$\frac{\partial g_{ik}}{\partial u_j} = \langle x_{ij}, x_k \rangle + \langle x_i, x_{jk} \rangle$$

$$\frac{\partial g_{jk}}{\partial u_i} = \langle x_{ik}, x_j \rangle + \langle x_k, x_{ij} \rangle$$

Dodając drugie i trzecie równanie, a następnie odejmując pierwsze otrzymujemy:

$$\frac{1}{2} \left( \frac{\partial g_{ik}}{\partial u_j} + \frac{\partial g_{jk}}{\partial u_i} - \frac{\partial g_{ij}}{\partial u_k} \right) = \langle x_{ij}, x_k \rangle.$$

Obliczmy pochodną cząstkową z  $g_{ij}$ :

$$\frac{\partial g_{ij}}{\partial u_k} = \frac{\partial \langle x_i, x_j \rangle}{\partial u_k} = \left\langle \frac{\partial x_i}{\partial u_k}, x_j \right\rangle + \left\langle x_i, \frac{\partial x_j}{\partial u_k} \right\rangle = \langle x_{ik}, x_j \rangle + \langle x_i, x_{jk} \rangle.$$

Podobnie, permutując indeksy  $i, j, k$  (równocześnie pamiętając, że  $g_{ij} = g_{ji}$ , oraz  $x_{ij} = x_{ji}$ ) otrzymujemy dwa kolejne równania:

$$\begin{aligned}\frac{\partial g_{ik}}{\partial u_j} &= \langle \mathbf{x}_{ij}, \mathbf{x}_k \rangle + \langle \mathbf{x}_i, \mathbf{x}_{jk} \rangle \\ \frac{\partial g_{jk}}{\partial u_i} &= \langle \mathbf{x}_{ik}, \mathbf{x}_j \rangle + \langle \mathbf{x}_k, \mathbf{x}_{ij} \rangle\end{aligned}$$

$$\frac{1}{2} \left( \frac{\partial g_{ik}}{\partial u_j} + \frac{\partial g_{jk}}{\partial u_i} - \frac{\partial g_{ij}}{\partial u_k} \right) = \langle x_{ij}, x_k \rangle.$$

## Dowód:

Obliczmy pochodną cząstkową z  $g_{ij}$ :

$$\frac{\partial g_{ij}}{\partial u_k} = \frac{\partial \langle x_i, x_j \rangle}{\partial u_k} = \left\langle \frac{\partial x_i}{\partial u_k}, x_j \right\rangle + \left\langle x_i, \frac{\partial x_j}{\partial u_k} \right\rangle = \langle x_{ik}, x_j \rangle + \langle x_i, x_{jk} \rangle.$$

Podobnie, permutując indeksy  $i, j, k$  (równocześnie pamiętając, że  $g_{ij} = g_{ji}$ , oraz  $x_{ij} = x_{ji}$ ) otrzymujemy dwa kolejne równania:

$$\frac{\partial g_{ik}}{\partial u_j} = \langle x_{ij}, x_k \rangle + \langle x_i, x_{jk} \rangle$$

$$\frac{\partial g_{jk}}{\partial u_i} = \langle x_{ik}, x_j \rangle + \langle x_k, x_{ij} \rangle$$

Dodając drugie i trzecie równanie, a następnie odejmując pierwsze otrzymujemy:

$$\frac{1}{2} \left( \frac{\partial g_{ik}}{\partial u_j} + \frac{\partial g_{jk}}{\partial u_i} - \frac{\partial g_{ij}}{\partial u_k} \right) = \langle x_{ij}, x_k \rangle.$$

















Udowodnimy tylko Równania Codazziego-Mainardiego, równanie Gaussa pozostawiając jako ćwiczenie.

Chociaż równania te wyglądają groźnie, ich dowód sprowadza się do bardzo prostego faktu: trzecie pochodne cząstkowe są sobie równe bez względu na kolejność różniczkowania:

$$x_{ijk} = x_{ikj}.$$

## Dowód:

Przypomnijmy formułę Gaussa:

$$x_{ij} = \Gamma_{ij}^1 x_1 + \Gamma_{ij}^2 x_2 + l_{ij} n,$$

a następnie zróżniczkujemy ją względem  $u_k$ :

$$x_{ijk} = \frac{\partial \Gamma_{ij}^1}{\partial u_k} x_1 + \Gamma_{ij}^1 x_{1k} + \frac{\partial \Gamma_{ij}^2}{\partial u_k} x_2 + \Gamma_{ij}^2 x_{2k} + \frac{\partial l_{ij}}{\partial u_k} n + l_{ij} n_k.$$

Powierzchnie w  $\mathbb{R}^3$ 

Wektory styczne i normalne. I forma podstawowa

Pochodne kierunkowe. Izometria.

Krzywizna Gaussa I

Krzywizna Gaussa II

Theorema Egregium i Twierdzenie klasyfikacyjne

Symbole Christoffela

Theorema Egregium

Twierdzenie klasyfikujące

Udowodnimy tylko Równania Codazziego-Mainardiego, równanie Gaussa pozostawiając jako ćwiczenie.

Chociaż równania te wyglądają groźnie, ich dowód sprowadza się do bardzo prostego faktu: trzecie pochodne cząstkowe są sobie równe bez względu na kolejność różniczkowania:

$$x_{ijk} = x_{ikj}.$$

## Dowód:

Przypomnijmy formułę Gaussa:

$$x_{ij} = \Gamma_{ij}^1 x_1 + \Gamma_{ij}^2 x_2 + l_{ij} n,$$

a następnie zróżniczkujmy ją względem  $u_k$ :

$$x_{ijk} = \frac{\partial \Gamma_{ij}^1}{\partial u_k} x_1 + \Gamma_{ij}^1 x_{1k} + \frac{\partial \Gamma_{ij}^2}{\partial u_k} x_2 + \Gamma_{ij}^2 x_{2k} + \frac{\partial l_{ij}}{\partial u_k} n + l_{ij} n_k.$$

Udowodnimy tylko Równania Codazziego-Mainardiego, równanie Gaussa pozostawiając jako ćwiczenie. Chociaż równania te wyglądają groźnie, ich dowód sprowadza się do bardzo prostego faktu: trzecie pochodne cząstkowe są sobie równe bez względu na kolejność różniczkowania:

$$x_{ijk} = x_{ikj}.$$

## Dowód:

Przypomnijmy formułę Gaussa:

$$x_{ij} = \Gamma_{ij}^1 x_1 + \Gamma_{ij}^2 x_2 + l_{ij} n,$$

a następnie zróżniczkujemy ją względem  $u_k$ :

$$x_{ijk} = \frac{\partial \Gamma_{ij}^1}{\partial u_k} x_1 + \Gamma_{ij}^1 x_{1k} + \frac{\partial \Gamma_{ij}^2}{\partial u_k} x_2 + \Gamma_{ij}^2 x_{2k} + \frac{\partial l_{ij}}{\partial u_k} n + l_{ij} n_k.$$

Udowodnimy tylko Równania Codazziego-Mainardiego, równanie Gaussa pozostawiając jako ćwiczenie. Chociaż równania te wyglądają groźnie, ich dowód sprowadza się do bardzo prostego faktu: trzecie pochodne cząstkowe są sobie równe bez względu na kolejność różniczkowania:

$$x_{ijk} = x_{ikj}.$$

## Dowód:

Przypomnijmy formułę Gaussa:

$$x_{ij} = \Gamma_{ij}^1 x_1 + \Gamma_{ij}^2 x_2 + l_{ij} n,$$

a następnie zróżniczkujemy ją względem  $u_k$ :

$$x_{ijk} = \frac{\partial \Gamma_{ij}^1}{\partial u_k} x_1 + \Gamma_{ij}^1 x_{1k} + \frac{\partial \Gamma_{ij}^2}{\partial u_k} x_2 + \Gamma_{ij}^2 x_{2k} + \frac{\partial l_{ij}}{\partial u_k} n + l_{ij} n_k.$$



Opracowanie:  
Marek Kaluba

### Twierdzenie klasyfikujące

Opracowanie:  
Marek Kaluba

### Twierdzenie klasyfikujące

Opracowanie:  
Marek Kaluba

### Twierdzenie klasyfikujące

Opracowanie:  
Marek Kaluba

### Twierdzenie klasyfikujące

Opracowanie:  
Marek Kaluba

### Twierdzenie klasyfikujące

Opracowanie:  
Marek Kaluba

### Twierdzenie klasyfikujące



Zamieniając miejscami  $j$  i  $k$  otrzymujemy

$$\begin{aligned} x_{ikj} = & \left[ \frac{\partial \Gamma_{ik}^1}{\partial u_j} + \Gamma_{ik}^1 \Gamma_{1j}^1 + \Gamma_{ik}^2 \Gamma_{2j}^2 - l_{ik} L_{1j} \right] x_1 + \\ & + \left[ \frac{\partial \Gamma_{ik}^2}{\partial u_j} + \Gamma_{ik}^1 \Gamma_{1j}^2 + \Gamma_{ik}^2 \Gamma_{2j}^2 - l_{ik} L_{2j} \right] x_2 + \\ & + \left[ \Gamma_{ik}^1 l_{1j} + \Gamma_{ik}^2 l_{2j} + \frac{\partial l_{ik}}{\partial u_j} \right] n = \\ = & A' x_1 + B' x_2 + C' n. \end{aligned}$$



Ponieważ wynik różniczkowania nie zależy od kolejności wyboru zmiennych, więc współczynniki tych przedstawień muszą być sobie równe:

$$\Gamma_{ij}^1 l_{1k} + \Gamma_{ij}^2 l_{2k} + \frac{\partial l_{ij}}{\partial u_k} = \Gamma_{ik}^1 l_{1j} + \Gamma_{ik}^2 l_{2j} + \frac{\partial l_{ik}}{\partial u_j}, \quad (C = C').$$

Odpowiednio grupując otrzymujemy

$$\begin{aligned} \frac{\partial l_{ij}}{\partial u_k} - \frac{\partial l_{ik}}{\partial u_j} + \left( \Gamma_{ij}^1 l_{1k} - \Gamma_{ik}^1 l_{1j} \right) + \Gamma_{ij}^2 l_{2k} - \Gamma_{ik}^2 l_{2j} = \\ = \frac{\partial l_{12}}{\partial u_1} - \frac{\partial l_{11}}{\partial u_2} + \sum_{r=1}^2 (\Gamma_{12}^r l_{r1} - \Gamma_{11}^r l_{r2}) = 0. \end{aligned}$$

Ostatecznie podstawiając ( $i = 1, j = 2, k = 1$ ) [odpowiednio: ( $i = 2, j = 2, k = 1$ )] otrzymujemy pierwsze [drugie] równanie Codazziego-Mainardiego.  $\square$

Powierzchnie w  $\mathbb{R}^3$ Wektory styczne i  
normalne. I forma  
podstawowaPochodne  
kierunkowe.  
Izometria.

Krzywizna Gaussa I

Krzywizna Gaussa II

Theorema Egregium i  
Twierdzenie  
klasyfikacyjne

Symbole Christoffela

Theorema Egregium

Twierdzenie klasyfikujące





## Zadanie

Udowodnić Równanie Gaussa.

Podpowiedź: należy porównać współczynniki  $A$ ,  $A'$ , oraz  $B$ ,  $B'$ . Następnie podstawić ( $i = 2, j = 1, k = 2$ ).



## Twierdzenie (Theorema Egregium Gaussa)

Niech  $M \subset \mathbb{R}^3$  oraz  $N \subset \mathbb{R}^3$  będą powierzchniami gładkimi o krzywiznach odpowiednio  $K_M$  i  $K_N$ . Niech  $f: M \rightarrow N$  będzie lokalną izometrią. Wtedy

$$K_M(p) = K_N(f(p))$$

dla wszystkich  $p \in M$ .

Ponieważ pierwsza forma podstawowa powierzchni jest niezmiennicza ze względu na lokalne izometrie (lemat 7.7, własność 3) wystarczy więc pokazać, że krzywizna Gaussa może być wyrażona w terminach współczynników metrycznych (funkcji  $g_{11}$ ,  $g_{12}$ ,  $g_{22}$ ), oraz ich pochodnych.

Powierzchnie w  $\mathbb{R}^3$ 

Wektory styczne i normalne. I forma podstawowa

Pochodne kierunkowe. Izometria.

Krzywizna Gaussa I

Krzywizna Gaussa II

Theorema Egregium i Twierdzenie klasyfikacyjne

Symbole Christoffela

Theorema Egregium

Twierdzenie klasyfikujące

## Twierdzenie (Theorema Egregium Gaussa)

Niech  $M \subset \mathbb{R}^3$  oraz  $N \subset \mathbb{R}^3$  będą powierzchniami gładkimi o krzywiznach odpowiednio  $K_M$  i  $K_N$ . Niech  $f: M \rightarrow N$  będzie lokalną izometrią. Wtedy

$$K_M(p) = K_N(f(p))$$

dla wszystkich  $p \in M$ .

Ponieważ pierwsza forma podstawowa powierzchni jest niezmiennicza ze względu na lokalne izometrie (lemat 7.7, własność 3) wystarczy więc pokazać, że krzywizna Gaussa może być wyrażona w terminach współczynników metrycznych (funkcji  $g_{11}$ ,  $g_{12}$ ,  $g_{22}$ ), oraz ich pochodnych.

Powierzchnie w  $\mathbb{R}^3$ 

Wektory styczne i normalne. I forma podstawowa

Pochodne kierunkowe. Izometria.

Krzywizna Gaussa I

Krzywizna Gaussa II

Theorema Egregium i Twierdzenie klasyfikacyjne

Symbole Christoffela

Theorema Egregium

Twierdzenie klasyfikujące

**Dowód:**

Niech  $x: U \rightarrow M$  będzie lokalnym układem współrzędnych wokół  $p \in M$ . Wiemy, że krzywizna wyraża się wzorem

$$K(p) = \frac{\det(l_{ij})}{\det(g_{ij})}.$$

Wystarczy więc przedstawić wyrażenie  $\det(l_{ij}) = l_{11}l_{22} - l_{12}^2$  przy pomocy funkcji  $g_{11}$ ,  $g_{12}$ ,  $g_{22}$  i ich pochodnych. (**Uwaga:** jest to możliwe, mimo, że żadnej pojedynczej funkcji  $l_{ij}$  w taki sposób przedstawić się nie da!).

Przypomnijmy równanie Gaussa (z twierdzenia 10.3):

$$l_{11}l_{22} - l_{12}^2 = \sum_{r=1}^2 g_{1r} \left[ \frac{\partial \Gamma_{22}^r}{\partial u_1} - \frac{\partial \Gamma_{21}^r}{\partial u_2} + \sum_{m=1}^2 (\Gamma_{22}^m \Gamma_{m1}^r - \Gamma_{21}^m \Gamma_{m2}^r) \right].$$

Wyraża ono  $l_{11}l_{22} - l_{12}^2$  przy pomocy  $g_{ij}$  oraz symboli Christoffela (i ich pochodnych).



**Dowód:**

Niech  $x: U \rightarrow M$  będzie lokalnym układem współrzędnych wokół  $p \in M$ . Wiemy, że krzywizna wyraża się wzorem

$$K(p) = \frac{\det(l_{ij})}{\det(g_{ij})}.$$

Wystarczy więc przedstawić wyrażenie  $\det(l_{ij}) = l_{11}l_{22} - l_{12}^2$  przy pomocy funkcji  $g_{11}$ ,  $g_{12}$ ,  $g_{22}$  i ich pochodnych. (**Uwaga:** jest to możliwe, mimo, że żadnej pojedynczej funkcji  $l_{ij}$  w taki sposób przedstawić się nie da!).

Przypomnijmy równanie Gaussa (z twierdzenia 10.3):

$$l_{11}l_{22} - l_{12}^2 = \sum_{r=1}^2 g_{1r} \left[ \frac{\partial \Gamma_{22}^r}{\partial u_1} - \frac{\partial \Gamma_{21}^r}{\partial u_2} + \sum_{m=1}^2 (\Gamma_{22}^m \Gamma_{m1}^r - \Gamma_{21}^m \Gamma_{m2}^r) \right].$$

Wyraża ono  $l_{11}l_{22} - l_{12}^2$  przy pomocy  $g_{ij}$  oraz symboli Christoffela (i ich pochodnych).

Powierzchnie w  $\mathbb{R}^3$ Wektory styczne i  
normalne. I forma  
podstawowaPochodne  
kierunkowe.  
Izometria.

Krzywizna Gaussa I

Krzywizna Gaussa II

Theorema Egregium i  
Twierdzenie  
klasyfikacyjne

Symbole Christoffela

Theorema Egregium

Twierdzenie klasyfikujące

**Dowód:**

Niech  $x: U \rightarrow M$  będzie lokalnym układem współrzędnych wokół  $p \in M$ . Wiemy, że krzywizna wyraża się wzorem

$$K(p) = \frac{\det(l_{ij})}{\det(g_{ij})}.$$

Wystarczy więc przedstawić wyrażenie  $\det(l_{ij}) = l_{11}l_{22} - l_{12}^2$  przy pomocy funkcji  $g_{11}$ ,  $g_{12}$ ,  $g_{22}$  i ich pochodnych. (**Uwaga:** jest to możliwe, mimo, że żadnej pojedynczej funkcji  $l_{ij}$  w taki sposób przedstawić się nie da!).

Przypomnijmy równanie Gaussa (z twierdzenia 10.3):

$$l_{11}l_{22} - l_{12}^2 = \sum_{r=1}^2 g_{1r} \left[ \frac{\partial \Gamma_{22}^r}{\partial u_1} - \frac{\partial \Gamma_{21}^r}{\partial u_2} + \sum_{m=1}^2 (\Gamma_{22}^m \Gamma_{m1}^r - \Gamma_{21}^m \Gamma_{m2}^r) \right].$$

Wyraża ono  $l_{11}l_{22} - l_{12}^2$  przy pomocy  $g_{ij}$  oraz symboli Christoffela (i ich pochodnych).

**Dowód:**

Niech  $x: U \rightarrow M$  będzie lokalnym układem współrzędnych wokół  $p \in M$ . Wiemy, że krzywizna wyraża się wzorem

$$K(p) = \frac{\det(l_{ij})}{\det(g_{ij})}.$$

Wystarczy więc przedstawić wyrażenie  $\det(l_{ij}) = l_{11}l_{22} - l_{12}^2$  przy pomocy funkcji  $g_{11}$ ,  $g_{12}$ ,  $g_{22}$  i ich pochodnych. (**Uwaga:** jest to możliwe, mimo, że żadnej pojedynczej funkcji  $l_{ij}$  w taki sposób przedstawić się nie da!).

Przypomnijmy równanie Gaussa (z twierdzenia 10.3):

$$l_{11}l_{22} - l_{12}^2 = \sum_{r=1}^2 g_{1r} \left[ \frac{\partial \Gamma_{22}^r}{\partial u_1} - \frac{\partial \Gamma_{21}^r}{\partial u_2} + \sum_{m=1}^2 (\Gamma_{22}^m \Gamma_{m1}^r - \Gamma_{21}^m \Gamma_{m2}^r) \right].$$

Wyraża ono  $l_{11}l_{22} - l_{12}^2$  przy pomocy  $g_{ij}$  oraz symboli Christoffela (i ich pochodnych).





## Zadanie

Prześledzić dowód Theorema Egregium i wyprowadzić bezpośredni wzór na krzywiznę Gaussa zawierający tylko współczynniki metryczne i ich pochodne.

## Uwaga

*Twierdzenie odwrotne do Theorema Egregium nie zachodzi. Mianowicie istnieją powierzchnie  $M$  i  $N$  oraz odwzorowania  $f: M \rightarrow N$  dla których  $K(f(p)) = K(p)$ , lecz mimo wszystko  $f$  nie jest lokalną izometrią.*

Powierzchnie w  $\mathbb{R}^3$

Wektory styczne i normalne. I forma podstawowa

Pochodne kierunkowe. Izometria.

Krzywizna Gaussa I

Krzywizna Gaussa II

Theorema Egregium i Twierdzenie klasyfikacyjne

Symbole Christoffela

Theorema Egregium

Twierdzenie klasyfikujące

## Zadanie

Prześledzić dowód Theorema Egregium i wyprowadzić bezpośredni wzór na krzywiznę Gaussa zawierający tylko współczynniki metryczne i ich pochodne.

## Uwaga

*Twierdzenie odwrotne do Theorema Egregium nie zachodzi. Mianowicie istnieją powierzchnie  $M$  i  $N$  oraz odwzorowania  $f: M \rightarrow N$  dla których  $K(f(p)) = K(p)$ , lecz mimo wszystko  $f$  nie jest lokalną izometrią.*

Powierzchnie w  $\mathbb{R}^3$

Wektory styczne i normalne. I forma podstawowa

Pochodne kierunkowe. Izometria.

Krzywizna Gaussa I

Krzywizna Gaussa II

Theorema Egregium i Twierdzenie klasyfikacyjne

Symbole Christoffela

Theorema Egregium

Twierdzenie klasyfikujące

## Przykład

Niech

$$M = \{y(u, v) = (u \sin v, u \cos v, \ln u) : u \in \mathbb{R}_+, v \in (-\pi, \pi)\},$$

$$N = \{x(u, v) = (v \sin u, v \cos u, u) : u \in \mathbb{R}_+, v \in (-\pi, \pi)\},$$

oraz zdefiniujemy funkcję  $f: M \rightarrow N$  jako

$$f(y(u, v)) \stackrel{\text{def.}}{=} x(v, u).$$

Wtedy (sprawdzić!)

$$K(f(y(u, v))) = K(x(v, u)) = \frac{-1}{(1+u^2)^2} = K(y(u, v)).$$

Gdyby jednak  $f$  była lokalną izometrią, wówczas lokalne układy współrzędnych  $x$  i  $y$  musiałyby mieć te same współczynniki metryczne (z zamienionymi zmiennymi). Jednak  $g_{11}^M(u, v) = 1 + \frac{1}{u^2}$  podczas gdy  $g_{11}^N(u, v) = 1$ .



## Przykład

Niech

$$M = \{y(u, v) = (u \sin v, u \cos v, \ln u) : u \in \mathbb{R}_+, v \in (-\pi, \pi)\},$$

$$N = \{x(u, v) = (v \sin u, v \cos u, u) : u \in \mathbb{R}_+, v \in (-\pi, \pi)\},$$

oraz zdefiniujemy funkcję  $f: M \rightarrow N$  jako

$$f(y(u, v)) \stackrel{\text{def.}}{=} x(v, u).$$

Wtedy (sprawdzić!)

$$K(f(y(u, v))) = K(x(v, u)) = \frac{-1}{(1 + u^2)^2} = K(y(u, v)).$$

Gdyby jednak  $f$  była lokalną izometrią, wówczas lokalne układy współrzędnych  $x$  i  $y$  musiałyby mieć te same współczynniki metryczne (z zamienionymi zmiennymi). Jednak  $g_{11}^M(u, v) = 1 + \frac{1}{u^2}$  podczas gdy  $g_{11}^N(u, v) = 1$ .

## Przykład

Niech

$$M = \{y(u, v) = (u \sin v, u \cos v, \ln u) : u \in \mathbb{R}_+, v \in (-\pi, \pi)\},$$

$$N = \{x(u, v) = (v \sin u, v \cos u, u) : u \in \mathbb{R}_+, v \in (-\pi, \pi)\},$$

oraz zdefiniujemy funkcję  $f: M \rightarrow N$  jako

$$f(y(u, v)) \stackrel{\text{def.}}{=} x(v, u).$$

Wtedy (sprawdzić!)

$$K(f(y(u, v))) = K(x(v, u)) = \frac{-1}{(1 + u^2)^2} = K(y(u, v)).$$

Gdyby jednak  $f$  była lokalną izometrią, wówczas lokalne układy współrzędnych  $x$  i  $y$  musiałyby mieć te same współczynniki metryczne (z zamienionymi zmiennymi). Jednak  $g_{11}^M(u, v) = 1 + \frac{1}{u^2}$  podczas gdy  $g_{11}^N(u, v) = 1$ .











